

Министерство науки и высшего образования Российской Федерации
Федеральное государственное автономное образовательное учреждение
высшего образования
«СЕВЕРО-КАВКАЗСКИЙ ФЕДЕРАЛЬНЫЙ УНИВЕРСИТЕТ»
Невинномысский технологический институт (филиал) СКФУ

Методические указания разработаны в соответствии с
требованиями ФГОС ВО и рабочей программы дисциплины
**«Оборудование для очистки сточных вод и утилизации
твердых отходов».**

Указания предназначены для студентов направления
подготовки 15.03.02 Технологические машины и
оборудование

МЕТОДИЧЕСКИЕ УКАЗАНИЯ
по выполнению практических работ
по дисциплине «Оборудование для очистки
сточных вод и утилизации твердых отходов»
для студентов
направления подготовки
15.03.02 Технологические машины и
оборудование

Ставрополь 2023

СОДЕРЖАНИЕ

	Стр.
Основные термины и сокращения	4
Введение	9
Правила проведения и сдачи работ	9
Работа №1. Аппараты сухой механической очистки запыленных газов (выбросов). Расчет циклонов	10
Работа №2. Расчет пористых металлических фильт-ров для очистки выбросов от пыли.	15
Работа №3. Расчет электрофильтра	18
Работа №4. Аппараты мокрой очистки запыленных газов. Расчет скруббера и форсунки	22
Работа №5. Аппараты физико-химической очистки газов. Расчет процессов и аппаратов адсорбции газов	26
Работа №6. Оборудования для механической очистки сточных вод. Расчет песколовки и отстойников	31
Работа №7. Разделение жидкость - твердое тело центрифугированием. Технологический и конструктивный расчет центрифуг	38
Работа №8. Фильтрация сточных вод. Расчет зернистых фильтров	45
Работа №9. Процессы и аппараты физико-химической очистки воды. Коагуляционная очистка сточных вод от коллоидных частиц	48
Работа №10. Флотационная очистка сточных вод	51
Работа №11. Адсорбционная очистка сточных вод от растворимых органических веществ. Расчет адсорбера	54
Работа №12. Экстракционный процесс очистки сточных вод. Расчет вертикального экстрактора	60
Работа №13. Электрохимическая очистка сточных вод. Расчет электрокоагулятора	63
Работа №14. Химические методы очистки сточных вод. Нейтрализация, хлорирование и озонирование	67
Работа №15. Биохимическая очистка сточных вод. Расчет аэротенка	74
Работа №16. Переработка отходов. Определение класса опасности отходов	78
Работа №17. Физические (энергетические) загрязнения ОС. Оценка уровней шума. Расчет акустического и электромагнитного экранов	87
Литература	94
Приложение	95

Основные термины и сокращения

Параметр	Расшифровка
1	2
БПК	Биохимическое потребление кислорода - количество использованного кислорода для биохимического окисления органических веществ в воде за определенный промежуток времени
БПК ₅	Биохимическая потребность кислорода за 5 суток
БПК _{полн}	Полная биохимическая потребность кислорода до начала процессов нитрификации
БД	Биологическая диссимиляция
ВАХ	Вольтамперная характеристика (электрофильтра)
ВМР	Вторичные материальные ресурсы
МДУ	Максимально допустимый уровень
МДС	Максимально допустимое содержание
ОБУВ	Ориентировочный безопасный уровень воздействия
ОДК	Ориентированно-допустимая концентрация
ОДУ	Ориентированно-допустимый уровень
ОС	Окружающая (природная) среда – совокупность всех тел, сил и явлений природы, ее вещества и пространство; совокупность абиотической (неорганической), биотической (живых организмов) и социальной сред, влияющие на человека и его хозяйство
ПДВ	Предельно-допустимые выбросы – предельное количество вредного вещества, разрешаемое к выбросу от данного источника, которое не создает приземную концентрацию, опасную для людей и ОС
ПДК	Предельно-допустимая концентрация – максимальная концентрация примеси в среде, отнесенная к определенному времени осреднения, которая при периодическом воздействии или на протяжении всей жизни не оказывает вредного воздействия на человека и ОС в целом
ПДК _п , мг/кг	Предельно-допустимая концентрация вещества в почве
ПДК _в , мг/л	Предельно-допустимая концентрация вещества в воде водных объектов хозяйствственно-питьевого и культурно-бытового водопользования
ПДК _{р.х.} , мг/л	Предельно-допустимая концентрация вещества в воде водных объектов рыбохозяйственного назначения
ПДК _{с.с.} , мг/м ³	Предельно-допустимая концентрация вещества среднесуточная в атмосферном воздухе населенных мест

1	2
$\text{ПДК}_{\text{м.р.}}$, $\text{мг}/\text{м}^3$	Предельно-допустимая концентрация вещества максимально-разовая в воздухе населенных мест
$\text{ПДК}_{\text{р.з.}}$, $\text{мг}/\text{м}^3$	Предельно-допустимая концентрация вещества в воздухе рабочей зоны
ПДС , $\text{мг}/\text{м}^3$	Предельно-допустимый сброс – предельное количество вредного вещества в сточной воде, разрешаемое к выбросу от данного источника в водную среду, которое не создает концентрацию, опасную для людей и ОС
ПДУ, дБ	Предельно допустимый уровень (шума, излучения)
ПиАЗОС	Процессы и аппараты защиты окружающей среды
ТБПО	Твердые бытовые и промышленные отходы
ХПК $\text{мгO}_2/\text{мг вещества}$	Химическое потребление кислорода, или количество кислорода, необходимого для окисления всех восстановителей, содержащихся в воде
ЭМП	Электромагнитное поле
$S, \text{ мг}/\text{l}$	Растворимость компонента отхода (вещества) в воде при 20°C
$C_{\text{нас.}}$, $\text{мг}/\text{м}^3$	Насыщающая концентрация вещества в воздухе при 20°C и нормальном давлении
K_{ow}	Коэффициент распределения в системе октанол-вода при 20°C
$\text{LD}_{50},$ $\text{мг}/\text{кг}$	Средняя смертельная доза компонента в миллиграммах действующего вещества на 1 кг живого веса, вызывающая гибель 50 % подопытных животных при однократном пероральном введении в унифицированных условиях
$\text{LD}_{\text{кожи}50},$ $\text{мг}/\text{кг}$	Средняя смертельная доза компонента в миллиграммах действующего вещества на 1 кг живого веса, вызывающая гибель 50 % подопытных животных при однократном нанесении на кожу в унифицированных условиях
$\text{LC}_{50},$ $\text{мг}/\text{м}^3$	Средняя смертельная концентрация вещества, вызывающая гибель 50 % подопытных животных при ингаляционном поступлении в унифицированных условиях

Абсорбция - поглощение веществ объемом (жидкого) адсорбента.

Адсорбция - поглощение веществ поверхностью слоем твердого (или жидкого) адсорбента.

Активный ил - амфотерная коллоидная система, состоящая из твердого субстрата и живых организмов, которые сорбируют и разлагают загрязняющие вещества в сточных водах.

Аликвота — точно измеренная кратная часть образца (объем раствора), взятая для анализа, которая сохраняет свойства основного образца.

Атмосфера – воздушная оболочка Земли, состоящая из смеси газов – воздуха (азот, кислород и пр.), в котором взвешены коллоидные системы (пыль, капли воды, кристаллы и пр.).

Аэрация - поступление воздуха в среду (воду, почву и т.д.) естественным или искусственным путем.

Аэрозоль – суспензия в газовой среде твердых или жидких частиц, имеющих крайне низкую скорость осаждения.

Аэротенк – сооружение для биологической очистки сточных вод, состоящий из проточного резервуара с активным илом и устройства для аэрации.

Барботирование – пропускание через жидкости сильную струю газа по перфорированной трубке или через перфорированную перегородку (сетку).

Биоочистка - окисление загрязнителей сообществом микроорганизмов.

Воды сточные – воды, использованные в бытовых или производственных целях (в том числе воды, стекающие с населенных мест, промышленных и сельскохозяйственных предприятий в результате выпадения осадков, полива угодий или улиц) и получившие при этом примеси, изменившие первоначальный химический состав и физические свойства.

Выбросы – поступление в окружающую среду любых загрязнений.

Гель – коллоидная система, в котором частицы контактируя между собой, образуют структуры в виде каркаса или сетки, ограничивается текучесть и придается способность сохранять форму.

Гидравлическое сопротивление – разность давлений на входе ($P_{\text{вх}}$) и выходе ($P_{\text{вых}}$) аппарата:

$$\Delta P = P_{\text{вх}} - P_{\text{вых}} = k \frac{\rho v^2}{2},$$

где k – коэффициент сопротивления; ρ - плотность потока; v - скорость потока через аппарат.

Гидролиз – реакция обменного разложения между водой и другим веществом, приводящий к образованию новых трудно растворимых гидроксилсодержащих веществ.

Гидросфера – совокупность океанов, морей, озер, рек, прудов, болот, подземных вод, ледников и водяных паров атмосферы.

Дисперсная среда – раздробленная среда, состоящая из сплошной непрерывной фазы – дисперсионной среды и находящейся в этой среде раздробленных частиц – дисперсной фазы.

Дым – аэрозоль с размерами твердых взвешенных частиц (продуктов сгорания) от 0,1 до 10 мкм.

Зола – несгораемый остаток минеральных примесей топлива.

Золь – коллоидная система, в которой частицы не связаны в пространственные структуры (в противоположность гелям).

Ионообмен – процесс обмена ионов между раствором и ионитом. *Иониты* – вещества, способные к ионному обмену при контакте с раствором.

Коллоидное состояние – предельно-высокодисперсная система твердых частиц в жидкости при размере частиц $d=0,1\text{--}0,001$ мкм.

Коронный разряд – явление ударной ионизации газа под действием движущихся электронов или ионов вблизи коронирующего электрода электрофильтра.

Коагуляция – процесс укрупнения дисперсных частиц в результате их взаимодействия с коагулянтами, которые в воде образуют хлопья гидроксидов металлов. Электрокоагуляция – ускорения слипания коллоидных частиц, основанная на растворении металлических электродов в электролите (сточная вода) под действием электрического тока, с последующим образованием осадков гидрооксидов.

Литосфера – верхняя твердая оболочка Земли, ограниченная сверху атмосферой и частично гидросферой и переходящее без резкой границы в верхний слой мантии (толщина колеблется от 50 до 200 км).

Металлы легкие – металлы, обладающие малой плотностью (литий, бериллий, натрий, магний, алюминий, калий, барий, рубидий, цезий, титан).

Металлы тяжелые – металлы, обладающие большой плотностью (свинец, цинк, ртуть, медь, никель, кобальт, олово, висмут и др.).

Метантенк – закрытый резервуар с подогревом, загружаемый иловыми осадками, где в результате жизнедеятельности анаэробных бактерий происходит сбраживание ила с образованием углекислого газа, метана и водорода.

Мокрая очистка – осаждения частиц пыли на поверхность капель или пленки жидкости за счет сил инерции и броуновского движения.

Обезвоживание отходов – отделение воды от отходов с целью дальнейшей переработки.

Обезвреживание – удаление из объектов окружающей среды веществ, опасных для здоровья людей и сохранности биоценозов.

Обеззараживание – подавление болезнетворных организмов, разрушения ядов, стерилизация объектов.

Отходы – непригодное сырье, его остатки или возникающие в ходе производства и потребления вещества и энергия, не подвергающаяся утилизации.

Пиролиз – разложение органических веществ на более простые вещества при высокой температуре, без доступа окислителя – кислорода (воздуха).

Производительность аппарата (расход вещества) – количество вещества ($V, \text{ м}^3$), проходящего через аппарат за единицу времени (τ): $Q=V/\tau, \text{ м}^3/\text{ч}$.

Пыль – твердые частицы различных размеров (5-100 мкм) и различного происхождения.

Раствор – однородная система с равномерным распределением одного вещества в среде другого вещества при размере частиц $d<0,001$ мкм.

Регенерация – полное или частичное восстановление исходных свойств объекта.

Рекуперация – процесс извлечения ценных веществ и энергии из отходов с целью возвращения для повторного использования.

Сажса – мелкодисперсный углерод, образующийся из углеводородов при неполном сгорании при ограниченном доступе воздуха.

Суспензия (взвесь) – дисперсная система твердых частиц в жидкости при размере частиц $d>0,1$ мкм, основным свойством которых является неспособность удерживаться в таком состоянии.

Туман – аэрозоль с жидкой дисперсной фазой (капли жидкости 0,1-5 мкм).

Утилизация – употребление с пользой, например, извлечение ценных компонентов из отходов с последующим скижанием, пиролизом или сбраживанием с целью получения энергии и сырья для других производств.

Фаза – однородная часть неоднородной системы, ограниченная поверхностью раздела и отделяемая механически.

Фильтрация – задержание частиц примесей в пористых перегородках при движении дисперсных систем через них.

Флотация – технология выделения из сточных вод тонкосуспендированных и коллоидных веществ с помощью пузырьков газа (воздуха) аэрацией. Электрофлотация – технология выделения из сточных вод тонкосуспендированных и коллоидных веществ с помощью пузырьков водорода и кислорода, образуемых на поверхности электродов.

Шлам – осадок в виде мелких частиц, выделяющихся при отстаивании или фильтровании жидкости.

Центрифugование – процесс разделения неоднородных систем (суспензий, эмульсий, шламов и ряд других систем) под действием центробежных сил, создаваемых в результате вращения потока.

Экстракция – избирательное извлечение компонента из жидкости с помощью жидкого растворителя.

Электродиализ – метод разделения ионизированных соединений под действием электродвижущей силы, создаваемой по обе стороны мембранны.

Электролиз – химические реакции, протекающие в электролите при прохождении через него электрического тока.

Эмульсия – дисперсная система, в которой одна жидкость раздроблена в другой не растворяющей ее жидкости.

Эффективность очистки – степень снижения вредных веществ:

$$\eta = \frac{c_{\text{вх}} - c_{\text{вых}}}{c_{\text{вх}}} ,$$

где $c_{\text{вх}}$ и $c_{\text{вых}}$ – концентрации загрязнителя на входе и выходе устройства по очистке среды.

ВВЕДЕНИЕ

«Оборудование для очистки сточных вод и утилизации твердых отходов» является обязательной спец. дисциплиной для студентов специальности «Инженерная защита окружающей среды», изучается с целью приобретения знаний, умений и навыков в области постановки решения инженерных задач и применения процессов и аппаратов для эффективной защиты окружающей среды от техногенных воздействий с учетом последних достижений науки и техники.

ПРАВИЛА ПРОВЕДЕНИЯ И СДАЧИ РАБОТ

1. Студенты допускаются к работе в лаборатории только после инструктажа по технике безопасности, после чего они обязаны расписаться в журнале. Это означает, что они ознакомлены с правилами техники безопасности и обязуются их выполнять.

2. Перед началом работы необходимо внимательно ознакомиться с устройством и принципом работы установки и порядком выполнения работы (методикой расчета). Работу начать с разрешением преподавателя или лаборанта.

3. На лабораторном столе должны выполняться опыты, которые не представляются опасными для окружающих. В вытяжном шкафу выполняются все опыты с токсичными веществами.

4. При работе с электроприборами обращать внимание на их исправность, правильную изоляцию контактов, не использовать приборы с оголенными контактами, неисправными вилками и т.п.

5. Выполнять все меры предосторожности при работе с аппаратами с движущимися частями (электрическая мешалка, центрифуга и т.д.).

6. При проведении опытов нельзя отвлекаться и оставлять приборы без наблюдения.

7. После проведения работы студент оформляет и сдает отчет, который должен содержать:

- тема работы;
- цель работы;
- список оборудования и принадлежности;
- исходные данные;
- порядок проведения работы или методика расчета;
- экспериментальная и расчетная часть;
- выводы и ответы на контрольные вопросы (в письменной форме).

8. После оформления студент защищает отчет по лабораторной (расчетной) работе.

9. Студент не допускается к следующей работе, если им не сданы две предыдущие работы (без уважительных причин).

10. При пропуске занятия студент отрабатывает пропущенное занятие в назначенное время.

Работа №1. Аппараты сухой механической очистки запыленных газов (выбросов). Расчет циклонов

Цель работы: Приобретение навыков по выбору и расчету циклонов.

Вводная часть

Аппаратами сухой механической очистки запыленных газов (выбросов) являются пылеосадительные камеры, инерционные и ротационные пылеуловители, циклоны, вихревые пылеуловители, пористые фильтры [3,4].

Циклоны являются наиболее распространенными установками сухого пылеулавливания. Принцип работы – оседание частиц под действием центробежных сил и сил тяжести. При вводе (рис. 1.1) через тангенциальный патрубок 1 частицы отжимаются к внутренней стенке корпуса 3 и, теряя скорость, выпадают в бункер 4, откуда выводятся через выход 5. Очищенный газ выводится через выхлопную трубу 2. Центробежный эффект сильнее проявляется у крупных частиц, поэтому циклоны предназначены для грубой механической очистки выбросов от крупной и тяжелой пыли, например, для улавливания золы, образующейся при сжигании топлива в котлах тепловых станций.

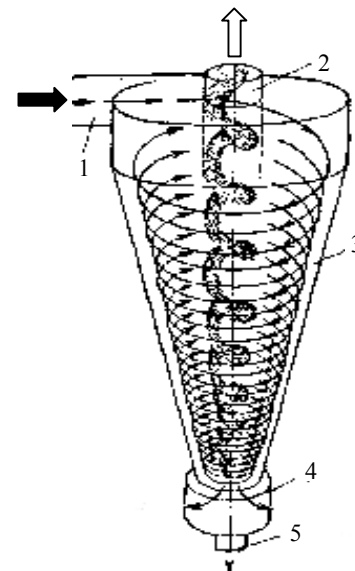


Рис. 1.1. Циклон: 1 – патрубок тангенциальный входной; 2 – патрубок выходной; 3 – стенка; 4 – бункер; 5 – патрубок пылевыпускной

Преимуществом циклонов являются простота конструкции, отсутствие движущихся частей и небольшие размеры. Недостатками являются затраты энергии на вращение потока и абразивный износ частей аппарата пылью.

Для большей эффективности используют несколько циклонов небольшого диаметра, собранные в секции батареи – батарейные циклоны. Циклоны соединяются между собой подводящими патрубками и сборными камерами. Для нормальной работы циклона необходима герметичность бункера для исключения выноса пыли с потоком из-за подсоса наружного воздуха.

Конструктивно циклоны бывают цилиндрические и конические. Цилиндрические циклоны типа ЦН-15 (15- угол наклона входной патрубки: $\alpha=15^\circ$) изготавливаются из углеродистой или низколегированной стали. Они предназначены для предварительной очистки выбросов от пыли перед фильтрами и электрофильтрами. Конические циклоны типа СК предназначены для очистки выбросов от сажи, обладают повышенной эффективностью из-за большего гидравлического сопротивления. Бункеры циклонов имеют цилиндрическую форму диаметром 1,5 D для цилиндрических и 1,2 D для конических циклонов. Высота цилиндрической части бункера составляет 0,8 D.

Для расчета циклона необходимо иметь следующие исходные данные: объем очищаемого газа Q , м³/с; плотность газа при рабочих условиях ρ , кг/м³; вязкость при рабочей температуре μ , Па·с; дисперсный состав пыли d_{50} ; входную концентрацию пыли c_{bx} , г/м³; требуемую эффективность очистки η .

Расчет циклонов ведут методом последовательных приближений.

Методика расчета.

1. Определяют оптимальную скорость движения газа w_{opt} в зависимости от типа циклона (табл. 1.1).

Таблица 1.1

Оптимальная скорость движения газа w_{opt} в циклоне

Тип циклона	ЦН-24	ЦН-15	ЦН-11	СДК-ЦН-33	СК-ЦН-34	СК-ЦН-34м
w_{opt} , м/с	4,5	3,5	3,5	2,0	1,7	2,0

2. Рассчитывают диаметр циклона: $D = \sqrt{\frac{4Q}{\pi w_{opt}}}$. (1.1)

Полученное значение необходимо округлить до ближайшего типового значения. В России принят следующий ряд внутреннего типового диаметра циклонов D, мм: 150; 200; 300; 400; 450; 500; 600; 700; 800; 900; 1000; 1200; 1400; 1600; 1800; 2000; 2400; 3000.

Если значение D превышает максимального типового значения, то необходимо применять два или более параллельно установленных циклонов.

3. Рассчитывают действительную скорость потока в циклоне:

$$w = 4Q / \pi ND^2, \quad (1.2)$$

где N – число циклонов; w не должно отклоняться от w_{opt} более чем на 15%.

4. Рассчитывают коэффициент гидравлического сопротивления:

$$R = k_1 k_2 R_{500}, \quad (1.3)$$

где k_1 и k_2 – коэффициенты, зависящие от D, c_{bx} и типа циклона (табл. 1.2 и 1.3); R_{500} – коэффициент гидравлического сопротивления при D=500 мм (табл. 1.4).

5. Рассчитывают значение гидравлического сопротивления:

$$\Delta P = P_{bx} - P_{вых} = \frac{1}{2} R \rho_t w^2. \quad (1.4)$$

6. Определяют эффективность очистки: $\eta = 0,5 (1 + \Phi(x))$, (1.5)

где $\Phi(x)$ – табличная (табл. 1.5) функция параметра x: $x = 0,8 \cdot \lg \left(\frac{d_{50}}{d_{t50}} \right)$ (1.6)

Таблица 1.2

Значения k_1 при различных D и типов циклонов

Тип циклона	D, мм				
	150	200	300	450	>500
ЦН-11	0,94	0,95	0,96	0,99	1,0
ЦН-15, ЦН-24	0,85	0,90	0,93	1,0	1,0
СДК-ЦН-33, СК-ЦН-34 и 34м	1,0	1,0	1,0	1,0	1,0

Таблица 1.3

Значения k_2 при различных c_{bx} и типов циклонов

Тип циклона	c_{bx} , г/м ³						
	0	10	20	40	80	120	150
ЦН-11	1	0,96	0,94	0,92	0,90	0,87	-
ЦН-15	1	0,93	0,92	0,91	0,90	0,87	0,86
ЦН-24	1	0,95	0,93	0,92	0,90	0,87	0,86
СДК-ЦН-33	1	0,81	0,785	0,78	0,77	0,76	0,745
СК-ЦН-34	1	0,98	0,947	0,93	0,915	0,91	0,90
СК-ЦН-34м	1	0,99	0,97	0,95	-	-	-

Таблица 1.4

Значения R_{500} в зависимости от типов циклонов

Тип циклона	Выхлоп в:		Тип циклона	Выхлоп в:	
	атмосферу	гидр. сеть		Атмосферу	гидр. сеть
ЦН-11	245	250	СДК-ЦН-33	520	600
ЦН-15	155	163	СК-ЦН-34	1050	1150
ЦН-24	75	80	СК-ЦН-34м	-	2000

Таблица 1.5

Значения функции $\Phi(x)$ в зависимости от параметра x

x	-2,7	-2,0	-1,6	-1,4	-1,2	-1,0	-0,8	-0,6	-0,2
$\Phi(x)$	0,004	0,023	0,055	0,081	0,115	0,159	0,212	0,274	0,421
x	0	0,2	0,4	0,6	0,8	1,2	1,6	1,8	2,7
$\Phi(x)$	0,5	0,579	0,655	0,726	0,788	0,885	0,964	0,964	0,997

Значение d_{50} определяется по формуле: $d_{50} = d_{t50} \sqrt{\frac{D \rho_{qt} \mu w_t}{D_t \rho_q \mu_t w}}$, (1.7)

где: ρ_q – плотность частиц; μ – вязкость, w – скорость потока; $D_t = 600$ мм; $\rho_{qt} = 1930$ кг/м³; $\mu_t = 22,2 \cdot 10^{-6}$ Па·с; $w_t = 3,5$ м/с (индекс t означает типовое значение параметра); значение d_{t50} приведено в табл. 1.6.

Таблица 1.6

Значения параметра d_{t50} в зависимости от типа циклона					
Тип	ЦН-11	ЦН-15	ЦН-24	СДК-ЦН-33	СК-ЦН-34
d_{t50}	8,5	4,5	3,65	2,31	1,95
					1,3

7. Осуществляют выбор циклона. Если расчетное η меньше требуемого, то необходимо выбрать другой циклон с большим гидравлическим сопротивлением R . Можно пользоваться формулой:

$$\frac{R_1}{R_2} = \left(\frac{1 - \eta_1}{1 - \eta_2} \right)^2 \frac{w_1}{w_2} \frac{D_1}{D_2}, \quad (1.8)$$

где индексы 1 и 2 соответствуют двум различным циклонам.

8. Рассчитывают конструкционные размеры циклона в мм (рис. 1.2, табл. 1.7) в соответствии с диаметром D (в мм) выбранного циклона:

$$y = k \cdot D, \quad (1.9)$$

где y – конкретный параметр циклона (диаметр d , ширина b , высота H и т.д.); k – коэффициент пропорциональности (табл. 1.7).

9. Радиус улитки рассчитывается по формуле:

$$\rho = D/2 + b\varphi/2\pi, \quad (1.10)$$

где b – ширина входного патрубка; $\varphi = 135^\circ = 2,35$ рад.

Таблица 1.7

Значения коэффициента пропорциональности k в зависимости от типа циклона						
Параметр y	Циклон	ЦН-11	ЦН-15	ЦН-24	СДК-ЦН-33	СК-ЦН-34
Диаметр выхлопной трубы d		0,59			0,334	0,34
Диаметр пылевыпускного отверстия d_1		0,3-0,4			0,334	0,23
Ширина входного патрубка b		0,2			0,264	0,214
Длина входного патрубка l					0,6	
Высота входного патрубка a		0,48	0,66	1,11	0,535	0,515
Высота выхлопной трубы h_t		1,56	1,74	2,11	0,535	0,515
Высота внешней части выхлопной трубы h_b		0,3	0,3	0,4		0,2-0,3
Высота цилиндрической части H_u		2,06	2,06	2,11	0,535	0,515
Высота конуса H_k		2,0	2,0	1,75	3,0	2,11
Высота установки фланца h_{fl}					0,1	
Общая высота циклона H		4,38	4,56	4,26	3,835	2,925
						3,3

10. Начертить схему циклона (в зависимости от типа, рис. 1.2) с конструкционными размерами (в мм).

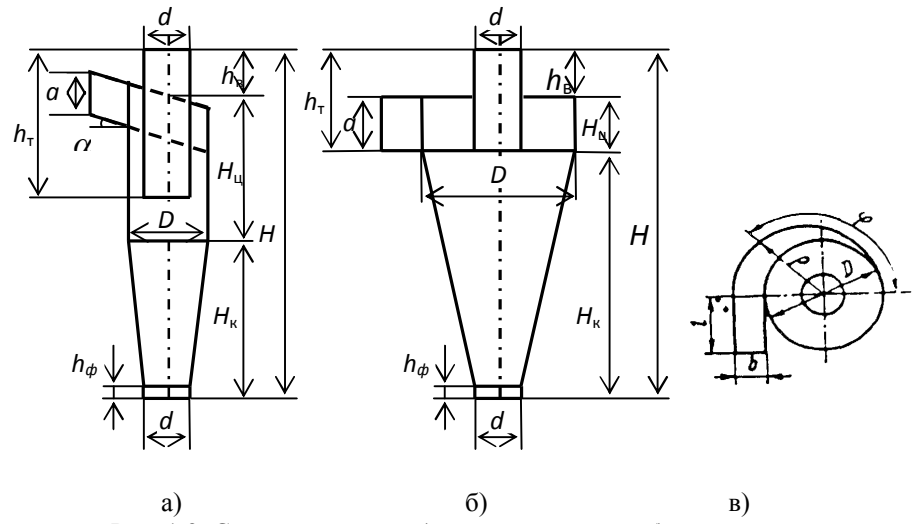


Рис. 1.2. Схема циклонов: а) цилиндрический; б) конический; в) вид сверху (улитка)

Таблица 1.8

№ вар.	Тип	$Q, \text{м}^3/\text{с}$	$c_{bx}, \text{г}/\text{м}^3$	$\rho_i, \text{кг}/\text{м}^3$	$\rho_q, \text{кг}/\text{м}^3$	$\mu \cdot 10^6, \text{Па}\cdot\text{с}$	η
1, 10	ЦН-11	10	40	1,34	1930	22,2	0,95
2, 11	ЦН-11	11	120	1,35	2230	22,1	0,65
3, 12	ЦН-15	12	80	1,36	1650	22,0	0,75
4, 13	ЦН-15	13	10	1,37	1700	21,9	0,95
5, 14	ЦН-24	14	20	1,38	1750	21,8	0,90
6, 15	ЦН-24	15	40	1,39	1900	21,7	0,85
7, 16	СДК-ЦН-33	8	150	1,33	2130	21,6	0,65
8, 17	СК-ЦН-34	5	80	1,32	2050	21,5	0,75
9, 18	СК-ЦН-34м	1	40	1,31	2100	21,4	0,75

Контрольные вопросы

- Классификация сухих механических пылеуловителей.
- Принцип работы циклонов.
- Групповые и батарейные циклоны.
- Основные параметры циклонов.
- Преимущества и недостатки циклонов.

Работа № 2. Расчет пористых металлических фильтров для очистки выбросов от пыли

Цель работы: Приобретение навыков и знаний по расчету и конструкции пористых фильтров.

Вводная часть.

Фильтры широко используются для тонкой очистки промышленных выбросов. Процесс фильтрации основан на задержании частиц примесей в пористых перегородках при движении дисперсных систем через них. Фильтры применяются для очистки выбросов от пыли (с концентрацией до 150 мг/м³), очистки воздуха, подаваемого в помещения (кондиционирования), очистки жидкостей от примесей и др. Эффективность очистки фильтрами зависит от размера частиц (d_a) и их скорости (v), размера пор (d_p), состояния поверхности фильтрэлемента и параметров газового потока.

Фильтры можно классифицировать по типу перегородки, конструкции и назначения. В фильтрах применяются перегородки различных типов [3,4]:

- 1) полужесткие пористые материалы (вязаные сетки, прессованные спирали и стружка);
- 2) жесткие пористые материалы (пористая керамика и металлы);
- 3) гибкие пористые материалы (ткани, войлок, губчатая резина);
- 4) зернистый слой (гравий, песок);

Фильтры 1 и 2 группы (рис. 2.1) представляет собой корпус 1 разделенный пористой перегородкой 2. Задержанные частицы загрязнителя на поверхности перегородки образуют слой 3 и становятся частью фильтровой перегородки. Задерживание частиц происходит в результате эффекта касания, диффузационного, инерционного и гравитационного процессов. Через некоторое время возникает необходимость удаления осадка, т.е. регенерация фильтра, так как по мере накопления частиц пористость уменьшается, а сопротивление увеличивается.

Из фильтров третьего типа наиболее употребительны тканевые рукавные фильтры. В корпусе фильтра устанавливаются необходимое число рукавов, на которые подается запыленный воздух. Воздух проникает через ткань, а частицы пыли задерживаются. Через определенные времена рукава продувают и встряхивают. Эффективность очистки достигает 0,99 для частиц размером более 0,5 мкм.

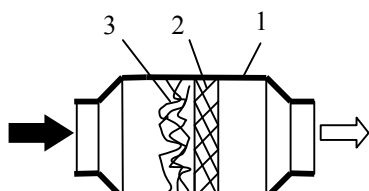


Рис. 2.1. Схема фильтра

Процесс фильтрации характеризуется следующими параметрами: эффективность очистки; тонкость очистки; пористость; скорость фильтрации; пропускная способность; гидравлическое или аэродинамическое сопротивление.

Абсолютная тонкость очистки – это максимальный размер частиц, прошедших через фильтр. Номинальная тонкость очистки – это размер частиц, для которых фракционная эффективность очистки равна 0,97. Предпочтительный ряд: 1; 2; 5; 10; 16; 25 мкм и т.д.

Пористостью фильтрэлемента называется отношение объема пустот (V_n) к полному объему фильтрэлемента (V): $\Pi = V_n/V$.

Скорость фильтрации – это отношение объемного расхода Q (м³/с) очищаемого вещества к площади фильтрующей поверхности F (м²): $w = Q/F$, м/с.

Удельная массовая пропускная способность фильтра: $G = wp$, кг/(м²с), где ρ – плотность очищаемого вещества, кг/м³.

Гидравлическое (аэродинамическое) сопротивление фильтра – это разность давлений на входе и выходе фильтра: $\Delta P = P_{вх} - P_{вых}$.

При проектировании назначается начальное и конечное сопротивление фильтра. При достижении конечного сопротивления процесс фильтрации прекращается и фильтр подвергается регенерации.

Методика расчета

1. Выбирают материал для изготовления фильтрэлемента, исходя из условия эксплуатации фильтра, прочностных, коррозионных характеристик материала и экономичных соображений (или по варианту).

2. Определяют максимальный размер пор:

$$d_{p\max} = 3 d_{то\ abc}, \text{ мкм}, \quad (2.1)$$

где $d_{то\ abc}$ – абсолютная тонкость очистки, мкм.

3. Определяют средний размер пор:

$$d_{p\ cp} = 1,25 d_{p\ max} \Pi^{0,3}, \text{ мкм}, \quad (2.2)$$

где Π – пористость фильтрэлемента.

4. Определяют размер частиц порошка для изготовления фильтрэлемента:

$$d_{ч\ cp} = d_{p\ cp} / \Pi^2, \text{ мкм}. \quad (2.3)$$

5. Назначают толщину фильтрэлемента h по технологическим и прочностным соображениям в пределах 0,25-5мм (обычно – 1мм).

6. Находят скорость потока в порах:

$$w_n = \frac{\Delta P_{нач} \cdot d_{p\ cp}^2}{208 \cdot h \cdot \mu}, \text{ м/с}, \quad (2.4)$$

где $\Delta P_{нач}$ – начальное сопротивление фильтра, Па; μ – вязкость фильтруемого вещества, Па·с.

7. Определяют площадь фильтрации:

$$F = \frac{Q}{w_n \cdot \Pi}, \text{ м}^2. \quad (2.5)$$

8. Определяют расчетное конечное сопротивление фильтра:

$$\Delta P_{\text{кон.}p.} = \frac{\Delta P_{\text{нач}}}{h} \left[\left(1 - e^{-X} \right) \cdot \left(\frac{e^Y - 1}{A \cdot B} \right) + h \right], \text{ Па}, \quad (2.6)$$

где: $X = A \times B \times h$; $Y = A \times q_{\text{вх}} \times \tau$; $q_{\text{вх}} = c_{\text{вх}} / \rho_q$; $B = \frac{(1 - \Pi_0) \Pi}{w_\phi}$, $\text{с}/\text{м}$; $w_\phi = \Pi \times w_n$, $\text{м}/\text{с}$; A –

опытный коэффициент, зависящий от размеров частиц и размер пор: для очистки газов $A = 5,25 \cdot 10^3 \text{ с}^{-1}$, для очистки жидкостей $A = 10 \text{ с}^{-1}$; τ – время работы фильтра, с; $q_{\text{вх}}$ – объемное содержание твердых частиц в фильтруемом веществе на входе фильтра; $c_{\text{вх}}$ – концентрация загрязнителя, $\text{кг}/\text{м}^3$; ρ_q – плотность частиц загрязнителя, $\text{кг}/\text{м}^3$; w_n – скорость фильтрации, $\text{м}/\text{с}$; Π_0 – пористость осадка (смотрите задание).

9. Определяют максимально допустимое время работы фильтра (если $\Delta P_{\text{кон.}p.}$ отличается от заданного $\Delta P_{\text{кон.}}$):

$$\tau_m = \frac{1}{A \cdot q_{\text{вх}}} \cdot \ln \left[1 + \frac{\Delta P_{\text{кон.}p.}}{\Delta P_{\text{нач}}} \cdot \frac{X}{1 - e^{-X}} \right], \text{ с}. \quad (2.8)$$

10. Определяют эффективность очистки:

$$\eta = \frac{q_{\text{вх}} - q_{\text{вых}}}{q_{\text{вх}}} \cdot 100\%, \quad (2.9)$$

где: $q_{\text{вых}} = \frac{1}{A \cdot \tau_m} \cdot \ln \left(\frac{e^Z + e^X - 1}{e^X} \right)$; $Z = A q_{\text{вх}} \tau_m$.

Если конечные данные (например, эффективность очистки) не удовлетворяют требованиям, то расчет производят вновь, изменив размеры фильтр-элемента или структурные свойства его материала.

Примечание: Единицы измерения величин в формулах необходимо перевести в одну систему: 1 час = 3600 с; 1 с = 1/3600 час; 1 мкм = 10^{-6} м; 1 мм = 10^{-3} м; 1 мг = 10^{-6} кг; 1 кПа = 10^3 Па.

Задание. Рассчитать параметры пористого металлического фильтра для очистки воздуха от пыли глиноzemа, при нормальном атмосферном давлении ($P_{\text{атм}} = 100$ кПа) и температуре воздуха 20°C . Начальное сопротивление фильтра $\Delta P_{\text{нач}} = 10$ кПа. Плотность частиц загрязнителя $\rho_q = 3,9 \cdot 10^3 \text{ кг}/\text{м}^3$. Пористость осадка $\Pi_0 = 0,5$. Вязкость воздуха при 20°C : $\mu = 18 \cdot 10^{-6}$ Па·с. Другие исходные данные по вариантам представлены в табл. 2.1: расход воздуха Q ; концентрация пыли в воздухе $c_{\text{вх}}$; требуемая тонкость очистки $d_{\text{то абс}}$; наи-

большее допустимое (конечное) сопротивление фильтра $\Delta P_{\text{кон.}}$; время непрерывной работы фильтра τ .

Таблица 2.1

Исходные данные (варианты).									
№ вар	Q, $\text{м}^3/\text{ч}$	$c_{\text{вх}}, \text{мг}/\text{м}^3$	$d_{\text{то абс}}, \text{мкм}$	$\Delta P_{\text{кон.}}, \text{кПа}$	$\tau, \text{ч}$	Пористый материал	Форма частиц	Π	h, мм
1, 10	150	5	5	20	50	Бронза	Сфера	0,33	1
2, 11	160	10	4	25	45	Ст50ХГ	Сфера	0,25	0,7
3, 12	120	15	3	15	40	Ст50ХГ	80%Сф	0,30	0,5
4, 13	140	20	10	20	35	Ст50ХГ	20%Сф	0,28	2
5, 14	100	25	16	15	30	Ст50ХГ	Лепестковая	0,26	3
6, 15	130	30	25	20	25			0,24	4
7, 16	170	35	10	25	20	Железо	Тарельчатая	0,38	2
8, 17	100	40	16	15	15			0,42	3
9, 18	180	45	25	20	10	Бронза	Сфера	0,35	4

Контрольные вопросы.

- Сущность процесса фильтрации.
- Классификация фильтров по типу перегородки.
- Параметры, характеризующие процесс фильтрации.
- Что означает максимальное время работы фильтра?

Лабораторная работа №3. Расчет электрофильтра

Цель работы: Приобретение знаний и навыков по расчету электрофильтров.

Вводная часть

Электрическая фильтрация основана на зарядке взвешенных частиц и осаждение заряженных частиц на осадительных электродах под действием электрических сил. Газ, содержащий взвешенные частицы, проходит через систему, состоящую из заземленных осадительных электродов и размещенных на некотором расстоянии коронирующими электродов, к которым подводится выпрямленный электрический ток высокого напряжения (рис. 3.1). При достаточно большом напряжении, приложенном к электродам, у поверхности коронирующего электрода возникает интенсивная ударная ионизация газа, сопровождающаяся возникновением коронного разряда (короны). Коронный разряд – это явление ударной ионизации газа под действием движущихся электронов или ионов вблизи коронирующего электрода [1, 3, 4].

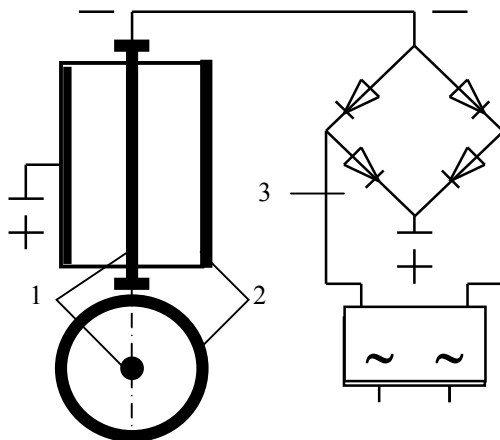


Рис. 3.1. Схема трубчатого электрофильтра

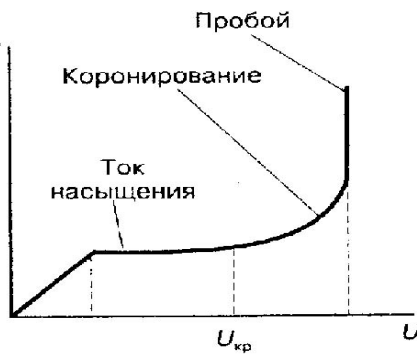


Рис. 3.2. Вольтамперная характеристика электрофильтра

дительной 2 электродах (рис.3.1). Электрофильтр питается от источника высокого напряжения 3 (20-90кВ).

Время зарядки частиц измеряется долями секунды. Скорость движения частиц зависит от напряженности электрического поля и диаметра частиц (табл. 4.1).

Электрофильтры бывают трубчатые и пластинчатые, которые могут быть горизонтальные и вертикальные, сухие и мокрые. В трубчатых электрофильтрах в качестве осадительных электродаов используют трубы диаметром 0,25-

Сила тока зависит от числа ионов и напряжения между электродами. На рис. 3.2 показана ВАХ (вольтамперная характеристика) электрофильтра. Сила тока растет с повышением напряжения до тех пор, пока все ионы не вовлекутся в движение. После этого наступает насыщение, т.е. все ионы вовлечены в движение, и повышение напряжения не влияет на силу тока. При некотором критическом напряжении (U_{kp}) ионы и электроны настолько ускоряются, что, сталкиваясь с молекулами газа, ионизируют их, превращая в положительные ионы и электроны. Образовавшиеся ионы и электроны ускоряются электрическим полем и участвуют в ионизации молекул. Этот процесс называется ударной ионизацией газа. После этого происходит пробой газа. Взвешенные частицы, поступающие в зону между электродами, адсорбируются на своей поверхности ионы, приобретая электрический заряд. Заряженные частицы под действием электрического поля движутся в сторону электрода с зарядом противоположного знака и оседают на коронирующей 1 и осадительной 2 электродах.

0,30 м и длиной 3-5 м. В пластинчатых электрофильтрах в качестве осадительных электродаов используют пластиинки плоских, «с» - образных и других форм. В качестве коронирующих электродаов используют конструкции с не фиксированными и фиксированными точками разряда.

Таблица 3.1

Скорость движения частиц к осадительному электроду, v_3 , м/с

Диаметр частиц, мкм	0,4	1	2	10	30	
E, кВ/м	150	0,012	0,013	0,015	0,075	0,1
	300	0,025	0,03	0,06	0,5	0,6

Важную роль в процессе осаждения пыли на электродах играет электрическое сопротивление слоя пыли. Пыли с удельным сопротивлением от 10^6 до 10^{12} хорошо осаждаются и легко удаляются встряхиванием. Пыли меньшего сопротивления быстро отдают заряд и возвращаются в поток. Пыли большего сопротивления разряжаются медленно и препятствуют осаждению новых частиц.

Для обеспечения равномерности поступления газа на входе электрофильтра устанавливается распределительная решетка. Удаление слоя пыли осуществляется встряхивающим устройством. При этом пыль ссыпается в бункер, расположенный под электродаами. Интервал между встряхивающими импульсами обычно составляет около 3 мин.

Эффективность очистки запыленного газа с помощью электрофильтра определяют по формуле Дейча:

$$\eta = 1 - e^{- \frac{v_3 F}{u_{yd}}}, \quad (3.1)$$

где $F_{yd} = F/Q$ — удельная поверхность осадительных электродаов, см/с; F — площадь осадительных электродаов, m^2 ; Q — расход газа, m^3/s .

Электрофильтры характеризуются следующими параметрами:

- активная зона – рабочая часть аппарата, образованная межэлектродными промежутками;
- активное сечение – свободное сечение активной зоны для прохода газа;
- активная высота поля – расстояние между коронирующими и осадительными электродаами;
- активная длина поля – протяженность поля в направлении хода газа;
- площадь осаждения – суммарная поверхность осадительных электродаов;
- активная длина коронирующих электродаов – суммарная длина всех коронирующих электродаов.

Для расчета электрофильтра необходимы следующие исходные данные:

- объемный расход газа Q и другие параметры очищаемых газов;
- концентрация и некоторые другие свойства пыли;
- требуемая степень очистки газа.

Таблица 3.2.

Исходные данные (варианты)									
№ вар.	Тип электрофильтра	H, R мм	U, кВ	Q, м ³ /с	w _r , м/с	μ, 10 ⁻⁶ Па·с	d, мкм	ε	η
1, 10	УГ (П)	137,5	35	150	0,7	22,2	30	4	0,98
2, 11	ЭГА (П)	150	40	200	1,5	20,1	10	7,5	0,95
3, 12	ЭГТ (П)	130	30	40	0,9	18,8	2	5	0,90
4, 13	УВ (П)	137,5	35	60	1,2	17,5	1	15	0,88
5, 14	СПМ-8	130	30	7	0,8	19,0	0,4	18	0,85
6, 15	ГМЦ-20-2 (П)	137,5	35	25	1,2	23,0	2	2,2	0,90
7, 16	ДМ-316 (Тр)	115	25	20	1,5	20,0	30	4	0,98
8, 17	ШМК-4,5 (Тр)	110	25	5	1,0	17,0	2	5	0,95
9, 18	КТ-9 (Тр)	120	25	8	1,1	18,0	1	15	0,95

Примечание: А – модифицированный; В – вертикальный; Г – горизонтальный; Д – доменный; К – кислотный; М – мокрый; П – пластинчатый; С – сажевый; Т – высокотемпературный; Тр – трубчатый; У – унифицированный; Ц – цилиндрический корпус; Ш – шестигранные электроды; Э – электрофильтр.

Работа №4. Аппараты мокрой очистки запыленных газов. Расчет скруббера и форсунки

Цель работы: Применение приобретенных знаний и навыков при расчете аппаратов мокрой очистки выбросов.

Вводная часть

Мокрые газоочистные аппараты применяют для предварительной очистки и подготовки (кондиционирования) газов, поступающих в газоочистные аппараты других типов, например в рукавные фильтры, электрофильтры. Мокрые пылеуловители широко применяются для очистки воздуха от пыли с размером частиц $d_c=0,3\text{--}2$ мкм, а также при высоких температурах очищаемого газа. В качестве орошающей жидкости (абсорбента) чаще всего применяется вода.

Мокрая очистка эффективнее сухой очистки. Контакт пыли или газа с каплями жидкости увеличивает эффективность очистки. Принцип действия мокрых пылеуловителей заключается в осаждении частицы пыли на поверхность капель и пленки жидкости за счет сил инерции и броуновского движения. При мокрой очистке важную роль играет смачиваемость частиц жидкостью: чем лучше смачиваемость – тем эффективнее очистка.

С учетом конструктивных особенностей мокрые газоочистные аппараты делят на следующие типы: скруббера Вентуры; форсуночные и центробежные скруббера; ударно-инерционные аппараты; барботажно-пенные аппараты и др. [1, 2, 3, 4,].

Методика расчета

1. Выбирают конструктивный тип электрофильтра с учетом исходных условий (по варианту).

2. Рассчитывают требуемую площадь активного сечения электрофильтра:

$$S=Q/w_r, \text{ м}^2, \quad (3.1)$$

где Q - объемный расход очищаемых газов, $\text{м}^3/\text{с}$; w_r – скорость газа, $\text{м}/\text{с}$.

3. Определяют напряженность электрического поля:

$$E=U/H, \text{ В/м}, \quad (3.2)$$

где U – рабочее напряжение электрофильтра, В; H – расстояние между электродами, м. Для трубчатых электрофильтров $H=R$, где R – радиус трубы.

4. Определяют скорость осаждения (дрейфа) частиц:

$$w_0 = \frac{\varepsilon_0 \cdot \varepsilon \cdot d \cdot E^2}{(\varepsilon + 2) \cdot \mu}, \text{ м/с}, \quad (3.3)$$

где $\varepsilon_0=8,85 \cdot 10^{-12} \Phi/\text{м}$; ε - относительная диэлектрическая проницаемость вещества частиц; μ - динамическая вязкость газа, Па·с.

5. Рассчитывают требуемую активную длину электрофильтра:

$$L = \frac{R \cdot w_\Gamma}{2 \cdot w_0} \cdot \ln \frac{1}{1-\eta}, \text{ м} \quad (\text{трубчатый электрофильтр}), \quad (3.4)$$

$$L = \frac{H \cdot w_\Gamma}{w_0} \cdot \ln \frac{1}{1-\eta}, \text{ м} \quad (\text{пластинчатый электрофильтр}), \quad (3.5)$$

где η - требуемая эффективность очистки.

6. Ожидаемая эффективность очистки:

$$\eta = 1 - \exp \left[- \frac{2 \cdot w_0 \cdot L}{R \cdot w_\Gamma} \right] \quad (\text{трубчатый электрофильтр}), \quad (3.6)$$

$$\eta = 1 - \exp \left[- \frac{w_0 \cdot L}{H \cdot w_\Gamma} \right] \quad (\text{пластинчатый электрофильтр}), \quad (3.7)$$

Контрольные вопросы

1. Принцип работы электрофильтра.
2. Вольтамперная характеристика электрофильтра.
3. Классификация электрофильтров.
4. Параметры электрофильтров.

Форсуночный скруббер (рис.4.1) состоит из полой емкости 1, в которую встроен форсунок 2. Очищаемый газ поступает через патрубок 3 и направляется на поверхность воды, где осаждаются крупные частицы. Далее поток поднимается вверх на встречу потока капель жидкости, распыляемой через форсунок. Частицы адсорбируются на поверхности капель и падают вниз. Шлам выводится через нижнюю часть аппарата. Очищенный газ выводится через верхнюю часть аппарата. Количество форсунок может быть несколько. Удельный расход воды составляет $q=3-6 \text{ л}/\text{м}^3$, гидравлическое сопротивление – до $\Delta P=250 \text{ Па}$, при скорости потока $v=0,7-1,5 \text{ м}/\text{с}$. Сечение аппарата можно определить по формуле $S=Q/v$, где Q – объемный расход очищаемого газа, $\text{м}^3/\text{с}$; v – скорость пропускания потока, $\text{м}/\text{с}$.

Форсунки используются для распыления жидкости и распределения газа в различных аппаратах защиты окружающей среды (аппараты мокрой очистки газов, абсорбера, адсорбера и др.). Форсунки можно разделить на три класса: центробежные, центробежно-струйные, ударно-струйные. В каждом классе десятки различных конструкций. В данной работе рассматривается центробежно-струйная форсунка с завихряющими вставками (рис. 4.2). Для расчета скруббера и форсунки необходимы следующие исходные данные: расход очищаемого газа $Q_{\text{газ}}$ ($\text{м}^3/\text{с}$); скорость потока ($\text{м}/\text{с}$); требуемая производительность форсунки Q ($\text{м}^3/\text{с}$); перепад давления $\Delta P_{\text{ж}}$ (Па); корневой угол факела β (град.); свойства жидкости: плотность $\rho_{\text{ж}}$ ($\text{кг}/\text{м}^3$), вязкость $\mu_{\text{ж}}$ ($\text{Па}\cdot\text{с}$) и по-

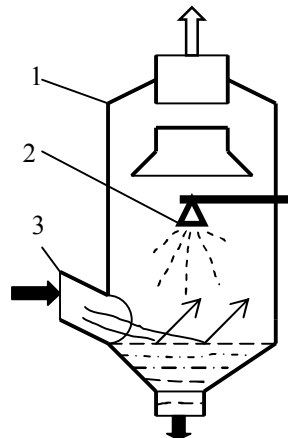


Рис. 4.1. Полый форсуночный скруббер.

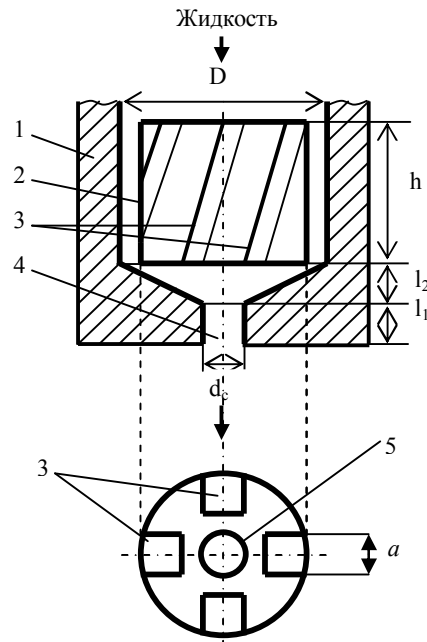


Рис. 4.2. Центробежно-струйная форсунка: 1 – корпус; 2 – вкладыш; 3 – каналы завихряющие; 4 – сопло; 5 – центральный канал

верхностное натяжение σ ; плотность $\rho_{\text{ж}}$ и вязкость $\mu_{\text{ж}}$ окружающего газа; коэффициент расхода γ .

Методика расчета

Упражнение 1. Расчет скруббера

1. Определяют сечение скруббера:

$$S = \frac{Q_{\text{газ}}}{v}. \quad (4.1)$$

2. Определяют диаметр скруббера:

$$D_{\text{ск}} = \sqrt{\frac{4 \cdot S}{\pi}}. \quad (4.2)$$

3. Определяют высоту скруббера:

$$H_{\text{ск}} = (3 \div 4) D_{\text{ск}} \quad (4.3)$$

Упражнение 2. Расчет центробежно-струйной форсунки

1. Определяют диаметр сопла форсунки:

$$d_c = \sqrt{\frac{4 \cdot Q}{\pi \gamma \sqrt{2 \cdot \Delta P_{\text{ж}} / \rho_{\text{ж}}}}}, \text{ м.} \quad (4.4)$$

Для воды $\rho_{\text{ж}}=1000 \text{ кг}/\text{м}^3$. Далее значения d_c переводят в мм.

2. Определяют диаметр вкладыша и равный ему внутренний диаметр корпуса форсунки:

$$D = 1,925 \cdot d_c, \text{ мм.} \quad (4.5)$$

При $d_c \leq 14 \text{ мм}$ значения D принимают 27 мм.

3. Определяют высоту вкладыша:

$$h = 2,5 + 2 \cdot d_c, \text{ мм} \quad (4.6)$$

4. Определяют длину соплового канала:

$$\ell_1 = (0,5 \div 1,0) \cdot d_c, \text{ мм} \quad (4.7)$$

5. Определяют высоту камеры смещения:

$$\ell_2 = \frac{D - d_c}{2 \cdot \tan \frac{\theta}{2}}, \text{ мм,} \quad (4.8)$$

где угол конусности камеры $\theta = 110 \div 130^\circ$.

6. Определяют диаметр центрального канала:

$$d_0 = d_c \sqrt{0,676 - 0,024 \cdot d_c}, \text{ мм.} \quad (4.9)$$

7. Определяют суммарную площадь закручивающих каналов:

$$S_k = 1,075 \cdot \pi \cdot d_c^2, \text{ мм}^2 \quad (4.10)$$

8. Определяют угол наклона закручивающих каналов:

$$\lg \alpha = 0,053 \cdot \beta \cdot \left(\frac{d_0^2}{d_c^2} \right)^{0,58} + 0,32, \quad (4.11)$$

где β в [рад] (1 рад=57,3 град). Далее находят $\alpha=10^x$, [рад], и переводят в [град], где $x=\lg \alpha$.

9. Определяют размер закручивающих каналов:

$$a = \sqrt{\frac{S_k}{n \cdot \cos \alpha}}, \text{ мм}, \quad (4.12)$$

где число каналов $n=4 \div 6$ (если $\alpha > 90^\circ$, то заменит $\cos \alpha$ на $\cos(\alpha-90)$).

10. По необходимости определяют средний объемно-поверхностный диаметр капель жидкости:

$$d_k = 0,154 \cdot \Delta P_k^{0,44} \cdot d_c^{0,23}, \text{ мм}, \quad (4.13)$$

где ΔP_k в [МПа], d_c в [мм].

Исходные данные (варианты).

№ вар.	$Q_{\text{газ}}$, м ³ /ч	Q , м ³ /ч	v , м/с	ΔP_k , МПа	γ	β
1, 10	3000	30	0,5	0,5	0,85	60
2, 11	2500	25	0,4	0,4	0,80	65
3, 12	2000	20	0,3	0,3	0,78	70
4, 13	1500	15	0,2	0,2	0,73	75
5, 14	1000	10	0,15	0,15	0,70	80
6, 15	500	5	0,15	0,15	0,65	60
7, 16	2200	22	0,45	0,45	0,67	70
8, 17	1800	18	0,22	0,22	0,75	80
9, 18	1200	12	0,25	0,25	0,79	65

Контрольные вопросы.

- Сущность метода мокрой очистки газов.
- Классификация аппаратов мокрой очистки.
- Принцип работы и классификация форсунок, область применения.
- Параметры форсунок.

Работа №5. Аппараты физико-химической очистки газов. Расчет процессов и аппаратов адсорбции газов

Цель работы: приобретение навыков по выбору и расчету адсорберов.

Вводная часть

Физико-химическими способами очистки газов являются абсорбция, адсорбция, хемосорбция, термическая и каталитическая нейтрализация.

Абсорбция (газов) - это процесс поглощения одной или нескольких компонентов из газовой среды объемом жидкого поглотителя (абсорбентом), приводящий к образованию раствора. **Адсорбцией** (газов) называют процесс концентрирования одной или нескольких компонентов (адсорбата) из газовой среды на поверхности раздела между газом и адсорбентом. Если поглощение вещества связано с химическим взаимодействием с поглотителем, процесс называется **хемосорбцией**. Хемосорбция выгодна при небольшой концентрации загрязнителя, является одним из распространенных способов очистки отходящих газов от оксидов азота [3, 4, 10].

Если химическое взаимодействие отсутствует, процесс называется физической сорбцией или просто сорбцией. Обратный процесс сорбции называется **десорбцией**, применяется для регенерации (восстановления) сорбента и извлечения ценных компонентов.

При проектировании адсорбера необходимо уделять внимание на организации контакта газового потока с поглотителем. Чем больше поверхность раздела фаз, турбулентность потоков и диффузия, тем эффективнее процесс.

Организация контакта газового потока с жидким поглотителем осуществляется пропусканием газа через насадочную колонну, распылением жидкости, барботированием и другими способами. Газ называется хорошо растворимым, если его растворимость при $t=0^\circ\text{C}$ и $P=100$ кПа составляет сотни граммов на 1кг растворителя. Например, для улавливания аммиака, хлористого и фтористого водорода в качестве адсорбента применяется вода; для улавливания паров воды – сернистая кислота; для улавливания ароматических углеродов – вязкие масла.

В качестве твердых сорбентов применяют микропористые вещества, имеющие большую площадь поверхности на единицу массы.

Активированный (активный) уголь получают термической обработкой (выпаривания) различных углесодержащих веществ, без доступа воздуха. Удельная площадь поверхности активных углей составляет $10^5 \div 10^6 \text{ м}^2/\text{кг}$.

Селикаэли и алюмогели представляют продукты термической обработки (обезвоживания) гелей кремниевых и алюминиевых (гидроксид алюминия) кислот. Они имеют широкий набор пор различных размеров, поэтому могут поглощать сразу несколько компонентов. Цеолиты – природные и синтетиче-

ские алюмосиликаты, отличаются высокой однородностью пор, а потому высокой селективностью. Это позволяет применять принцип «молекулярного сита», т.е. применения набора цеолитов с различными размерами пор для поочередной сорбции различных компонентов – от мелких молекул до крупных.

Среди сорбентов особое место занимают аниониты и катиониты – природные или синтетические ионообменные смолы в виде зерен размером до 1-1,5 мм, например, зерна сульфированного полистирола.

При выборе сорбента предъявляются следующие требования:

- селективность – избирательное поглощение компонента;
- большая поглотительная способность – уменьшает затраты;
- низкая летучесть – избежание потерь с уходящим газом;
- устойчивость – отсутствие способности к разложению, окислению;
- доступность и дешевизна, легкая генерируемость.

На практике приходится идти на компромисс в каждом конкретном случае, так как сорбент не может удовлетворять всем требованиям одновременно.

Адсорбция широко применяется: для улавливания паров растворителя из воздуха при окраске автомобилей; для очистки выхлопных газов автомобилей; для улавливания паров эфира, ацетона в производстве нитроцеллюлозы и бездымного пороха; для улавливания органических смол и паров растворителя в системе вентиляции предприятий по производству стекловолокна и стеклотканей; для улавливания ядовитых веществ на выходе лабораторных вытяжных шкафов; для улавливания радиоактивных газов (йод) при эксплуатации ядерных реакторов и многое другое.

Термическая нейтрализация вредных примесей проводится по одной из трех схем: 1) прямое сжигание в пламени при $t=600-800^{\circ}\text{C}$; 2) термическое окисление при $t=600-800^{\circ}\text{C}$; 3) каталитическая нейтрализация при $t=250-450^{\circ}\text{C}$. Выбор схемы проводится с учетом химического состава газов, расхода, ПДВ и ограничивается характером образующихся продуктов. Термическая нейтрализация не применяется при наличии в выбросах серы, галогенов (хлор, фтор, бром, йод) и фосфор, так как при этом образуются вещества много раз токсичные, чем первоначальные вещества.

Адсорбера конструктивно подразделяют на вертикальные (рис. 5.1), горизонтальные и кольцевые. Адсорбера также бывают периодические и непрерывные.

При расчете и проектировании адсорбера необходимо наличие следующих исходных данных:

- объемный расход очищаемого газа (выбросов) $Q, \text{ м}^3/\text{с}$;
- концентрация примеси на входе адсорбера $c_0, \text{ кг}/\text{м}^3$;
- свойства очищаемого газа (температура, плотность, вязкость);
- свойства предполагаемого типа сорбента (плотность, поглотительная способность, форма зерен и т.д.).

Методика расчета

1. Выбирают рабочую температуру (минимально возможную) и тип сорбента. Выбор сорбента проводится по изотерме адсорбции при данных t и c_0 . В данной расчетной работе параметры сорбента приведены в таблице исходных данных (вариантов).

2. Рассчитывают коэффициент диффузии примеси в воздухе:

$$D = \frac{0,00435T^{1,5}}{P(V_{mA} + V_{mB})} \sqrt{\frac{1}{M_A} + \frac{1}{M_B}}, \text{ м}^2/\text{с}, \quad (5.1)$$

где T – температура потока (принимаем 293K); P – давление, Па (принимаем 10^5Pa); V_{mA} , V_{mB} , M_A и M_B – мольные объемы ($\text{см}^3/\text{моль}$) и массы ($\text{кг}/\text{кмоль}$) соответственно примеси (A) и воздуха (B). Для воздуха: $V_{mB}=29,9 \text{ см}^3/\text{моль}$; $M_B=29 \text{ кг}/\text{кмоль}$.

Рис. 5.1. Схема адсорбера: 1 – корпус; 2 – адсорбент; 3 – решетка; 4 - патрубок входной для ЗГ (загрязненный газ); 5 - приспособления для подачи ОП (острый пар); 6 – патрубок вывода УК (уловленный компонент) при десорбции; 7 - патрубок вывода ОГ (очищенный газ).

3. Рассчитывают коэффициента массопередачи:

$$K = \frac{1,6D}{d_3^{1,46}} \left(\frac{v_0}{v} \right)^{0,54}, \text{ 1/c}, \quad (5.2)$$

где D – коэффициент диффузии, $\text{м}^2/\text{с}$; v_0 – скорость газового потока, поступающего в адсорбер, принимаем $v_0=0,5\text{м}/\text{с}$; v - кинематическая вязкость очищаемого газа, $\text{м}^2/\text{с}$ (для воздуха, при 20°C : кинематическая вязкость $v=16 \cdot 10^{-6} \text{ м}^2/\text{с}$, плотность $\rho=1,2\text{кг}/\text{м}^3$); d_3 – размер зерна сорбента, м.

5. Время процесса адсорбции:

$$\tau = \left(\sqrt{\frac{cL}{v_0 c_0}} - b \sqrt{\frac{c}{K c_0}} \right)^2, \text{ с}, \quad (5.3)$$

где c – концентрация адсорбируемого вещества в адсорбенте, равновесная с концентрацией потока, $c=\alpha p_n, \text{ кг}/\text{м}^3$; L – высота слоя адсорбента, принимаем $L=1\text{м}$. Коэффициент b определяется в зависимости от концентрации примеси

на входе адсорбера c_0 ($\text{кг}/\text{м}^3$), и требуемой концентрации примеси на выходе адсорбера c_1 (табл. 5.1). Принимаем $c_1=1\text{мг}/\text{м}^3=10^{-6}\text{ кг}/\text{м}^3$.

Таблица 5.1

Значения коэффициента b

$c_1/c_0,$	0,005	0,006	0,007	0,008	0,009	0,010	0,012	0,014	0,030
b	1,84	1,80	1,76	1,73	1,70	1,67	1,62	1,58	1,35

$$5. \text{ Минимально необходимая масса сорбента: } m = \frac{\rho c_0 \tau}{\alpha} K_3, \text{ кг, (5.4)}$$

где α - статическая поглотительная способность сорбента в рабочих условиях, $\text{кг}/\text{кг}$; $K_3=1,2$ – коэффициент запаса.

6. Коэффициент формы зерен, учитывающий неравнную доступность всей поверхности зерна обдувающему потоку:

$$K_\phi = \frac{1,5d_3l_3}{(l_3 + 0,5d_3)(1,5d_3^2l_3)^{1,3}}, \quad (5.5)$$

где d_3 и l_3 – диаметр и длина зерен, мм. При $d_3=l_3$ получим:

$$K_\phi = \frac{d_3}{1,69d_3^{3,9}}, \quad (5.6)$$

где d_3 диаметр зерен в [мм].

$$7. \text{ Пористость слоя сорбента: } \Pi = \frac{\rho_k - \rho_h}{\rho_k}, \quad (5.7)$$

где ρ_k и ρ_h – кажущаяся и насыпная плотность сорбента, $\text{кг}/\text{м}^3$

8. Эквивалентный диаметр зерен:

$$d_9 = \frac{\Pi d_3 l_3}{(1-\Pi)(0,5d_3 + l_3)^{1,3}} = \frac{\Pi d_3}{1,5(1-\Pi)}, \text{ м; (5.8)}$$

где d_3 диаметр зерен в [м]; Π – пористость слоя сорбента.

10. Коэффициент гидравлического сопротивления:

$$R = \begin{cases} \frac{220}{Re}, & -npu - Re < 50 \\ \frac{11,6}{Re^{0,25}}, & -npu - 50 \leq Re \leq 7200 \end{cases} \quad (5.9)$$

10. Критерия Рейнольдса Re , учитывающий характер потока:

$$Re = \frac{\nu_o d_9 \rho_e}{\mu}, \quad (5.10)$$

где $\nu_o=0,5 \text{ м}/\text{с}$; $\rho_e=1,2 \text{ кг}/\text{м}^3$; $\mu=19,2 \cdot 10^{-6} \text{ Па}\cdot\text{с}$.

11. Определяют скорость потока газа через адсорбер в зависимости от падения давления, параметров сорбента и газа:

$$v = \sqrt[3]{\frac{4K_\phi \Delta P d_9 \Pi^3 \rho_h Q}{3R \rho_e (1-\Pi)m}}, \text{ м}/\text{с}, \quad (5.11)$$

где ΔP – падение давления, Па.

12. Диаметр адсорбера:

$$D = \sqrt{\frac{4Q}{\pi v \Pi}}, \text{ м.} \quad (5.12)$$

13. Длина (высота) слоя сорбента:

$$L = \frac{4m}{\pi \rho_h D^2}, \text{ м.} \quad (5.13)$$

14. Высота аппарата:

$$H=(1,2\dots 1,5)D. \quad (5.14)$$

15. Начертить конструктивную схему аппарата с размерами (рис. 5.1).

Таблица 5.2

№ вар.	$Q, \text{ м}^3/\text{ч}$	Вещ.	$V_{\text{mA}}, \text{ См}^3/\text{моль}$	$c_0, \text{ мг}/\text{м}^3$	$d_3, \text{ мм}$	$\rho_h, \text{ кг}/\text{м}^3$	$\rho_k, \text{ кг}/\text{м}^3$	$\alpha, \text{ кг}/\text{кг}$	$\Delta P, \text{ Па}$
1, 10	1000	CO	30,7	60	8	500	750	0,20	3500
2, 11	950	SO ₂	44,8	70	7	450	700	0,19	4000
3, 12	1200	NO	23,6	80	10	400	650	0,18	2500
4, 13	1100	NH ₃	25,8	90	9	350	550	0,17	4500
5, 14	900	H ₂ S	32,9	140	8	550	800	0,16	2000
6, 15	800	Cl ₂	48,4	130	7	600	850	0,15	3500
7, 16	550	C ₆ H ₆	96,0	120	5	500	750	0,19	1500
8, 17	1200	Cl	24,6	110	10	450	700	0,17	3000
9, 18	450	I ₂	71,5	100	6	400	650	0,16	2000

Контрольные вопросы

- Что такое абсорбция, адсорбция, хемосорбция и десорбция?
- Сорбенты и требования к ним.
- Параметры процесса адсорбции.
- Область применения сорбции.

Работа №6. Оборудования для механической очистки сточных вод. Расчет песколовки и отстойников

Цель работы: Приобретение навыков выбора и расчета песколовок и отстойников.

Вводная часть

Гидросфера – это совокупность океанов, морей, озер, рек, прудов, болот, подземных вод, ледников и водяных паров атмосферы. Обычно в воде находятся различные примеси органического и неорганического происхождения. Источниками загрязнения водных объектов являются промышленность, сельское хозяйство, города, транспорт. Число загрязнителей достигает 2500. До 80% всех заболеваний связано с качеством потребляемой воды.

Основные пути решения проблемы защиты водных объектов являются очистка сточных вод от загрязнения, обеспечение режима и регулирования качества воды, создание оборотных и замкнутых систем водоснабжения. Качество воды характеризуется органолептическими (цвет, запах, привкус, мутность), гидрохимическими (рН, растворенный кислород, минерализация, биогенные элементы, железо), микробиологическими показателями и содержанием токсинов. Критерием качества воды является значение:

$$\sum_{i=1}^n \frac{C_{\phi i}}{ПДК_i} \leq 1,$$

где $C_{\phi i}$ – фактическая концентрация i -го вещества в воде, мг/л; ПДК $_i$ – предельно-допустимая концентрация этого вещества в воде, мг/л, n – количество веществ данной группы.

Нормативом поступления веществ в водный объект является ПДС – предельно допустимый сброс массы вещества за единицу времени, г/с:

$$ПДС=qC_{пдс},$$

где q – расход сточных вод, $\text{м}^3/\text{с}$; $C_{пдс}$ – разрешенная концентрация вредного вещества в сточной воде, $\text{г}/\text{м}^3$.

Механическая очистка воды применяется для выделения из воды нерастворенных минеральных и органических примесей. В большинстве случаев механическая очистка является предварительной (грубой) очисткой, перед другими методами. Для удаления из воды взвешенных частиц применяют процеживание, отстаивание, центрифugирование, фильтрование. Выбор метода зависит от размера частиц примесей, физико-химических свойств и концентрации взвешенных частиц, расхода сточных вод и степени очистки.

Перед подачей сточных вод на механическую очистку их могут направлять в усреднители, которые регулируют состав и расход сточных вод, так как состав и расход сточных вод значительно изменяется в течение суток. Усреднители либо дифференцируют поток, либо перемешивают отдельные потоки.

Процеживание – первичная стадия обработки сточных вод для извлечения из них крупных нерастворимых примесей, а также волокнистых фракций, которые препятствуют нормальной работе очистительных сооружений. Для этого сточные воды пропускают через решетки (сита) и волокноуловители, перед отстойниками.

Отстаивание – осаждение взвешенных частиц под воздействием гравитационных сил. Отстаивание осуществляется в песколовках и отстойниках. Песколовки устанавливаются перед отстойниками, для выделения тяжелых минеральных примесей (песка), что упрощает эксплуатацию отстойников и сооружений по обработке осадка. Время пребывания воды в песколовках составляет 0,5-2 мин. Обезвоженный песок можно использовать в строительстве.

Отстойники делятся на горизонтальные и вертикальные. Вертикальный отстойник с центральной трубой для впуска воды состоит из цилиндрической и конической частей и центральной трубы для выпуска воды. Последняя модификация вертикальных отстойников – радиальные отстойники, отличаются радиальной конфигурацией и наличием скребкового механизма. Вертикальный отстойник с периферийным впуском воды представлен на рис. 6.2. Емкость отстойников чаще всего рассчитывается на 1,5 ч, во время которого выпадает 40-60% взвешенных веществ. Эффективность очистки можно повысить, увеличивая скорость осаждения частиц путем их укрупнения коагуляцией и флокуляцией или уменьшением вязкости воды нагреванием.

Для очистки сточных вод, содержащих нефть, при концентрации более 100 мг/л применяют нефтоловушки. Нефтоловушки представляют собой прямоугольные резервуары, подобные горизонтальным отстойникам, в которых нефть и вода разделяются из-за разности плотностей, причем нефть всплывает на поверхность, собирается и утилизируется.

Характеристики различных аппаратов механической очистки приведены в таблице 6.1 [3, 4, 10].

Табл. 6.1

Характеристики аппаратов механической очистки			
Аппарат	Размер улавливаемых частиц, мкм	Концентрация до очистки, мг/л	Концентрация после очистки, мг/л
Решетки	1600	0,5-2	-
Песколовки	200-250	500	-
Отстойники	50-30	500-300	150-100
Фильтры	1-0,1	350-10	3,5-3

Методика расчета.

Упражнение 1. Расчет горизонтальной песколовки

1. Площадь сечения песколовки:

$$F=Q/vn, \quad (6.1)$$

где Q — расход сточных вод, $\text{м}^3/\text{с}$; v — средняя скорость движения воды, принимаем $0,2\text{ м}/\text{с}$; n — количество отделений.

2. Длину песколовки (рис. 6.1) вычисляют по формуле:

$$L = k \frac{h_1}{u_0} v, \quad (6.2)$$

где h_1 — глубина проточной части, м; u_0 — гидравлическая крупность песка расчетного диаметра, $\text{м}/\text{с}$ (табл. 6.1); k — коэффициент, учитывающий влияние турбулентности и других факторов на работу песколовок:

$$k = \frac{u_0}{\sqrt{u_0^2 - 0,0025v^2}}.$$

3. Ширина песколовки:

$$B=F/h_1, \text{ м.}$$

4. Общая высота песколовки:

$$H = h_1 + h_2 + h_3 + h_4, \text{ м,}$$

где h_1 , h_2 , h_3 и h_4 — соответственно высота проточной части, слоя песка, надводной части и приямки (принимаем: $h_4=h_1$; $h_2=h_3=h_1/2$).

5. Уклон днища для сползания слоя песка к приямку принимают $0,2\text{-}0,4$.

6. Начертить схему песколовки (рис.6.1).

Таблица 6.1

Исходные данные (варианты)

№ варианта	$Q, \text{м}^3/\text{ч}$	N	$h_1, \text{м}$	$d_{eq}, \text{мм}$	$u_0, \text{мм}/\text{с}$
1, 10	500	1	0,7	0,25	24,2
2, 11	400	1	0,5	0,3	29,7
3, 12	300	1	0,6	0,35	35,1
4, 13	100	1	0,7	0,4	40,7
5, 14	70	1	0,8	0,5	51,6
6, 15	50	1	0,4	0,25	24,2
7, 16	1000	2	1	0,3	29,7
8, 17	700	2	0,9	0,35	35,1
9, 18	500	1	0,8	0,4	40,7

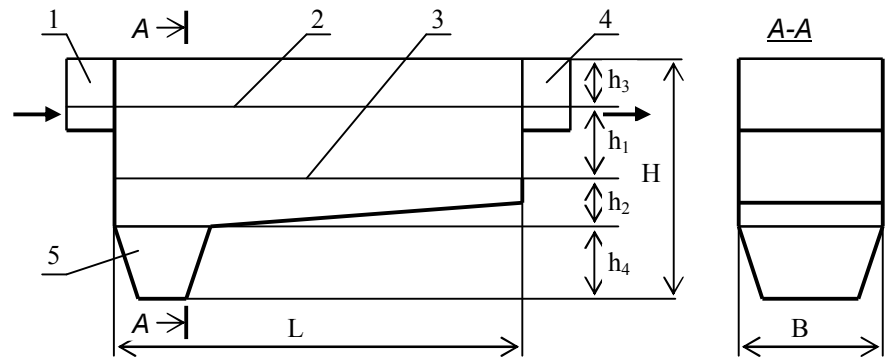


Рис. 6.1. Песколовка горизонтальная: 1 — лоток подающий; 2 — уровень воды; 3 — слой песка; 4 — лоток отводящий; 5 — приямок.

Упражнение 2. Расчет отстойников.

1. Расчет горизонтального отстойника.

1.1. Скорость осаждения частиц в отстойнике (для мелких частиц сферической формы, осаждающихся в ламинарном режиме и в нестесненных условиях (критерий Архимеда $Ar \leq 3,6$)) можно рассчитать по уравнению Стокса:

$$v_{oc} = \frac{(\rho_q - \rho_{ж})d_{eq}^2 g}{18\mu}, \text{ м}/\text{с}, \quad (6.3)$$

где d_{eq} — минимальный эквивалентный диаметр частиц, высаживаемых в отстойнике, м; ρ_q — кажущаяся плотность частиц, $\text{кг}/\text{м}^3$; $\rho_{ж}$ — плотность жидкости, примем $1020 \text{ кг}/\text{м}^3$; g — ускорение свободного падения, равное $9,81 \text{ м}/\text{с}^2$; μ — динамическая вязкость жидкости, принимаем $10^{-3} \text{ Па}\cdot\text{с}$.

1.2. Рабочий объем отстойника:

$$V=Qt, \text{ м}^3 \quad (6.4)$$

где τ — время отстаивания, принимаем $1,5$ ч.

1.3. Ширина отстойника:

$$B = \frac{Q}{vH}, \text{ м,} \quad (6.5)$$

где Q — расход сточных вод, $\text{м}^3/\text{с}$; v — скорость движения сточных вод в отстойнике, принимаем равной $0,005 \text{ м}/\text{с}$; H — глубина горизонтального отстойника, принимаем равной $3,2 \text{ м}$.

1.4. Длина горизонтального отстойника:

$$L = \frac{V}{BH}, \text{ м.} \quad (6.6)$$

1.5. Днище отстойника выполняется с уклоном к приямку не менее 0,005; высота нейтрального слоя принимается равной 0,3 м над поверхностью осадка; для вторичных отстойников должна быть учтена глубина слоя ила, равная 0,3-0,5 м.

2. Расчет вертикального отстойника с впуском воды через центральную трубу, снабженную в нижней части раструбом и отражательным щитом.

2.1. Рабочий объем отстойника рассчитывается по формуле (6.4).

2.2. Высота рабочей (цилиндрической) части отстойника:

$$H = v t, \text{ м}, \quad (6.7)$$

где v — скорость движения сточной воды в отстойнике, принимаем 0,7 мм/с.

2.3. Площадь сечения отстойника:

$$F = \frac{V}{H}, \text{ м}^2. \quad (6.8)$$

2.4. Площадь сечения центральной трубы:

$$f_{\text{цт}} = \frac{Q}{v_{\text{цт}}}, \text{ м}^2, \quad (6.9)$$

где $v_{\text{цт}}=250-300$ мм/с — скорость движения сточной воды в центральной трубе.

2.5. Диаметр центральной трубы:

$$d_{\text{цт}} = \sqrt{\frac{4f_{\text{цт}}}{\pi}}, \text{ м}. \quad (6.10)$$

2.6. Диаметр отстойника:

$$D = \sqrt{\frac{4(F + f_{\text{цт}})}{\pi}}. \quad (6.11)$$

2.7. Остальные параметры принимаются:

- угол наклона поверхности отражательного щита к горизонту $\alpha=17^\circ$;
- диаметр раструба и его высота $d_p=h_p=1,35d_{\text{цт}}$;
- диаметр отражательного щита $d_{\text{опт}}=1,3d_p$;
- высота нейтрального слоя между низом отражательного щита и поверхностью накопленного осадка $h_{\text{nc}}=0,3$ м;
- угол наклона стенок иловой части $\beta=50-60^\circ$.

3. Расчет вертикальных отстойников с периферическим впуском воды (рис. 6.2).

3.1. Радиус вертикальных первичных отстойников можно определить по формуле:

$$R_b = \sqrt{\frac{Q}{3,6\pi k v_{\text{oc}}}}, \text{ м}, \quad (6.12)$$

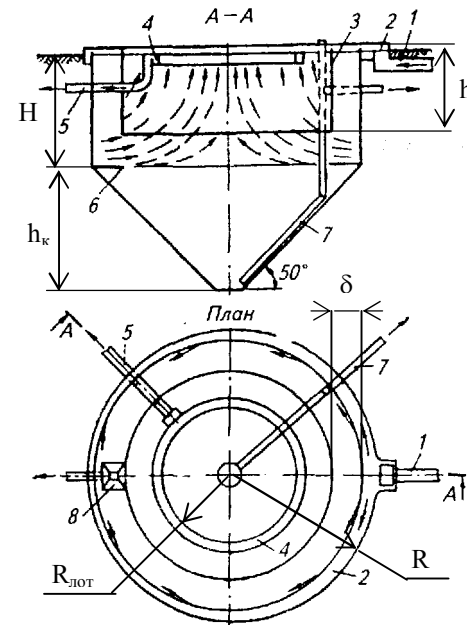


Рис. 6.2. Вертикальный отстойник с периферическим впуском воды:

- 1 - лоток подающий; 2 - лоток водораспределительный; 3 - стенка струенаправляющая; 4 - лоток кольцевой водосборный; 5 - трубопровод для отвода осветленной воды; 6 - кольцо отражательное; 7 - труба для выпуска осадка; 8 - сборник всплывающих веществ.

- скорость воды в водораспределительном лотке $v_{\text{лот}}=0,4-0,5$ мм/с;
- радиус внутренней стенки кольцевого водосборного лотка с зубчатыми водосливами $R_{\text{лот}}=0,5R$;
- удельная нагрузка на зубчатый водослив $q=6\text{l}/(\text{с}\cdot\text{м})$;
- угол наклона стенок иловой части $\beta=50-60^\circ$.

4. Расчет радиальных отстойников.

- 4.1. Рабочий объем отстойника рассчитывают по формуле (6.4).

где Q — расход сточных вод, $\text{м}^3/\text{ч}$; k — коэффициент объемного использования (для отстойников с центральной впускной трубой - 0,35, для отстойников с нисходящевосходящими потоками с периферическим впуском воды — 0,65-0,7); v_{oc} — скорость осаждения частиц, мм/с, рассчитывается по уравнению (6.3).

3.2. Радиус отстойников с нисходящевосходящим потоком $R=1,4R_b$.

3.3. При проектировании отстойников с периферическим впуском воды их радиус принимается равным до 5м. Ширина кольцевой зоны определяется по формуле:

$$\delta = R - \sqrt{R^2 - \frac{Q}{3,6\pi v_{\text{bx}}}}, \text{ м}, \quad (6.13)$$

где $v_{\text{bx}}=5-7$ мм/с — скорость входа воды в рабочую зону.

3.4. Остальные параметры принимаются:

- рабочая глубина $H=8\delta$;
- заглубление струенаправляющей стенки $h=0,7H$;
- ширина отражательного кольца $b=2\delta$;

4. Остальные параметры принимаются:

- рабочая глубина $H=8\delta$;
- заглубление струенаправляющей стенки $h=0,7H$;
- ширина отражательного кольца $b=2\delta$;
- скорость воды в водораспределительном лотке $v_{\text{лот}}=0,4-0,5$ мм/с;
- радиус внутренней стенки кольцевого водосборного лотка с зубчатыми водосливами $R_{\text{лот}}=0,5R$;
- удельная нагрузка на зубчатый водослив $q=6\text{l}/(\text{с}\cdot\text{м})$;
- угол наклона стенок иловой части $\beta=50-60^\circ$.

4.2. Радиус радиальных отстойников рассчитывают по формуле (6.12), где коэффициент $k=0,45$.

4.3. Высота зоны отстаивания:

$$h_1 = \frac{V}{\pi R^2}, \text{ м.} \quad (6.14)$$

4.4. Общая высота отстойника лежит в пределах 1,5-5м или $H=(1/3\dots 1/6)R$ и складывается из трех зон:

$$H=h_1+h_2+h_3, \quad (6.15)$$

где h_1 - высота зоны отстаивания; h_2 - высота нейтрального слоя или зоны сгущения - 0,3 м; h_3 - высота зоны расположения лопастей и слоя осадка - 0,3 м, или глубина слоя ила (для вторичных отстойников) - 0,3-0,5 м;

4.4. Остальные параметры принимаются:

- нагрузка на водосливный фронт зубчатого водослива $q \leq 10 \text{ л}/(\text{с}\cdot\text{м})$;
- частота вращения илоскребов и илососов $n=0,8-3 \text{ ч}^{-1}$.

5. Начертить конструктивную схему песковки и отстойника с полученными размерами.

Таблица 6.1

Исходные данные (варианты)

№ варианта	$Q, \text{ м}^3/\text{ч}$	$C_0, \text{ мг/л}$	$d_q, \text{ мкм}$	$\rho_q, \text{ кг/м}^3$	Отстойник
1, 10	500	1000	50	1500	Горизонтальный
2, 11	400	950	45	1550	Горизонтальный
3, 12	300	900	40	1600	Горизонтальный
4, 13	100	850	35	1650	Вертикальный
5, 14	70	800	50	1700	Вертикальный
6, 15	50	750	45	1750	Вертикальный
7, 16	1000	700	40	1800	Радиальный
8, 17	700	650	35	1850	Радиальный
9, 18	500	600	30	1900	Радиальный

Контрольные вопросы

1. Что такое процеживание?
2. Для чего применяются песковки?
3. Дайте классификацию отстойников.
4. Для чего применяются нефтеловушки?

Работа №7. Разделение «жидкость – твердое» тело центрифугированием. Технологический и конструктивный расчет центрифуг

Цель работы: Приобретение навыков по очистке воды от твердых частиц методом центрифугирования, выбор и расчет центрифуг.

Приборы и принадлежности: Центрифуга, фотоколориметр, мерные цилиндры, суспензия (сточная вода, содержащая взвешенные вещества).

Вводная часть

Центрифугирование – это процесс разделения неоднородных систем (суспензий, эмульсий, шламов и ряд других систем) под действием центробежных сил, создаваемых в результате вращения ротора с объектом. При этом на тела (частицы) действует центробежная сила:

$$F_{\text{ц}} = m \frac{v^2}{R} = m \omega^2 R, \quad (7.1)$$

где m - масса частицы; v - линейная скорость частицы, ω - угловая скорость вращения; R – радиус вращения. Как видно из формулы, изменяя скорость и радиус, можно получить силу в сотни и тысячи раз больше гравитационной, что влияет на скорость осаждения, производительности и компактности аппарата. Центрифугирование суспензий осуществляется в центрифугах и гидроциклах. Аппараты для разделения и концентрирования эмульсий также называются сепараторами. Центрифугирование растворов не применяется, так как центробежное поле, развиваемое в современных центрифугах, не позволяет преодолеть силы диффузии [1, 2, 7, 10].

По значениям фактора разделения центрифуги подразделяют на: нормальные центрифуги ($Fr < 4000$) и суперцентрифуги ($Fr > 4000$). К настоящему времени максимальное значение фактора разделения промышленных центрифуг достигло значения 15000, а небольших – 9000. Фактор разделения центрифуги или центробежная критерия Фруда называется величиной, показывающей на сколько центробежная сила превышает силу гравитации:

$$Fr = \omega^2 R / g, \quad (7.2)$$

где ω - угловая скорость вращения ротора центрифуги, рад/с; R – характерный размер ротора (радиус), м.

Еще одной из основных характеристик центрифуг является индекс производительности Σ - площадь поверхности осаждения такого идеального гравитационного отстойника, который может быть заменен центрифугой, выполняющей его функции. Для цилиндрического ротора:

$$\Sigma = 4\pi R^2 L \omega^2 / g, \text{ м}^2, \quad (7.3)$$

где L – длина (высота) ротора, м.

Важной характеристикой центрифуг является крупность разделения – наиболее крупные частицы дисперсной фазы, которые могут быть вынесены с фугатом (очищенной водой):

$$d_{kp} = \sqrt{\frac{18\mu Q}{\Sigma(\rho - \rho_j)g}}, \text{ м} \quad (7.4)$$

где μ – динамическая вязкость очищаемой жидкости, Па·с; ρ и ρ_j – плотность взвешенных частиц и жидкости, кг/м³.

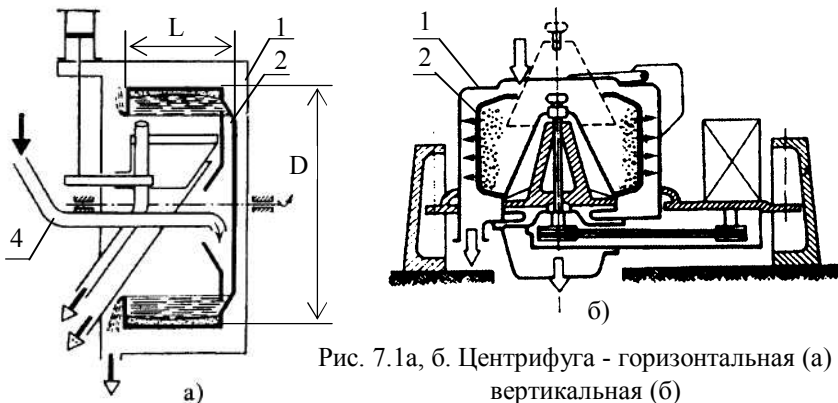


Рис. 7.1а, б. Центрифуга - горизонтальная (а) и вертикальная (б)

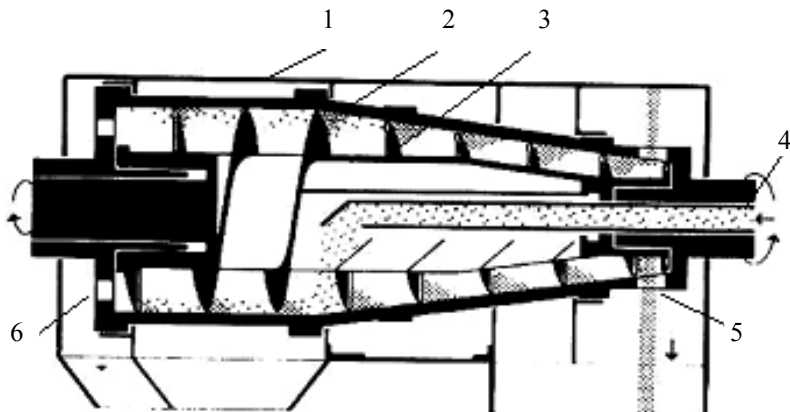


Рис.7.1 в. Центрифуга типа ОГШ: 1 – корпус; 2 – ротор; 3 – шнек; 4 – питающая труба; 5 – окно выгрузки осадка; 6 – окно отвода фугата

Центрифуги подразделяются на горизонтальные (рис.7.1а) и вертикальные (рис. 7.1б), производственные и лабораторные (рис. 7.2), непрерывные и перио-

дические, осаждающие и осветляющие. По способу выгрузки осадка центрифуги подразделяются на ручной, шнековый (рис. 7.1в), пульсирующий.

Гидроциклоны состоят из цилиндрической и конической частей, отличаются отсутствием движущихся частей (роторов). Вращение потока происходит из-за тангенциального расположения входного патрубка (подобно циклонам). Гидроциклоны подразделяются на открытые и напорные.

Диаметр и высота открытых гидроциклонов составляет 2-6 м, угол конической части - 60°, скорость осаждения частиц - достигает 0,02 м/с. Диаметр входного отверстия $d=0,1D$. Открытые гидроциклоны отличаются большой производительностью и малой потерей напора (до 500Па), производительность:

$$Q=3,4vD^2, \text{ м}^3/\text{с}, \quad (7.5)$$

где v – скорость воды на входе аппарата, м/с; D – диаметр цилиндрической части, м.

Диаметр цилиндрической части напорных гидроциклонов составляет 25-500 мм. Сточная вода подается под давлением 0,15-0,4 МПа. Производительность напорного гидроциклона:

$$Q = kDd\sqrt{2g\Delta P}. \quad (7.6)$$

Для центрифугирования требуется создавать центробежное поле достаточно высокой напряженности, для чего необходим регулируемый режим высокочастотного вращения материалов в некоторой емкости (рис. 7.2). Вокруг оси 1 вращаются емкости 2. Суспензия вместе с ротором центрифуги совершает вращательное движение с угловой скоростью:

$$\omega=2\pi n, \text{ рад/с}, \quad (7.7)$$

где n – частота вращения, об/с.

При этом на частицу массой m действует центробежная сила:

$$F_c=m\omega^2r, \text{ Н}, \quad (7.8)$$

где r – расстояние от оси вращения до частицы.

Удельная (на 1м³) движущая сила процесса осаждения с учетом архимедовой силы запишется в виде:

$$f=(\rho_r-\rho)\omega^2r, \text{ Н/м}^3, \quad (7.9)$$

где ρ_r , и ρ – соответственно плотности твердых частиц и жидкости, кг/м³. Поскольку за счет высокой частоты вращения центробежное ускорение ω^2r намного больше ускорения силы тяжести g , то в поле центробежных сил наблюдается существенное возрастание скорости осаждения и суспензия разделяется на осветленную жидкость 3 и осадок 4.

Упражнение 1. Изучение процесса центрифугирования супензий

Порядок проведения работы

1. Ознакомиться с принципом работы центрифуги (рис. 7.2) и фотоколориметром и подготовить приборы к работе. Фотоколориметр необходимо

включить в сеть за 15 минут до начала измерений. Кюветное отделение держать открытым.

2. Подготовить супензию с различными концентрациями взвешенных частиц ($c=0; 25; 50; 75; 100 \text{ мг/л}$) и соответственно мутностями.

3. Установить в фотоколориметре необходимую длину волны.

4. В кюветное отделение установить кюветы с контрольным (чистая вода)

и исследуемым объектом.

5. Для контрольного объекта установить коэффициент пропускания T равный 100%, затем поворотом ручки кювету с контрольным объектом заменить кюветой с исследуемым объектом и снять показания.

6. Определить оптическую плотность D по формуле $D=2-\lg T$ (или по показанию прибора).

7 Опыт проводить с очередными растворами. Данные занести в табл. 7.1.

Таблица 7.1

Данные для калибровочного графика

№	1	2	3	4	5
$c, \text{ мг/л}$	0	250	500	750	1000
$T, \%$					
D					

8. Построить калибровочный график, т.е. график зависимости оптической плотности или коэффициента пропускания от концентрации взвешенных веществ: $D=f(c)$ или $T=f(c)$.

9. Измерить радиус r ротора центрифуги.

10. Поместить супензию с известной концентрацией c_0 взвешенных частиц (например, $c_0=1000 \text{ мг/л}$) в емкость центрифуги с целью центрифугирования, закрыть крышку.

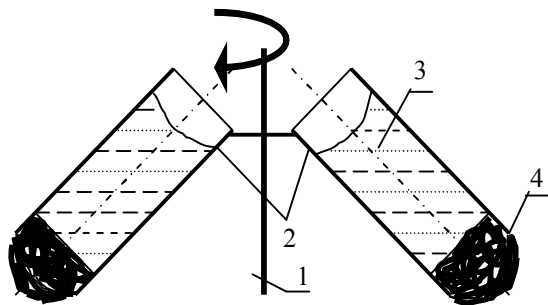


Рис.7.2. Схема лабораторной центрифуги: 1 – ось вращения ротора; 2 – емкость; 3 – осветленная жидкость; 4 – осадок

11. Установить (левой рукой) таймер (1-2 мин.) и установить (правой рукой) минимальную частоту вращения ротора. После остановки прибора извлечь осветленную воду из центрифуги и произвести измерения оптической плотности фотоколориметром (п. 3-6).

12. По калибровочному графику определить концентрацию взвешенных частиц в осветленной воде c_1 .

13. Повторить опыт 4-5 раз при различных частотах вращения ротора и в постоянном времени центрифугирования. Определить угловую скорость ротора ω по формуле (7.7). Данные занести в таблицу 7.2.

14. Определить фактор разделения центрифуги по формуле (7.2).

15. Определить эффективность разделения (осветления):

$$\eta = \frac{c_0 - c_1}{c_0} \times 100\%,$$

где c_0 – концентрация взвешенных частиц в исходной супензии (сточной воде); c_1 – концентрация взвешенных частиц в осветленной воде.

16. Построить график зависимости эффективности разделения от частоты вращения ротора $\eta=f(n)$.

Таблица 7.2

Результаты опытных и расчетных работ

№	$r, \text{ м}$	$c_0, \text{ мг/л}$	$n, \text{ об/мин}$	$\omega, \text{ рад/с}$	$c_1, \text{ мг/л}$	Fr	η
1							
2							
3							
4							
5							

Упражнение 2. Технологический и конструктивный расчет центрифуги

В теоретическом анализе процессов центрифugирования следует отметить наличие белых пятен, относящихся к проблемам гидродинамики жидкостей в поле центробежных сил. При практических расчетах и анализе процессов центрифugирования приходится пользоваться упрощениями, схематизацией и допущениями, а также результатами широкомасштабного эксперимента.

Методика расчета

1. Определяем рабочий объем ротора центрифуги:

$$V=Q \cdot \tau, \text{ м}^3, \quad (7.10)$$

где Q – расход сточной воды, $\text{м}^3/\text{с}$, τ – время центрифugирования, принимаем $\tau=120\text{с}$.

2. Так как, ротор обычно заполняют на половину или на $2/3$, поэтому полный объем ротора:

$$V=1,5 \cdot V_{\text{раб}}. \quad (7.11)$$

3. Если принять равным длину L и радиус R ротора, тогда можно пользоваться формулой:

$$L = R = \sqrt{\frac{V}{\pi}}, \text{ м.} \quad (7.12)$$

4. Определяем среднее расстояние от оси ротора до частиц:

$$r_{cp} = (R+r_0)/2, \text{ м,} \quad (7.13)$$

где r_0 – радиус свободной поверхности жидкости в роторе, $r_0=0,866R$.

5. Определяем угловую скорость вращения ротора:

$$\omega = \sqrt{\frac{Qg}{2\pi v_{oc} L r_{cp}}}, \text{ рад/с,} \quad (7.14)$$

где v_{oc} – скорость осаждения частиц в гравитационном поле, находят по формуле (6.3):

$$v_{oc} = \frac{(\rho_q - \rho_{ж})d_q^2 g}{18\mu}, \text{ м/с,}$$

где d_q – минимальный эквивалентный диаметр осаждаемых частиц, м; ρ_q – каяющаяся плотность частиц, кг/м³; $\rho_{ж}$ – плотность жидкости, примем 1020 кг/м³; g – ускорение свободного падения, равная 9,81 м/с²; μ – динамическая вязкость жидкости, принимаем 10⁻³ Па·с.

6. Скорость осаждения частиц в центробежном поле:

$$v_n = d^2 \cdot (\rho_q - \rho_{ж}) \cdot \omega^2 \cdot r_{cp} / (18 \cdot \mu). \quad (7.15)$$

7. Индекс производительности центрифуги:

$$\Sigma = 4 \cdot \pi \cdot R^2 \cdot L \cdot \omega^2 / g, \text{ м}^2. \quad (7.16)$$

8. Производительность по осадку:

$$Q_{oc} = c_0 Q / \rho_q, \text{ м}^3/\text{ч} \text{ или } Q_{oc} = c_0 Q, \text{ кг/ч,} \quad (7.17)$$

где c_0 – концентрация твердых частиц в сточной воде, кг/м³.

9. Площадь поверхности барабана:

$$S = S_1 + S_2 + S_3 = \pi R^2 + \pi(R^2 - r_0^2) + 2\pi RL = \pi(2R^2 - r_0^2 + 2RL), \text{ м}^2, \quad (7.18)$$

где S_1 и S_2 площади торцевых частей (сплошная сторона и сторона подвода воды и механизма съема осадка); S_3 – площадь боковой части.

10. Объем материала барабана:

$$V_m = S \cdot h, \text{ м}^3, \quad (7.19)$$

где h – толщина материала (например, 5 мм).

11. Масса барабана:

$$m_0 = V_m \cdot \rho_m, \text{ кг,} \quad (7.20)$$

где ρ_m – плотность материала барабана (обычно – сталь плотностью 7900 кг/м³).

12. Масса суспензии:

$$m_c = \rho_{ж} V_{раб.}, \text{ кг.} \quad (7.21)$$

13. Количество суспензии за единицу времени:

$$G = Q \rho_{ж}, \text{ кг/с.} \quad (7.22)$$

14. Затраты энергии на центрифугирование или мощность электродвигателя на рабочем ходу:

$$N_p = N_b + N_c + N_t = 0,005 R^4 L \rho \omega^3 + 0,5 G r_{cp}^2 \omega^2 + (m_0 + m_c) g k r_b \omega, \text{ Вт,} \quad (7.23)$$

где: N_t – мощность для преодоления силы трения вала в подшипниках; N_c – мощность для закручивания поступающей суспензии; N_b – мощность для взаимодействия вращающегося ротора с воздухом; $\rho = 1,29 \text{ кг/м}^3$ – плотность воздуха; k – коэффициент трения, принимаем $k=0,1$; радиус вала – $r_b=0,025-0,05 \text{ м}$.

15. Мощность для пуска:

$$N_n = 2,5 N_p, \text{ Вт.} \quad (7.24)$$

Задание. Выбрать и произвести технологический расчет горизонтальной центрифуги с ножевым съемом осадка (рис. 7.1а) согласно исходным данным (табл. 7.4). Начертить схему центрифуги с размерами.

Таблица 7.3

Исходные данные (варианты)				
№ вар.	$Q, \text{ м}^3/\text{ч}$	$c_0, \text{ мг/л}$	$d_q, \text{ мкм}$	$\rho_q, \text{ кг/м}^3$
1, 10	90	1000	9	2000
2, 11	80	950	8	1950
3, 12	70	900	8	1900
8, 13	60	850	7	1850
5, 14	50	800	7	1800
6, 15	40	750	6	1750
7, 16	30	700	6	1600
8, 17	20	650	5	1550
9, 18	10	600	5	1500

Контрольные вопросы.

- Что такое центрифугирование?
- Классификация и основные параметры центрифуг.
- Классификация и основные параметры гидроциклонов.
- Силы, действующие на частицы при центрифугировании.
- От чего зависят затраты энергии на центрифугирование?

Работа №8. Фильтрация сточных вод. Расчет зернистых фильтров.

Цель работы: Приобретение знаний и навыков по расчету зернистых фильтров.

Вводная часть

Фильтрованием называют гидромеханический процесс, разделения жидких неоднородных систем с помощью пористых перегородок, задерживающих твердую фазу и пропускающих жидкость. Скорость фильтрации прямо пропорциональна разности давлений (движущей силе) на входе и выходе аппарата и обратно пропорциональна сопротивлению фильтра. По способу организации фильтры делятся на периодические и непрерывные. При этом, процессы фильтрования могут протекать при постоянном разности давлений ΔP и скорости фильтрации v или при переменном ΔP и v . По механизму фильтрования различают процесс с закупориванием пор или с образованием осадка. По способу выгрузки осадка различают процессы с механизированной и ручной выгрузкой. Для повышения качества фильтрации и предотвращения попадания твердых частиц в поры применяют фильтровальные вспомогательные вещества – тонкозернистые и тонковолокнистые материалы [2, 7, 10].

Зернистые фильтры относятся к периодическим фильтрам. В качестве фильтрующих веществ используют различные зернистые элементы – кварцевый песок, гранитный щебень, дробленные антрацит и керамзит, шлак и др. Для окончательной очистки часто используют фильтрование с насыпным материалом, тогда как очистку на решетках, песколовки и отстаивание используют для предварительной очистки. Конструктивная схема фильтра с восходящим потоком воды представлена на рис. 8.1, высота слоев зависит от материала загрузки и размера зерен (табл. 8.1).

Подобные фильтры с насыпной загрузкой используются для окончательной очистки сточных вод. Исходная концентрация взвешенных частиц в сточных водах, поступающих в фильтры, должна быть: $c=10-40 \text{ мг/л}$, а получаемая после фильтрации $c \leq 3 \text{ мг/л}$.

Барабанный вакуум-фильтр относится к непрерывным фильтрам постоянного перепада давления. Барабанный вакуум-фильтр состоит из полого барабана с перфорированной боковой поверхностью, разделенный внутренними перегородками на отдельные ячейки. Ячейки покрыты снаружи сеткой, а затем фильтровальной тканью. Барабан приводится во вращение мотором с редуктором. Такие фильтры предназначены для разделения среднедисперсных и труднофильтруемых суспензий при очистке городских и промышленных сточных вод, в химической, целлюлозно-бумажной и других отраслей промышленности.

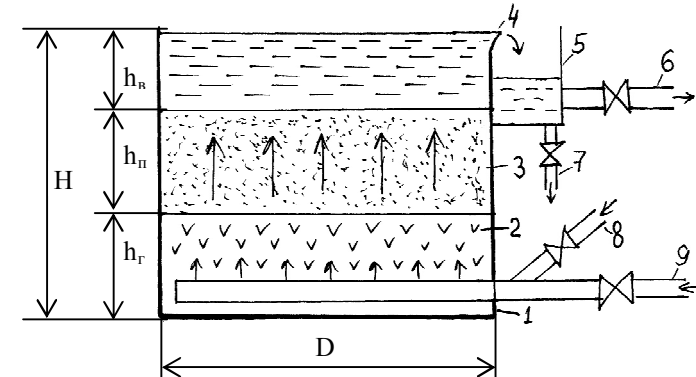


Рис. 8.1. Схема зернистого фильтра с восходящим потоком:
1 – корпус; 2 – гравий; 3 – песок; 4 – пескоулавливающий желоб; 5 – карман;
6 – отвод осветленной воды; 7 – сброс промывной воды; 8 – подача промывной воды; 9 – подача сточной воды

Ленточный вакуум-фильтр также относится к непрерывным фильтрам постоянного перепада давления, состоит из резинотканевой ленты, натянутой на два вращающихся барабана. Лента скользит по горизонтальному направляющему (столу) с прорезями, связывающими ленту с вакуум камерами. Под действием перепада давления жидкость проникает через фильтровальную ленту, осадок остается и снимается ножом или промывается. Поверхность фильтрации при ширине ленты 500-1580 мм составляет $1,8-30 \text{ м}^2$. Фильтры такого типа предназначены для фильтрации суспензий с неоднородной крупностью твердой фазы, в частности для обезвоживания осадков.

Для тонкой очистки труднофильтруемых суспензий также применяют листовые и дисковые фильтры, патронные фильтры, емкостные фильтры под давлением, рамные и камерные фильтр-пресссы и виброФильтры.

При выборе типа и размера фильтров важны такие показатели производства, как мощность, непрерывность или периодичность технологического процесса, стабильность суспензии и другие. Для снижения вязкости жидкой фазы суспензии и повышения скорости фильтрации применяются фильтрование при повышенных температурах и разбавители, обладающие пониженной вязкостью.

При расчете фильтров необходимо определить суммарную площадь фильтров F_{Σ} , м^2 , число фильтров N , площадь одного фильтра F , м^2 , расчетную скорость фильтрации v_p , $\text{м}/\text{ч}$, при следующих исходных данных: расход сточных вод Q_p , $\text{м}^3/\text{сут}$, продолжительность простоя одного фильтра при промывке t , ч, концентрация взвешенных частиц на входе в фильтр c , мг/л .

Методика расчета

1. Получить исходные данные: Q_p , с, N (табл. 8.1). Назначить число промывок фильтров в сутки n: n=1 при $c \leq 20$ мг/л и n=2 при $c > 20$ мг/л.

2. Рассчитать циркуляционный (промывочный) расход Q_u в зависимости от числа промывок фильтров в сутки.

$$Q_u = 0,025Q_p, \text{ при } n=1, \quad (8.1)$$

$$Q_u = 0,05Q_p, \text{ при } n=2. \quad (8.2)$$

3. Определить расчетную скорость фильтрования:

$$v_p = v_\phi(N \cdot m)/N, \text{ м/ч}, \quad (8.3)$$

где скорость фильтрования при форсированном режиме принимается $v_\phi = 12-14$ м/ч, m – число фильтров, находящихся в ремонте или на промывке, принимается m=2 при $N < 20$ и m=3 при $N \geq 20$.

4. Определить суммарную площадь фильтров:

$$F_\Sigma = (Q_p + Q_u)/(24v_p \cdot n v_p t), \text{ м}^2, \quad (8.4)$$

где продолжительность простоя одного фильтра при промывке принимается $t=0,5-0,6$ ч.

5. Определить площадь одного фильтра:

$$F = F_\Sigma/N, \text{ м}^2. \quad (8.5)$$

Из конструкционных соображений площадь одного фильтра должна быть не более 50 м^2 . Если $F > 50 \text{ м}^2$, тогда необходимо исходное число фильтров увеличить на 2 и повторить расчет по п. 3-5 до достижения условия $F \leq 50 \text{ м}^2$, учитывая, что m=3 при $N \geq 20$.

5. Определить диаметр одного фильтра:

$$D = \sqrt{4F/\pi}, \text{ м}. \quad (8.6)$$

$$6. \text{ Высота фильтра: } H = h_1 + h_2 + h_3, \text{ м}, \quad (8.7)$$

где h_1 , h_2 , h_3 – соответственно высота слоя гравия, песка и осветленной воды (табл. 8.2). Принимаем $h_3 = h_1$.

Таблица 8.2.

Исходные данные (варианты) для расчета.

№ вар. вар.	Q_p , [м ³ /сут]	с, мг/л	Размер зерен, мм		Высота слоя, h_1 , h_2 , м	
			гравия	песка	гравия	песка
1, 10	10000	10	20-40	2-5	0,2-0,25	0,5-0,7
2, 11	14000	12	10-20	1-2	0,2-0,3	1,3-1,5
3, 12	18000	15	5-10	1-2	0,3-0,4	1,3-1,5
4, 13	22000	18	20-40	2-5	0,2-0,25	0,5-0,7
5, 14	26000	22	10-20	1-2	0,2-0,3	1,3-1,5
6, 15	30000	26	5-10	1-2	0,3-0,4	1,3-1,5
7, 16	34000	30	20-40	2-5	0,2-0,25	0,5-0,7
8, 17	38000	35	10-20	1-2	0,2-0,3	1,3-1,5
9, 18	42000	40	5-10	1-2	0,3-0,4	1,3-1,5

7. Начертить схему (рис. 8.1) зернистого фильтра с полученными размерами.

Контрольные вопросы.

- Что такое фильтрация?
- Какие материалы используются для фильтрования воды?
- Объясните схему фильтра с восходящим потоком.
- Параметры фильтров и исходные параметры для расчета фильтров: физический смысл и единицы измерения.

Лабораторная работа №9. Процессы и аппараты физико-химической очистки воды. Коагуляционная очистка сточных вод от коллоидных частиц

Реактивы: р-р $\text{CuSO}_4 \cdot 5\text{H}_2\text{O}$ (15,6439 г на 250 мл); р-р $\text{K}_4\text{Fe}(\text{CN})_6 \cdot 3\text{H}_2\text{O}$ (11,4662 г на 250 мл); р-р $\text{Al}_2(\text{SO}_4)_3 \cdot 18\text{H}_2\text{O}$ (1,946 г на 1 л).

Оборудование: фильтры – красная лента; пипетки – 5, 10, 15, 20, 50 мл; колбы мерные – 50 мл (7 шт.), 1 л; колбы – 150 мл (5 шт.); стаканы – 150-200 мл (5 шт.); магнитная мешалка; фотоколориметр – КФК.

Вводная часть

Процессы и аппараты физико-химической очистки воды применяются для очистки сточных вод от коллоидных и растворенных веществ. К физико-химическим методам относятся коагуляция, флокуляция, флотация, адсорбция, ионный обмен, экстракция, дистилляция и выпаривание, кристаллизация, мембранные методы и электродиализ, дегазация.

Коагуляция заключается в слипании частиц дисперсной фазы, находящихся в сточной воде. Коагуляция – это слипание частиц коллоидной системы при их столкновениях в процессе теплового движения, перемешивания или направленного перемещения во внешнем силовом поле. В результате коагуляции образуются агрегаты – более крупные (вторичные) частицы, состоящие из скопления более мелких (первичных) частиц, которые далее удаляются из сточных вод механическими методами.

Коагуляция приводит к потере седиментационной устойчивости и расслоению фаз. При очистке сточных вод применяют гетерокоагуляцию. В воду добавляют минеральные коагулянты, например, соли алюминия или железа, которые снижают агрегативную устойчивость системы, реализуется процесс седиментации, и частицы загрязняющих веществ выпадают в осадок. В водном растворе происходит гидролиз электролита; например, в зависимости от значения pH воды и ее ионного состава для $\text{Al}_2(\text{SO}_4)_3$ возможно образование: соединений катионного типа, например $\text{Al}_2(\text{OH})^{4+}$; анионного типа – Al(OH)_4^- ; амфотерного типа – $\text{Al}(\text{OH})_3$. Содержание ионных форм алюминия в растворе зависит от концентрации в нем водородных ионов.

Флокуляция заключается в образовании агрегатов (хлопьев) из гетерогенных частиц в результате собирающего действия высокомолекулярных веществ, называемых флокулянтами. Механизм действия флокулянтов заключается в их адсорбции на нескольких частицах с образованием полимерных мостиков, связывающих частицы между собой. Флокулянты ускоряют процессы образования хлопьев и их осаждения, повышают плотность агрегатов и осадков.

На скорость коагуляции, флокуляции и седиментации существенное влияние оказывают наличие примесей и концентрация частиц, температура, перемешивание, концентрация водородных ионов, последовательность введения коагулянтов и флокулянтов.

Порядок выполнения работы [11]

1. Получить гидрозол ферроцианида меди с концентрацией 100 мг/л. Для приготовления 1л гидрозоля в мерную колбу наливают дистиллированную воду, приливают из пипетки в первую очередь 2,8 мл раствора $K_4(Fe(CN)_6$ указанной концентрации (с 0,5% избытком), а затем, при постоянном перемешивании, по каплям добавляют 1,73 мл раствора $CuSO_4$ и доводят объем до метки дистиллированной водой. Размер частиц полученного гидрозоля ферроцианида меди составляет 0,01-0,05 мк.

2. Построить калибровочный график. Для этого отбирают в мерные колбы на 50 мл 5, 10, 15, 20, 25, 40, 50 мл гидрозоля, разбавляют его дистиллированной водой до 50 мл и определяют оптическую плотность относительно дистиллированной воды ($\lambda=490$ нм, кювета – 30 мм). График строят в координатах: оптическая плотность – концентрация гидрозоля, мг/л.

3. Изучить влияния концентрации коагулянта $Al_2(SO_4)_3$ на эффективность процесса коагуляции.

3.1. В пять стаканчиков емкостью 150-200 мл помещают по 50 мл гидрозоля с концентрацией дисперсной фазы 100 мг/л.

3.2. В гидрозоль вводят коагулянт, концентрация которого в исследуемом гидрозоле должна составить 10, 25, 50, 100, 200 мг/л. Концентрация коагулянта в исходном растворе 1 г/л.

3.3. Содержимое стаканов перемешивают 3 мин. на магнитной мешалке, переносят на фильтр (красная лента) и фильтруют в чистые колбы емкостью 100 мл.

3.4. Остаточное содержание дисперсной фазы гидрозоля после фильтрации ($C_{ост}$, мг/л) определяют колориметрическим методом, используя калибровочный график по формуле:

$$C_{ост} = a \times 1000 / (V + V_k)$$

где a – содержание гидрозоля в объеме V , мг; $V=50$ мл - объем, до которого разбавляли пробу; V_k – объем добавленного раствора коагулянта, мл.

3.5. Определяют степень коагуляции:

$$\eta = (C_{исх} - C_{ост}) / C_{исх}, \%$$

где $C_{исх}$ – концентрация гидрозоля, мг/л.

3.6. Результаты заносят в табл. 9.1, а также представляют графически как зависимость степени коагуляции от расхода коагулянта.

Таблица 9.1

Определение оптимальной концентрации коагулянта						
№ опыта	Исходная конц-я гидро-золя, мг/л	Конц-я коагу-лянта, мг/л	Объем р-ра ко-агулян-та, мл	Оптиче-ская плот-ность, %	Остаточ-ная конц-я гидро-золя, мг/л	Степень коагу-ляции, %
1		10				
2		25				
3		50				
4		100				
5		200				

4. Изучить влияния pH на коагуляцию гидрозоля.

4.1. В пять стаканчиков емкостью 150-200 мл помещают по 50 мл гидрозоля. Доводят значение pH гидрозоля соответственно до 3, 5, 6, 8, 10, используя 0,1н растворы NaOH и HCl.

4.2. Добавляют в гидрозоль оптимальное количество коагулянта (по результатам предидущего опыта), перемешивают 3 мин., фильтруют, фильтрат анализируют на содержание дисперсной фазы.

4.3. Результаты заносят в табл. 9.2, строят графическую зависимость степени коагуляции от pH раствора.

5. Выводы.

Таблица 9.2

Влияние pH на процесс коагуляции					
Кол-во коагулянта оптимальной конц-ии, мл	Исходная конц-я гидро-золя, мг/л	Конц-я щелочи, мг/л	pH	Остаточная конц-я гидро-золя, мг/л	Степень коагуляции, %
			3		
			5		
			6		
			8		
			10		

Контрольные вопросы

- Отличие суспензий, коллоидных систем и растворов.
- Что такое коагуляция и флокуляция?
- Какие аппараты применяются для процесса коагуляции?
- Порядок работы на pH-метре и КФК.

Работа №10. Флотационная очистка сточных вод

Реактивы: ПАВ (водный раствор алкилтриметиламмония хлорида – радикал предельного углеводорода с длиной цепи от 6-10 до 16-18, 0,1 г/л); поливинилацетатная эмульсия, 0,1г/л; 0,1н раствор NaOH.

Оборудование: пипетка – 10 мл; стакан – 150 мл (5 шт.); мерный цилиндр – 100 мл; магнитная мешалка; фотоэлектроколориметр КФК.

Вводная часть

Выделение эмульгированных органических веществ (масел, жиров, нефтепродуктов и др.) из сточных вод представляет собой часто встречающуюся и сложную задачу. Эмульсиями называются дисперсные системы, состоящие из двух или более жидкых взаимонерастворимых фаз, т.е. отличающихся своей полярностью. Если одна из жидкостей вода, то другая – неполярная или малополярная жидкость, называемая в общем случае – «масло».

Устойчивость эмульсий обусловливается величиной частиц, температурой, наличием эмульгатора. Большинство эмульсий являются микрогетерогенными (10^{-5} – 10^{-3} см) и термодинамически неустойчивыми системами. При длительном хранении в них происходит слипание, а затем и слияние капель (коалесценция).

Методы механической очистки сточных вод от эмульсий позволяют выделить частицы крупнее 10-50 мкм. Эти методы малоэффективны (отстаивание) и малоэкономичны (центрифugирование). Значительно больший эффект дают физико-химические методы, например, флотация.

Суть флотационного метода состоит в том, что в растворе при диспергировании пузырьков воздуха образуется развитая граница раздела фаз жидкость-газ, масляные частицы закрепляются на пузырьках и выносятся на поверхность раствора. На эффект флотации значительное влияние оказывает размер и количество пузырьков воздуха, распределенных в воде. Эффективная флотация требует тонкого диспергирования воздуха (получения наименьших размеров пузырьков воздуха).

Для улучшения показателей флотации часто используют ПАВ, называемые флотореагентами, – это реагенты-собиратели, реагенты-вспениватели и др.

Реагенты-собиратели, избирательно адсорбируясь на поверхности частиц, покрывают их гидрофобной пленкой, понижают смачиваемость, после чего эти частицы прилипают к пузырькам воздуха и выносятся ими наверх. В качестве собирателей применяют анионоактивные и катионоактивные ПАВ.

Порядок выполнения работы [11]

1. Построить калибровочный график. График строят в координатах оптическая плотность – концентрация масла. Концентрацию масла (0,1; 0,075; 0,05; 0,025; 0,01г/л) меняют путем соответствующего разбавления исходной

эмulsionии с содержанием ПАВ 0,1 г/л. Оптическую плотность определяют на фотоэлектроколориметре: кювета – 50 мм, $\lambda=364$ нм.

2. Изучить влияния концентрации ПАВ на степень разрушения эмульсии.

2.1. В пять стаканов наливают по 100 мл исследуемой эмульсии и добавляют необходимое количество раствора ПАВ ($c=0,1$ г/л) – 2, 4, 6, 8, 10 мл.

2.2. Содержимое каждого стакана перемешивают на магнитной мешалке (1 мин.), проводят флотационную обработку эмульсии на лабораторной установке в течение 3 мин., отбирают пробу в кювету (не прекращая флотацию) и определяют остаточное содержание масла с помощью калибровочного графика.

2.3. Вычисляют степень извлечения масла:

$$\eta = [(C_{\text{исх}} - C_{\text{ост}})/C_{\text{исх}}] \times 100 \%$$

2.4. Проводят построение графической зависимости степени извлечения масла от концентрации ПАВ.

3. Изучить влияния pH.

3.1. В пять стаканов наливают по 100 мл эмульсии, добавляют оптимальное количество ПАВ (установленное по результатам первого опыта) и создают pH соответственно: 2, 3, 5, 7, 9.

3.2. После флотационной обработки определяют остаточное содержание масла и степень извлечения масла от pH среды.

3.3. Проводят построение графической зависимости степени извлечения масла от pH среды.

4. Выводы.

Упражнение 2. Расчет флотатора-отстойника. Методика расчета

1. При проектировании флотаторов-отстойников (рис. 10.1) следует принимать [10]:

- общее время пребывания воды во флотаторе-отстойнике – $\tau_{\text{общ}} = 20$ мин;

- время пребывания воды во флотационной камере — $\tau_k = 5-7$ мин;

- общая высота флотатора-отстойника $H=3$ м;

- высота флотационной камеры $H_k=1,5$ м;

2. Диаметр флотационной камеры определяют по формуле:

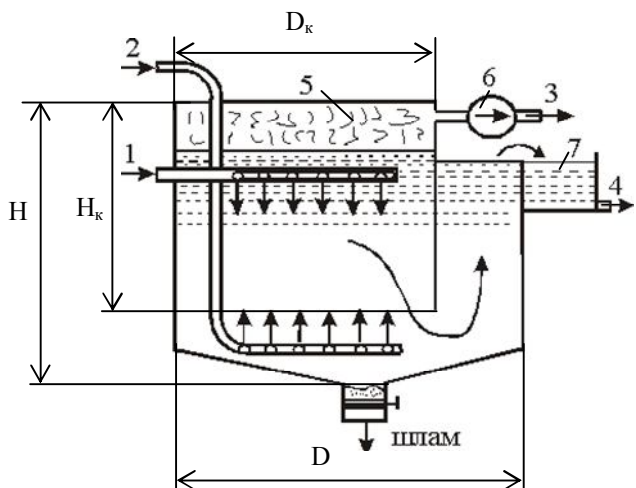


Рис. 10.1. Флотатор-отстойник: 1 – исходная вода; 2 – вода, насыщенная воздухом; 3 – отвод флотошлама; 4 – отвод очищенной воды; 5 – пена; 6 – насос; 7 – карман

движения воды в отстойной зоне, равная 4,7 м/ч;

$$D_k = \sqrt{\frac{4Q}{\pi v_k}}, \quad (10.1)$$

где Q – расход сточных вод, поступающих на один флотатор - отстойник, $\text{м}^3/\text{ч}$; v_k – скорость движения воды во флотационной камере, равная 10,8 м/ч.

3. Диаметр флотатора - отстойника определяют по формуле:

$$D = \sqrt{\frac{4Q}{\pi v_o}} + D_k, \quad \text{м}, \quad (10.2)$$

где v_o – скорость

Таблица 10.6

Исходные данные (варианты)

№ вар.	1, 10	2, 11	3, 12	4, 13	5, 14	6, 15	7, 16	8, 17	9, 18
$Q, \text{м}^3/\text{ч}$	100	200	300	400	500	600	700	800	900

Контрольные вопросы

- Что такое флотация?
- Суть и механизм флотационного разрушения эмульсий, функции ПАВ.
- Зависимость процесса флотации от различных факторов.

Работа №11. Адсорбционная очистка сточных вод от растворимых органических веществ. Расчет адсорбера.

Цель работы: Изучение процесса адсорбции и приобретение навыков расчета адсорбционных устройств.

Реактивы: C_6H_5OH , растворы (1 мг фенола в 1 мл раствора); 8 %-ный водный раствор $K_3[Fe(CN)_6]$ (гексацианоферрат (III) калия); буферный раствор с $pH=10,0$; 2 %-ный раствор 4-аминоантипирина; набор активных углей.

Оборудование: колбы мерные – 100 мл (5 шт.); конические колбы – 100 мл (5 шт.); пипетки – 1 мл, 2 мл (2 шт.); вибрационная мешалка; фотоэлектроколориметр КФК.

Вводная часть

Сорбция – это процесс поглощения вещества из раствора (жидкого или газообразного) на поверхностях твердого (адсорбция) или в объеме жидкого (абсорбция) сорбента.

Адсорбция применяется для глубокой очистки сточных вод от растворенных органических веществ после биохимической очистки, либо самостоятельно, если концентрация загрязняющих веществ невелика и загрязняющие вещества являются очень токсичными.

Строгому контролю подлежат сточные воды, содержащие фенолы (расторимые органические вещества). ПДК фенола в воде водных объектов хозяйственно-питьевого назначения составляет 0,001 мг/л. Это связано с токсичностью и высокой восстановительной способностью фенолов. Существенным источником фенольных загрязнений являются производство фенолформальдегидных пластмасс и коксохимическое производство.

Методы очистки сточных вод от фенолов можно разделить на две группы: деструктивные и регенеративные. Деструктивными методами достигается окисление или разрушение фенолов (озонирование, хлорирование, сжигание). Регенеративными методами фенолы извлекают из сточных вод для вторичного использования (экстракция, сорбция, ионный обмен). Методы второй группы применять, когда концентрация фенола превышает 1 г/л. Адсорбционный метод рекомендуется для очистки небольших по объему стоков с содержанием фенолов от 1,5-2,0 г/л.

Наиболее эффективными сорбентами являются активные угли различных марок. Растворенные органические вещества имеют размер частиц менее 10 А. Они заполняют объем микропор сорбента, полная удельная вместимость (W_{Σ} , $\text{cm}^3/\text{г}$) которых соответствует поглащающей способности сорбента, поэтому объем микропор W_{01} является одной из важнейших характеристик и приводится в спецификациях соответствующих марок активных углей (таблица 11.1).

Известную сорбционную активность проявляют и супермикропоры; в характеристике активных углей приводится и их объем W_{02} . Макропоры и переходные поры служат главным образом путями подвода сорбата к микропорам. Другой важной характеристикой активных углей является структурно-энергетическая константа В, град⁻². Она может также приводиться для микропор и супермикропор (B_{01} и B_{02}). Характеристиками активных углей являются также их насыпной удельный вес, г/см³; механическая прочность, %; диаметр зерен, мм.

Таблица 11.1

Свойства активных углей

Марка АУ	W_{Σ} , см ³ /г	W_{01} , см ³ /г	W_{02} , см ³ /г	$B_{01} \cdot 10^6$, град ⁻²	$B_{02} \cdot 10^6$, град ⁻²
АГ-3	0,891	0,3	-	0,7-0,8	-
БАУ	1,5	0,22	-	0,55	-
АР-3	0,7	0,19	0,18	0,74	3,42
КАД йод-ный	1	0,23	0,13	0,7	3,1
КАД молотый	-	0,12	-	1,08	-
СКТ	0,98	0,5	-	0,83	-

Сорбцию можно проводить в статических и динамических условиях. Сорбция в статических условиях осуществляется путем интенсивного перемешивания обрабатываемой воды с сорбентом в течение определенного времени и последующего отделения сорбента от воды в результате отстаивания, фильтрования. При однократном введении сорбента в количестве m г на 1 л обрабатываемой воды исходным расчетным уравнением является уравнение баланса вещества

$$ma + QC_1 = QC_0, \quad (11.1)$$

где a – удельная сорбция; Q – количество обрабатываемых сточных вод; C_1 – концентрация вещества, устанавливающаяся в воде после перемешивания воды и сорбента в течение времени τ ; C_0 – концентрация вещества в исходной воде.

Соотношение между a и C_1 можно выразить

$$a = (Q(C_0 - C_1))/m. \quad (11.2)$$

Фактическое время перемешивания может быть принято значительно меньше $\tau_{\text{равн}}$, при котором достигается близкое к равновесному состоянию. В этом случае соотношение между C_1 и a будет выражено зависимостью

$$a = kC_1. \quad (11.3)$$

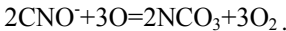
Изотермы адсорбции представляют собой зависимость величины сорбции (a) целевого компонента от его концентрации (C_1) в очищаемой среде в усло-

виях равновесия. Наряду с изотермами адсорбции практический интерес представляют кинетические кривые адсорбции. Они выражают зависимость величины сорбции (a) вещества каким-либо сорбентом или остаточной концентрации вещества ($C_0 - C_1$) в очищаемой воде от времени τ .

На участках нанесения гальванических покрытий образуется сточная вода, загрязненная кислотами, тяжелыми металлами и их солями и другими веществами, в том числе цианидами. Цианиды являются ядовитым веществом и сточную воду необходимо очистить перед сбросом. Наиболее эффективным способом является озонирование и адсорбция. При подаче озона в сточную воду цианид-ионы окисляются:



По мере окисления цианид-ионов в сточной воде появляются цианит-ионы CNO^- . Около 30% цианит-ионов окисляются по схеме:



Остальные цианит-ионы гидролизуются в сточной воде с образованием NH_3 и окислением до NO_3^- . Для подачи озоновоздушной смеси в адсорбер и ее равномерного распределения используют шамотно-силикатные пористые элементы в виде патронов с замкнутым дном (наружный диаметр 50 мм, внутренний – 30 мм, длина 230 мм, средний размер пор 0,1 мм).

Упражнение 1. Изучение процесса адсорбции

Порядок выполнения работы [11]

1. Приготовить рабочий раствор. Для приготовления рабочего раствора разбавляют 10 мл основного раствора C_6H_5OH до 1 л свежепрокипяченой и охлажденной дистиллированной водой (1 мл рабочего раствора содержит 1 мкг фенола). Рабочий раствор нужно приготовить не ранее, чем за два часа до начала анализа.

2. Приготовить 8 %-ный водный раствор $K_3[Fe(CN)_6]$ (гексацианоферрат (III) калия). Растворяют 8 г $K_3[Fe(CN)_6]$ (ч.д.а.) в дистиллированной воде и разбавляют до 100 мл. Раствор пригоден в течение недели.

3. Приготовить буферный раствор с $pH=10,0$. Для приготовления растворяют 12,5 г хлорида аммония в 100 мл 25 %-ного раствора аммиака.

4. Приготовить 2 %-ный раствор 4-аминоантимирина. Пригоден в течение недели.

5. Построить калибровочный график для определения фенола в растворе колориметрическим методом с применением 4-аминоантимирина.

5.1. В мерные колбы на 100 мл помещают 10, 20, 30, 40, и 50 мл рабочего раствора, добавляют до половины колбы дистиллированную воду, 1 мл буферного раствора, 2 мл раствора 4-аминоантимирина и 2 мл раствора гексацианоферрата калия (III). После каждого добавленного реагента раствор перемешивают. Добавляют дистиллированную воду до 100 мл.

5.2. Готовят раствор холостого опыта (в него добавляют все указанные реагенты, кроме фенола).

5.3. Через 15 мин замеряют оптическую плотность каждого раствора по отношению к раствору холостого опыта при $\lambda=540$ нм, кювета – 1 см. Результаты заносят в табл. 11.2.

5.4. По полученным данным строят калибровочный график в координатах: оптическая плотность (D, %) – концентрация фенола (C, мг/л).

Таблица 11.2

Определение оптической плотности растворов сточных вод

№ пп	Объем рабочего раствора, мл	Содержание фенола в 100 мл раствора, мг	Конц-я фено- ла C, мг/л	Оптическая плотность, D, %
1	10	0,1	1	
2	20	0,2	2	
3	30	0,3	3	
4	40	0,4	4	
5	50	0,5	5	

6. Определяют содержания фенола в исследуемой воде.

6.1. Отбирают аликовотную часть сточной воды для двух параллельных проб, содержащую 0,1-0,5 мг фенола (не менее 10 и не более 90 мл), в мерные колбы на 100 мл и обрабатывают так же, как при построении калибровочного графика. Если величина оптической плотности не укладывается в калибровочный график, сточную воду следует разбавить в необходимое количество раз или построить новый калибровочный график с рабочим раствором.

6.2. Массовую концентрацию фенола (C_0 , мг/л) рассчитывают по формуле: $C_0 = (100C_{\text{тр}})/V$, где 100 – объем мерной колбы, мл; V – объем воды, взятой на анализ (аликовота), мл; D - оптическая плотность, $C_{\text{тр}}$ – концентрация фенола в сточной воде (по калибровочному графику), мг/л.

7. Провести сорбцию фенола из фенольной воды активными углями в статических условиях.

7.1. В пять конических колб на 200 мл помещают по 100 мл исследуемой фенольной воды и активного угля (марку указывает преподаватель) и в течение времени $\tau = 3, 5, 10, 20, 30$ мин перемешивают с помощью вибрационной мешалки, затем отфильтровывают в конические колбы на 100 мл.

7.2. В каждом фильтрате определяют остаточную концентрацию фенола (C_s), для этого берут аликовоту объемом 50 мл и подготавливают пробу для анализа, как при построении калибровочного графика. Результаты заносят в табл. 11.3.

Таблица 11.3

Определение сорбции фенола активными углями

№ опыта	τ , мин	V аликовоты	Оптическая плотность, D, %	C_1 , мг/л	C_0-C_1 , мг/л
1	3	10			
2	5	10			
3	10	10			
4	20	20			
5	30	20			

8. Построить график зависимости степени очистки от остаточной концентрации фенола и сделать выводы.

Упражнение 2. Очистка сточных вод от цианидов. Расчет адсорбера

Методика расчета [12].

1. Определяют объем адсорбера:

$$V = \frac{Q \cdot \tau \cdot k}{y \cdot n}, \text{ м}^3 \quad (11.1)$$

где Q – расход сточной воды, $\text{м}^3/\text{ч}$; τ - время цикла очистки (заполнения, обезвреживания, опорожнения); k – коэффициент запаса (1,15-1,2); y – коэффициент заполнения адсорбера (0,6-0,8); n – количество адсорберов (обычно 2).

Выбирают фактический объем V_h адсорбера по ряду номинальных внутренних объемов сосудов и аппаратов (ближайшее значение к расчетному) по табл. 1.

Таблица 11.4

Ряд номинальных внутренних объемов сосудов и аппаратов V_h , м^3

0,010	0,100	0,32	1,00	3,2	10	32	100	320
0,016	0,125	0,40	1,25	4,0	-	40	125	400
0,025	0,160	0,50	1,60	5,0	16	50	160	500
0,040	0,200	0,63	2,00	6,3	20	63	200	-
0,063	0,250	0,80	2,50	8,0	25	80	250	-

2. Определяют высоту адсорбера:

$$H = \frac{4 \cdot V_h}{\pi \cdot D^2}, \text{ м}, \quad (11.2)$$

где D – диаметр адсорбера, выбирается из конструкционных соображений (отношение высоты к диаметру $x=H/D=1,2-1,5$; $D=(4V/x\pi)^{1/3}$).

3. Определяют расход озона, необходимого для окисления:

$$Q_0=C_0Q, \text{ кг/с}, \quad (11.3)$$

где Q – расход сточной воды, $\text{м}^3/\text{с}$; C_0 – необходимая концентрация озона в адсорбере, $\text{кг}/\text{м}^3$:

$$C_0 = \Delta C_{\text{CN}} \cdot M_O / M_{\text{CN}}, \text{ кг}/\text{м}^3, \quad (11.4)$$

где M_O и M_{CN} молекулярные массы озона и цианида; ΔC_{CN} – разность концентраций цианидов в сточной и очищенной воде. Обычно:

$$\Delta C_{\text{CN}} = C_{\text{CN}} \cdot \text{ПДК}_{\text{CN}}. \quad (11.5)$$

4. Определяют количество аэрируемых элементов:

$$n_s = Q_{\text{OB}} / Q_s, \quad (11.6)$$

где Q_{OB} – максимальный расход озоновоздушной смеси:

$$Q_{\text{OB}} = \frac{Q_0 (273 + t) \cdot P_0}{(273 + t_0) \cdot P_a}, \text{ м}^3/\text{с}, \quad (11.7)$$

где t – температура воздуха на выходе теплообменника; P_a - давление на входе в адсорбёр; t_0 , P_0 - при нормальных условиях: $t_0=0^\circ$, $P_0=0,1\text{ МПа}$; Q_s – допустимый расход воздуха через аэрируемый элемент:

$$Q_s = K \cdot \Delta P \cdot h \cdot f, \text{ м}^3/\text{с}, \quad (11.8)$$

где K – коэффициент воздухопроницаемости элемента, $\text{м}^3/\text{м}^2$; ΔP – перепад давления на элементе, МПа ; h – толщина элемента, м ; f – площадь фильтрации одного элемента, м^2 .

5. Определяют эффективность очистки:

$$\eta = \frac{C_{\text{CN}} - \text{ПДК}_{\text{CN}}}{C_{\text{CN}}}. \quad (11.9)$$

Таблица 11.5

Исходные данные (варианты).

№ вар.	Q , $\text{м}^3/\text{ч}$	C_{CN} , $\text{кг}/\text{м}^3$	k	τ , ч	n	P_a , МПа	Q_s , $\text{м}^3/\text{с}$
1, 10	6	0,02	1,15	0,60	1	0,15	0,0020
2, 11	8	0,03	1,16	0,65	1	0,16	0,0025
3, 12	10	0,04	1,17	0,70	2	0,17	0,0030
4, 13	12	0,05	1,18	0,75	2	0,18	0,0035
5, 14	14	0,06	1,19	0,80	2	0,19	0,0040
6, 15	16	0,07	1,20	0,85	2	0,18	0,0045
7, 16	18	0,08	1,15	0,90	2	0,17	0,0050
8, 17	20	0,09	1,16	0,95	2	0,16	0,0055
9, 18	22	0,01	1,17	1,00	2	0,15	0,0020

Контрольные вопросы.

- Сущность методов абсорбции, адсорбции, хемосорбции и десорбции.
- Параметры абсорбёров и адсорбёров.
- Сорбенты и требования к сорбентам.

Работа №12. Экстракционный процесс очистки сточных вод. Расчет вертикального экстрактора.

Цель работы: Приобретение навыков расчета процессов и аппаратов для экстракционной очистки сточных вод.

Вводная часть.

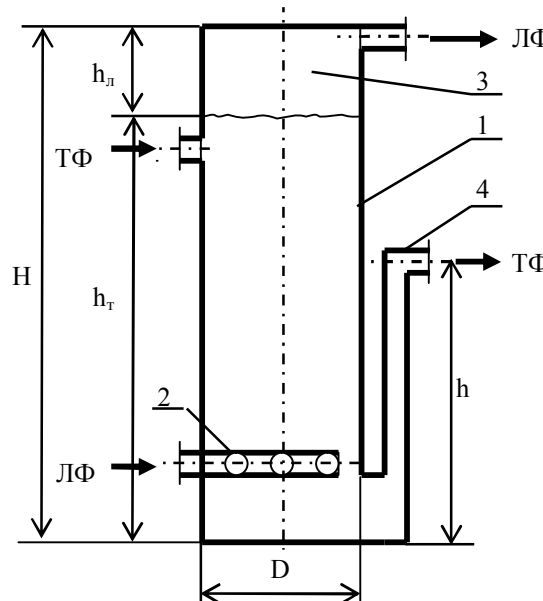


Рис. 12.1. Схема вертикального экстрактора:
1 – колонна; 2 – диспергатор; 3 – верхняя отстойная зона; 4 – флорентийский сосуд; ТФ – тяжелая фаза; ЛФ – легкая фаза.

гических операций:

- контактирования очищаемой жидкости с экстрагентом;
- переноса компонента из одной фазы в другую;
- разделения фаз;
- регенерации экстрагента.

Экстракторы бывают горизонтальные и вертикальные, непрерывные и периодические, одноступенчатые и многоступенчатые, перекрестноточные и противоточные, с подводом механической энергии (для контакта фаз) и без подвода механической энергии и т.д.

Простейшим типом экстрактора является распылительная вертикальная колонна с непрерывным контактом фаз (рис. 12.1). В полую вертикальную цилиндрическую колонну сверху заполняется сточная вода, снизу с помощью диспергатора распыляется (в виде капель) экстрагент, плотность которого

меньше плотности воды. Противоточное движение фаз обеспечивается силой тяжести, т.е. различием плотности фаз (движущая сила). Образовавшиеся капли проходят рабочую зону, извлекают загрязняющее вещество и собираются в верхнем отстойнике.

Вывод легкой фазы из верхней отстойной зоны не вызывает затруднений, избыток жидкости сливается через патрубок. Вывод тяжелой фазы требует специальной регулировки, в противном случае с нижней части выльется вся жидкость. Наиболее простым устройством является флорентийский сосуд, принцип работы, которого основан на уравновешивании столбов жидкостей (сообщающие сосуды), выводимых потоками легкой и тяжелой фаз.

Требования к экстрагенту:

- минимальная взаимная растворимость с рафинадом;
- высокая избирательность;
- высокий коэффициент распределения и большая емкость;
- достаточно отличие плотности по сравнению с рафинадом;
- доступность, дешевизна, легкость регенерации;
- не токсичность, взрывобезопасность, минимальные коррозионные действия.

Экстракция является эффективным при высоком содержании в производственных сточных водах растворенных органических веществ, представляющих техническую ценность. Наиболее широко применяется для очистки сточных вод предприятий по термической обработке твердых топлив (углей, сланцев, торфа), содержащих значительное количество фенолов [10, 11].

Методика расчета

$$1. \text{ Фактор экстракции: } \psi = \frac{C_{\text{вх}}}{C_{\text{вых}}} - 1, \quad (12.1)$$

где $C_{\text{вх}}$ и $C_{\text{вых}}$ – входная и требуемая выходная (ПДК) концентрация загрязняющего вещества в сточной воде.

2. Объемный расход экстрагента:

$$Q_{\mathcal{E}} = \frac{\psi}{m} Q_{\text{св}}, \text{ м}^3/\text{ч}, \quad (12.2)$$

где $Q_{\text{св}}$ – расход сточной воды, $\text{м}^3/\text{ч}$; m - коэффициент распределения.

3. Концентрация извлеченного вещества в экстракте (при исходном чистотом экстрагенте):

$$C_{\mathcal{E}} = \frac{m \cdot C_{\text{вх}}}{1 + \psi}, \text{ мг/л.} \quad (12.3)$$

4. Требуемая степень экстракции:

$$\eta = \frac{\psi}{1 + \psi} = \frac{m \cdot Q_{\mathcal{E}}}{Q_{\text{св}} + m \cdot Q_{\mathcal{E}}}. \quad (12.4)$$

5. Поперечное сечение аппарата:

$$S = \frac{Q_{\text{св}} + Q_{\mathcal{E}}}{w}, \text{ м}^2, \quad (12.5)$$

где $Q_{\text{св}}$, $Q_{\mathcal{E}}$ – расход сточной воды и экстрагента, $\text{м}^3/\text{с}$; w – скорость потока, $\text{м}/\text{с}$. В расчетах $w=0,02 \text{ м}/\text{с}$.

6. Диаметр колонны:

$$D = \sqrt{4S/\pi}, \text{ м} \quad . \quad (12.6)$$

$$7. \text{ Высота колонны: } H=(5÷7)D, \text{ м.} \quad (12.7)$$

8. Высота вывода ТФ (из уравнения сообщающих сосудов):

$$h = \frac{\rho_{\text{Л}}}{\rho_{\text{T}}} h_{\text{Л}} + h_{\text{T}}, \text{ м,} \quad (12.8)$$

где $\rho_{\text{Л}}$ и ρ_{T} – плотности ЛФ и ТФ (воды), $\rho_{\text{T}}=1000 \text{ кг}/\text{м}^3$; $h_{\text{Л}}$ и h_{T} – высоты ЛФ и ТФ (рис. 12.1). Принимая, что $H=h_{\text{Л}}+h_{\text{T}}$, можно задать $h_{\text{Л}}$ или h_{T} (например, $h_{\text{Л}}=H/7$) и рассчитать высоту вывода ТФ.

Таблица 12.1

Исходные данные (варианты).

№ вар.	Загрязняющее вещество	Экстрагент	$\rho_{\text{Л}}, \text{ кг}/\text{м}^3$	m	$Q_{\text{св}}, \text{ м}^3/\text{ч}$	$C_{\text{вх}}, \text{ мг}/\text{м}^3$	$C_{\text{вых}}, \text{ мг}/\text{м}^3$
1, 10	Анилин	Толуол	867	19	70	2,2	0,1
2, 11	Бензойная кислота	Толуол	867	12	60	12	0,5
3, 12	Муравьиный альдегид	Амиловый спирт	814	3	50	15	0,6
4, 13	Пикриновая кислота	Бензол	879	5	90	13	0,5
5, 14	Пиридин	Толуол	867	9	100	5	0,2
6, 15	Салициловая кислота	Ацетон	790	126	110	10	0,4
7, 16	Толуидин	Бензол	879	60	80	14	0,5
8, 17	Фенол	Толуол	867	9	130	2	0,1
9, 18	Хлоруксусная кислота	Амиловый спирт	814	3,6	120	9	0,3

Контрольные вопросы

1. Что такое экстракция?
2. Технологические процессы жидкостной экстракции.
3. Классификация экстракторов.
4. Требования к экстрагентам.

Работа №13. Электрохимическая очистка сточных вод. Расчет электроагрегатора

Цель работы: Приобретение навыков расчета электроагрегатора для очистки сточных вод.

Вводная часть

Электрохимическими методами очистки воды являются электролиз, электродиализ, электроагрегация, электрофлотация. Особенность этих методов является отказ от дефицитных реагентов, компактность установок, непрерывность и автоматизация процесса. Электрохимическую очистку воды проводят в электролизерах, которые отличаются геометрической конфигурацией, конструктивными особенностями, в том числе наличием или отсутствием проницаемой для ионов перегородки [10, 12].

Электролиз – это химические реакции, протекающие в электролите при прохождении через него электрического тока. Электродиализ – метод разделения ионизированных соединений под действием электродвижущей силы, создаваемой по обе стороны мембранны. Электроагрегация – процесс ускорения слипания коллоидных частиц под действием электрического поля. Электрофлотация – технология выделения из сточных вод тонкосусpendingированных и коллоидных веществ с помощью пузырьков водорода и кислорода, образуемых на поверхности электродов.

Электроагрегация основана на растворении электродов из алюминия, железа или их сплавов в электролите (сточная вода) под действием электрического тока, с последующим образованием гидрооксидов металлов, отличающихся высокой коагуляционной способностью. На поверхности гидрооксидов адсорбируются ионы и молекулы загрязнителя, и происходит коагуляция (слипание) частиц с последующим осаждением. Электроагрегацию применяют для удаления из сточных вод тонкодисперсных примесей, например масел и нефтепродуктов, органических взвесей и т.д. Рекомендуется применять этот метод для очистки сточных вод, имеющих нейтральную или слабощелочную реакцию среды ($\text{pH}=5-9$). Поскольку для осуществления электроагрегации требуются значительные затраты электроэнергии и листовой металл, ее можно рекомендовать для локальных схем очистки небольших количеств сточных вод ($30-50 \text{ м}^3/\text{ч}$).

Стандартные, или типовые, конструкции аппаратов для электроагрегации отсутствуют. Существуют, однако, определенно сложившиеся схемы конструктивного оформления электроагрегаторов.

В зависимости от характера движения воды электроагрегаторы можно разделить на однопоточные, многопоточные с горизонтальным или вертикальным движением воды. При вертикальном направлении движения воды электроагрегаторы могут быть противоточные (подача воды сверху, т.е. в

направлении, противоположном движению пузырьков газа, которые обеспечивают флотацию) и прямоточные (подача воды снизу).

По форме и расположению электродов электроагрегаторы разделяют на аппараты с плоскими и цилиндрическими электродами, расположенными обычно вертикально. Вертикальное положение электродов обусловлено большей жесткостью конструкции и неизменностью размеров электродной системы, а также лучшими условиями удаления выделяющихся газов и протекания процесса флотации. Расстояние между электродами в блоке зависит от электропроводности сточной воды и может составлять 6-20мм. Продолжительность обработки определяется свойствами загрязнений и в среднем может изменяться в пределах 0,5-5 мин.

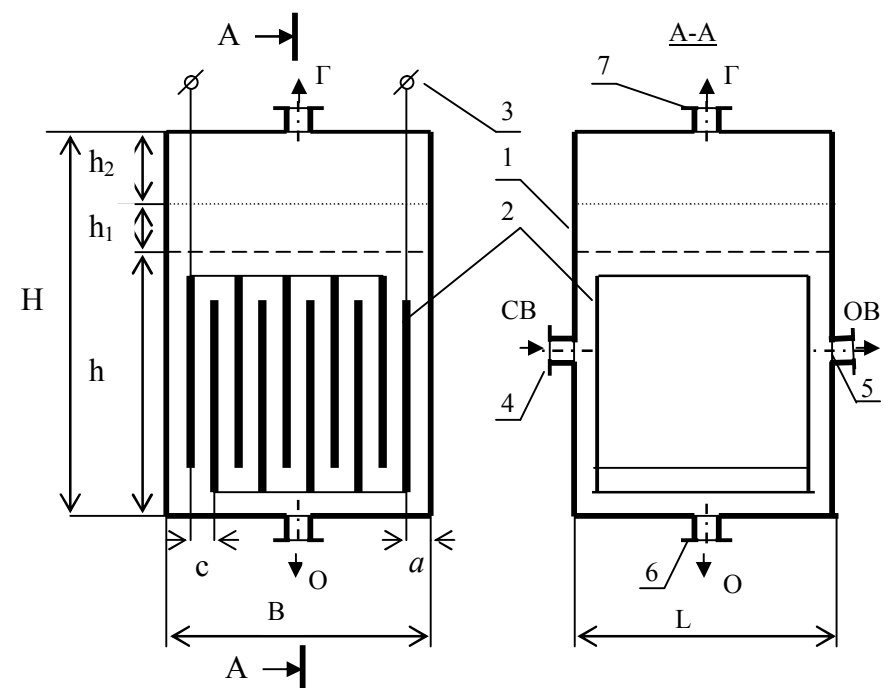


Рис 13.1. Схема прямоугольного электроагрегатора.
1 – корпус; 2 – электроды; 3 – клемма для подключения источника питания;
4 – входной патрубок; 5 – патрубок выпуска очищенной воды (ОВ); 6 – патрубок выхода осадка (О); 7 – патрубок выпуска газов (Г).

Электроагрегаты снабжают вытяжным вентиляционным устройством для удаления газов, механическими устройствами для удаления флотируемых продуктов с поверхности очищаемой воды и осадка из нижней части аппарата, а также устройствами для очистки поверхности электродов и межэлектродного пространства.

Конструктивно электроагрегат обычно представляет собой корпус прямоугольной или цилиндрической формы, в которой помещают электродную систему — ряд электродов. Обрабатываемая вода протекает между электродами.

На рис. 13.1 приведена схема прямоугольного электроагрегата с растворимыми пластинчатыми электродами. На электроды подается постоянное напряжение, обычно - 12-24В, при этом токовая нагрузка может составлять 250-4000А.

Методика расчета

1. Полезный объем электроагрегата:

$$V = n \cdot Q \cdot \tau, \text{ м}^3, \quad (13.1)$$

где n – число электроагрегатов (не менее 2); Q – расход сточной воды $\text{м}^3/\text{ч}$; $\tau=0,08 \text{ ч}$ (5 мин.) – продолжительность обработки сточной воды.

2. Общая высота электроагрегата:

$$H = h + h_1 + h_2, \text{ м} \quad (13.2)$$

где $h=0,8-1 \text{ м}$ – рабочая высота слоя жидкости; $h_1=0,05-0,1 \text{ м}$ – высота слоя пены; $h_2=0,2-0,3 \text{ м}$ – высота бортов над уровнем пены.

3. Ширина (внутренний диаметр) одной установки:

$$B = \sqrt{\frac{V}{2nh}}, \text{ м.} \quad (13.3)$$

4. Длина одной установки:

$$L = \frac{V}{Bhn}, \text{ м.} \quad (13.4)$$

5. Общее число электродов:

$$m = \frac{B - 2a}{c + b}, \quad (13.5)$$

где $a=0,05 \text{ м}$ – расстояние от стенки установки до крайнего электрода; $c=0,01-0,02 \text{ м}$ – расстояние между электродами; $b=0,005-0,008 \text{ м}$ – толщина одного электрода.

6. Площадь одного электрода:

$$f = (L - 0,1) \cdot h, \text{ м}^2. \quad (13.6)$$

7. Общая масса электродной системы:

$$M = f \cdot m \cdot \rho, \text{ кг.} \quad (13.7)$$

где ρ – плотность материала электродов, $\text{кг}/\text{м}^3$. Плотность стали (железа) $\rho=7900 \text{ кг}/\text{м}^3$, плотность алюминия $\rho=2700 \text{ кг}/\text{м}^3$.

8. Сила тока:

$$I = k \cdot Q, \text{ А,} \quad (13.8)$$

где k – удельное количество электричества, необходимое для растворения металла электродной системы, $\text{А} \cdot \text{ч}/\text{м}^3$. Для стальных электродов $k=73,4 \text{ А} \cdot \text{ч}/\text{м}^3$, для алюминиевых – $55 \text{ А} \cdot \text{ч}/\text{м}^3$.

9. Расход материала электродов:

$$G = k \cdot \gamma \cdot N, \text{ г/м}^3, \quad (13.9)$$

где $\gamma=0,4$ – коэффициент выхода по току; N – электрохимический эквивалент металла, $\text{г}/\text{А} \cdot \text{ч}$. Для стали (железа) $N=0,695 \text{ г}/\text{А} \cdot \text{ч}$, для алюминия $N=0,336 \text{ г}/\text{А} \cdot \text{ч}$.

10. Продолжительность работы электродной системы:

$$\tau_c = \frac{1000 \cdot M \cdot \beta}{G \cdot Q_c}, \text{ сут.,} \quad (13.10)$$

где $\beta=0,8-0,9$ – коэффициент использования электродной системы; Q_c – суточный расход сточной воды: $Q_c = Q \cdot \tau_c$, $\text{м}^3/\text{сут}$, где $\tau_c=8-24 \text{ ч}/\text{сут}$ – продолжительность работы аппарата в сутки.

11. Начертить схему электроагрегата (одного) с конструктивными размерами (рис. 13.1).

Таблица 13.1.

Исходные данные (варианты)								
№ вар.	1, 10	2, 11	3, 12	4, 13	5, 14	6, 15	7, 16	8, 17
Q, $\text{м}^3/\text{ч}$	10	15	20	25	30	35	40	45
Примечание: нечетные варианты – стальные электроды; четные варианты – алюминиевые электроды.								

Контрольные вопросы

1. Электрохимические методы очистки сточных вод.
2. В чем заключается процесс электроагрегации?
3. Классификация электроагрегаторов.
4. Преимущества и недостатки электроагрегации.

Работа №14. Химические методы очистки сточных вод. Нейтрализация, хлорирование и озонирование

Цель работы: Практическое изучение методов нейтрализации кислых сточных вод и хлорирование.

Вводная часть

К химическим методам очистки сточных вод относятся процесс нейтрализации кислых и щелочных стоков, хлорирование и озонирование.

Нейтрализации подвергаются сточные воды, содержащие кислоты, щелочи и соли тяжелых металлов. Способы нейтрализации следующие:

- 1) взаимная нейтрализация кислых и щелочных сточных вод;
- 2) нейтрализация реагентами (растворы кислот, известь, сода);
- 3) фильтрация через нейтрализующий материал (известь CaO, мел CaCO₃, магнезит MgCO₃, доломит CaCO₃·MgCO₃).

При наличии на предприятии только кислых или только щелочных сточных вод их нейтрализацию проводят реагентами. Например, для нейтрализации серной кислоты H₂SO₄ применяют гашеную известь Ca(OH)₂, в результате чего образуется сульфат кальция (гипс) CaSO₄ и вода H₂O:



Далее происходит кристаллизация в виде CaSO₄·H₂O и при достаточных концентрациях выпадает осадок. Процесс нейтрализации проводится в нейтрализационных установках или станциях.

Расход реагентов определяется по формуле:

$$G = \frac{100}{B} V(q_c + q_1 c_1 + q_2 c_2 + \dots + q_n c_n), \text{ кг}, \quad (14.1)$$

где: k – коэффициент запаса; B – количество активной части реагента, %; V – объем сточной воды, м³; c – концентрация кислоты (щелочи) в сточной воде, кг/м³; q – удельный расход реагента для нейтрализации кислоты (щелочи), кг/кг (табл. 14.1); c₁, c₂, …, c_n – концентрация металлов в сточной воде, кг/м³; q₁, q₂, …, q_n – удельный расход реагента для нейтрализации металлов, кг/кг (табл. 14.2); n – число металлов в воде.

Таблица 14.1

Удельный расход реагентов (щелочь/кислота) для нейтрализации 100% кислот (щелочей) q, кг/кг

Щелочь/Кислота	серная	соляная	азотная	уксусная
Негашеная известь CaO	0,56/1,79	0,77/1,3	0,46/2,2	0,47/2,15
Гашеная известь Ca(OH) ₂	0,47/2,15	1,01/0,99	0,59/1,7	0,62/1,62
Сода кальцинир. Na ₂ CO ₃	1,08/1,93	1,45/0,69	0,84/1,19	0,88/1,14
Сода каустическая NaOH	0,82/1,22	1,1/0,91	0,64/1,59	0,67/1,5
Аммиак NH ₄	0,35/2,88	0,47/2,12	0,27/3,71	-

Таблица 14.2

Удельный расход реагентов для нейтрализации металлов q, кг/кг

Металл	Реагент	CaO	Ca(OH) ₂	Na ₂ CO ₃	Na OH
Цинк		0,85	1,13	1,6	1,22
Никель		0,95	1,26	1,8	1,36
Медь		0,88	1,16	1,66	1,26
Железо		1,00	1,32	1,9	1,43

Свинец	0,27	0,36	0,51	0,38
--------	------	------	------	------

Хлорирование применяется для обеззараживания очищенных сточных вод от патогенных бактерий и вирусов и очистка сточных вод от фенолов, крезолов, цианидов и других веществ, а также для борьбы с биологическими обрастаниями на трубопроводах и сооружениях.

Для хлорирования сточных вод используется элементарный хлор, хлорная известь и другие сыпучие хлорсодержащие продукты (например, гипохлорит кальция Ca(OCl)₂ — белое кристаллическое вещество), растворы гипохлорита натрия и кальция, двуокись хлора. Хлор (элементарный) поступает на канализационные сооружения в жидком виде (температура кипения 34,5°C). Хлорную известь поставляют в полиэтиленовых мешках массой 35 кг, в стальных барабанах, в деревянных или фанерных бочках вместимостью 100 и 275 л.

Расчетные дозы активного хлора следующие: после механической очистки - 10 г/м³; после полной искусственной биологической очистки - 3 г/м³, после неполной – 5 г/м³. Продолжительность контакта для свободного активного хлора составляет 0,5 ч, для связанного активного хлора — 1 ч.

Хлор растворяется в воде только в газообразном виде, поэтому жидкий хлор испаряют, превращая его в газ. Из испарителя газообразный хлор направляется для получения хлорной воды к водохлорному эжектору. Ввод хлорной воды осуществляют через диффузоры (титан, керамика или пластмасса), которые обеспечивают перемешивание хлорной воды с обрабатываемыми стоками и уменьшают проскоки хлора в атмосферу.

Озонирование применяется для очистки сточных вод от фенолов, нефтепродуктов, сероводорода, соединений мышьяка, ПАВ, цианидов, красителей, канцерогенных ароматических углеводородов, пестицидов и др. Окислительно-восстановительный потенциал озона выше, чем у кислорода и хлора, вследствие чего он обладает более высоким бактерицидным и окислительным действием.

В обрабатываемую воду озон вводят различными способами: барботированием воздуха, содержащего озон, через слой воды через фильтросные пластины или пористые трубы; смешением воды с озоновоздушной смесью в эжекторах.

Предельно допустимая концентрация озона в рабочих помещениях составляет 0,1 мг/м³. Оборудование для синтеза озона нужно устанавливать в изолированном помещении. Помещения синтеза озона должны быть оборудованы принудительной приточно-вытяжной и аварийной вентиляцией с шестикратным воздухообменом за час.

Озон получают в озонаторах из кислорода воздуха под действием электрического разряда. Воздух перед подачей в озонатор очищают от механиче-

ских примесей и осушают до остаточного влагосодержания 0,05 г/м³, для этой цели используют адсорбционные или холодильные установки.

Упражнение 1. Очистка кислых сточных вод от ионов металлов методом нейтрализации.

Реактивы: раствор CuSO₄(1-2г/л) + H₂SO₄(10мл/л); 0,2% смесь индикатора мурексид (пурпурат аммония) с твердым хлоридом натрия; 0,05н раствор трилон-Б; водный раствор NH₄OH (1:1); 1н раствор NaOH или Ca(OH)₂.

Оборудование: фильтры – синяя лента; стакан – 150 мл (3 шт.); воронки – 3 шт.; пипетка – 5 мл; колбы – 150 мл (3 шт.); мерный цилиндр – 50 и 100 мл; мерные колбы – 100 мл (3 шт.); бюретка с 1н NaOH (Ca(OH)₂); микробюретка с раствором трилон-Б; магнитная мешалка; pH-метр.

Порядок выполнения работы [11]

1. Освоение методики анализа кислых растворов на содержание ионов меди. В колбу помещают 5 мл раствора соли меди, разбавляют дистиллированной водой до 50 мл, прибавляют мурексид на кончике шпателя (или 3-4 капли раствора), титруют раствором трилона Б до изменения цвета раствора, добавляют по каплям аммиак (1:1) до перехода окраски в зеленоватую и продолжают титровать раствором трилона Б до достижения сиреневой окраски раствора.

Расчет результатов анализа проводят по формуле

$$C = V \cdot 0,025 \cdot M \cdot 1000 / a, \text{ мг/л},$$

где V – объем раствора трилона Б, израсходованный на титрование ионов металла, мл; a – объем аликвоты, взятой на титрование, мл; M – молярная масса металла.

2. Определение концентрации ионов меди в предложененной сточной воде C₀, мг/л.

3. Нейтрализация исследуемых сточных вод до pH=3, 5, 6, 7, 8, 9 раствором NaOH (Ca(OH)₂). Для проведения нейтрализации отбирают 3-5 проб исследуемого раствора объемом по 50 мл с помощью мерного цилиндра в стаканы объемом не менее 150 мл. В них проводят нейтрализацию при перемешивании на магнитной мешалке и при постоянном замере значений pH на pH-метре. По достижении необходимой величины pH (или близкого к нему значения) растворы при перемешивании выдерживают 1-2 мин. Результаты измерений заносят в табл. 14.3.

Таблица 14.3

Расход реагентов на нейтрализацию сточной воды

Загрязняющее вещество	Концентрация, мг/л	Объем раствора щелочи, затраченного на достижение pH, мл

	ионов Me	кислоты	щелочи	3	5	6	7	8	9

4. Отделение осадка гидроксида меди после нейтрализации методом фильтрования.

5. Определение остаточной концентрации ионов Cu²⁺ в фильтрате с остаточной концентрацией C₁, мг/л и сравнение с ПДК.

6. Определение степени извлечения металла по формуле:

$$\eta = (C_0 / C_1) \times 100 \%$$

7. Результаты занести в табл. 14.4.

Таблица 14.4

Определение степени извлечения ионов металла

Загрязняющее вещество	Исходная концентрация C ₀ , мг/л	pH раствора после нейтрализации	Остаточная концентрация C ₁ , мг/л	Степень извлечения η, %	ПДК металла, мг/л

7. Построение графической зависимости степени извлечения ионов металла от pH раствора.

8. Выводы.

Контрольные вопросы

1. Методы очистки сточных вод от ионов металлов.

2. Способы нейтрализации сточных вод.

3. Что такое pH?

4. Порядок работы на pH-метре.

Упражнение 2. Очистка сточных вод хлорированием

Реактивы: насыщенный раствор Ca(OC₁)₂; кристаллический KI; 0,05н раствор Na₂S₂O₃; 0,5% раствор крахмала; 30% раствор CH₃COOH.

Оборудование: пипетка – 5 и 10 мл; мерный цилиндр – 100 мл; конические колбы – 250 мл (10 шт.); бюретка на 25 мл и микробюретка на 1 мл для раствора тиосульфата натрия.

Порядок выполнения работы [11]

1. Раствор хлорной извести (хлорную воду) разбавляют в десять раз, фильтруют и определяют его титр. Для этого прибавляют к 10 мл хлорной воды 1 г сухого йодида калия, подкисляют (10 мл 30 % раствора CH₃COOH) и титруют выделившийся йод 0,05н раствором тиосульфата натрия в присутствии крахмала.

2. В 8-10 конических колб вместимостью 250 мл, снабженных притертыми пробками, наливают по 100 мл исследуемой воды, прибавляют раствор хлорной извести: в первую колбу – 1 мл, во вторую – 2 мл, далее – 4, 5, 6, 7, 8, 9, 10 и т.д. (табл. 14.5). Колбы закрывают притертыми пробками, ставят в темное место и выдерживают 5 мин при температуре 16-20°C. Параллельно с этими пробами ставят другие с такими же добавками раствора хлорной извести и выдерживают 1,5 ч.

3. В каждую колбу добавляют от 0,2 до 2 г сухого йодида калия в зависимости от прибавленного количества раствора хлорной извести (табл. 14.5), перемешивают до растворения, подкисляют (10 мл 30% раствора CH_3COOH) и титруют выделившийся йод раствором тиосульфата натрия. Когда цвет раствора станет слабо-желтым, прибавляют 1 мл раствора крахмала и продолжают титрование до исчезновения синей окраски.

Таблица 14.5

Расход реагентов для расчета содержания остаточного хлора

№ опыта	Количество добавленного хлора		Объем р-ра хлорной извести, мл	Содержание хлора, мг	Количество добавленного KI, г	Объем р-ра $\text{Na}_2\text{S}_2\text{O}_3$ на титрование, мл	Остаточный хлор в 100 мл сточной воды, мг
	Объем р-ра хлорной извести, мл	Содержание хлора, мг					
1	1		0,2				
2	2		0,4				
3	4		0,6				
4	5		0,8				
5	6		1,0				
6	7		1,2				
7	8		1,6				
8	10		2,0				

4. Остаточный хлор вычисляют по формуле:

$$C_{\text{ост}} = (a \times K \times 1,78 \times 1000) / V, \text{ мг/л},$$

где a – объем раствора тиосульфата натрия, израсходованного на титрование, мл; K – поправочный коэффициент для приведения концентрации раствора тиосульфата натрия точно к 0,05н; 1,78 – число миллиграммов хлора, эквивалентное 1 мл 0,05н раствора тиосульфата натрия; V – объем анализируемой сточной воды, мл.

5. Строят диаграммы зависимости количества остаточного хлора от количества добавленного хлора (рис. 14.1). Если на диаграмме нет перехода кривой линии в прямую, то недостаточно прибавлен хлор, если отсутствует участок OA, то введено слишком большое количество хлора. Длина этого участка показывает содержание в воде веществ, быстро окисляющихся хлором. Ко-

гда исследуемая вода содержит аммиак, аммонийные соли или некоторые органические амины и, когда определение остаточного хлора проводят йодометрическим методом, начальный отрезок кривой может получиться другой формы (рис. 14.2). Объясняется это тем, что прибавляемый хлор, вступая в реакцию с перечисленными соединениями, образует различные хлорамины, которые выделяют йод из йодида калия, как и прибавленный хлор. Дальнейшее прибавление хлора приводит к разрушению хлораминов (с образованием азота и хлористоводородной кислоты), и кривая, достигнув некоторого максимума, снова снижается, подходя к нижней точке перегиба. Ввиду этого перегиб на кривой при анализе сточных вод можно не учитывать, в отличие от анализа питьевых вод, которые хлорируют меньшим количеством хлорирующего агента.

Отрезок АК кривой характеризует процесс окисления и хлорирования

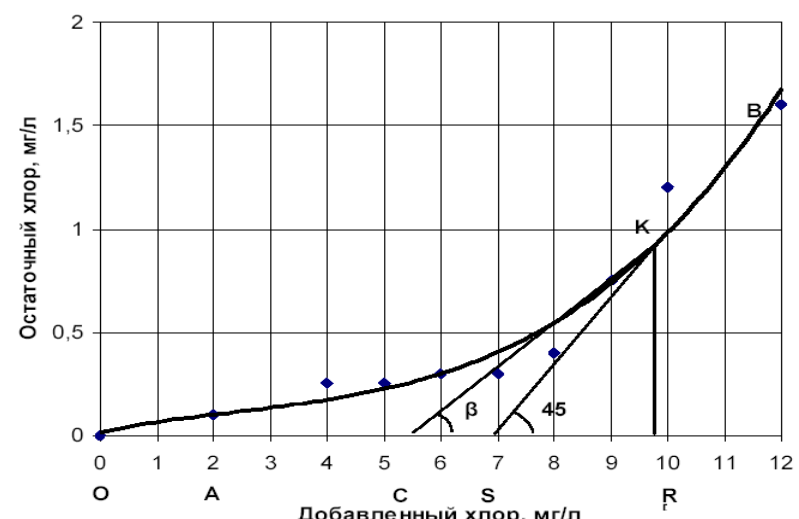


Рис.14.1. Кривая определения хлороемкости

веществ, медленно реагирующих с хлором, которые за время опыта не успевают прореагировать и остаются в растворе вместе с остаточным хлором. Отрезок KB (всегда прямолинейный) показывает отсутствие в растворе к концу опыта веществ, реагирующих с хлором.



Рис. 14.2. Кривая йодометрического титрования активного хлора

6. После построения кривых по ним определяют: а – длину отрезка ОА - содержание быстро реагирующих с хлором веществ; б – отрезок ОС - количество хлора, израсходованное на окисление органических веществ и на хлорирование (действительную хлороемкость воды); с – длину отрезка OS (OR-SR) - количество хлора, расходуемое на окисление, замещение хлором и на катализическое разложение; д – длину отрезка OR - прибавка хлора для полноты реакции его с окисляющими и хлорируемыми веществами в воде за время проведения опыта (5 мин или 1,5 ч); $f=c-b$ – количество хлора, прореагировавшего с водой с образованием кислорода за время проведения опыта; площадь треугольника АКС условно характеризует замедленность и неполноту происходящих реакций: чем больше площадь, тем медленнее или менее полно проходят реакции в растворе; угол β (наклона прямой СВ к оси абсцисс) – характеризует катализическое разложение хлорноватистой кислоты: $2\text{HClO} = 2\text{HCl} + \text{O}_2$.

7. Выводы.

Контрольные вопросы

- Метод хлорирования.
- Отличие процесса очистки питьевой воды активным хлором от очистки сточных вод (кривая хлорирования).

Работа №15. Биохимическая очистка сточных вод. Расчет аэротенка

Цель работы: Приобретение знаний и навыков по расчету процессов и сооружений биологической очистки сточных вод.

Вводная часть

Биохимические методы очистки сточных вод основаны на способности микроорганизмов использовать многие загрязняющие вещества для питания в процессе жизнедеятельности. Сточные воды, направляемые на биохимическую очистку, характеризуются величиной БПК и ХПК. БПК – это биохимическое потребление кислорода, или количество использованного кислорода для биохимического окисления органических веществ в воде, мг $\text{O}_2/\text{мг}$ вещества, за определенный промежуток времени (например, БПК_5 – за 5 суток). $\text{БПК}_{\text{полн}}$ – полная биохимическая потребность кислорода до начала процессов нитрификации. ХПК – химическое потребление кислорода, или количество кислорода, необходимого для окисления всех восстановителей, содержащихся в воде.

Биохимическая очистка проводится в естественных и искусственных сооружениях [10]. Естественными сооружениями являются поля орошения, поля фильтрации и биологические пруды. Искусственные сооружения биологической очистки целесообразно делить на три группы:

1) сооружения, в которых активная биомасса закреплена на неподвижном материале, а сточная вода тонким слоем скользит по материалу загрузки (биофильеры);

2) сооружения, в которых активная биомасса находится в воде в свободном (взвешенном) состоянии (аэротенки, оксигенки);

3) сооружения, в которых сочетаются оба варианта (погруженные биофильеры, биотенки, аэротенки с заполнителями).

Активный ил (АИ), или активная биомасса состоит из живых организмов и твердого субстрата, представляет собой амфотерную коллоидную систему. Химический состав АИ для различных сточных вод достаточно близок. Например, химический состав смеси производственных и бытовых сточных вод отвечает формуле $\text{C}_{111}\text{H}_{212}\text{O}_{82}\text{N}_{20}\text{S}$. Субстрат (до 40% в АИ) представляет собой твердую отмершую часть остатков водорослей и других веществ, к которым прикрепляются микроорганизмы. Биопленка имеет вид слизистых обрастваний толщиной 1-3мм и более, от серовато-желтого до темно-коричневого цвета.

Аэротенк представляет собой открытый бассейн, оборудованный устройствами принудительной аэрации. Это - аппарат с постоянно протекающей сточной водой, во всей толще которой развиваются аэробные микроорганизмы, потребляющие субстрат, т.е. загрязнение этой сточной воды. Сточная вода непрерывно перемешивается и аэрируется до насыщения кислородом воздуха.

Аэротенки могут быть классифицированы по гидродинамическому режиму их работы: 1) аэротенки идеального вытеснения; 2) аэротенки идеального смешения; 3) аэротенки промежуточного типа.

Окситенки предназначены для биологической очистки сточных вод и могут быть использованы как самостоятельные сооружения или в двухступенчатой схеме в сочетании с аэротенками. В окситенках вместо воздуха применяется технический кислород, благодаря чему создаются условия для повышения дозы ила и его активности, снижаются прирост ила и энергозатраты на аэрацию, увеличивается окислительная мощность и снижаются эксплуатационные расходы очистных сооружений.

Биологический фильтр — это очистное сооружение, заполненное загрузочным материалом, через который фильтруется сточная вода и на поверхности которого развивается биологическая пленка, состоящая преимущественно из аэробных микроорганизмов. Очистка сточных вод осуществляется вследствие жизнедеятельности указанных микроорганизмов.

Задача технологического расчета аэротенков – определение основных параметров системы (длительность аэрации, расход воздуха, объем), по которым устанавливаются размеры сооружения. Типовые аэротенки имеют размеры 36-114 м длины, 8-36 м ширины и 3-5 м глубины. Имеются следующие типовые данные:

- число коридоров – 2, 3 и 4;
- ширина коридоров – 4, 5, 6 и 9 м;
- шаг длины коридора – 6 м (длина стандартной панели);
- рабочая глубина – 3,2; 4,4 и 5 м.

Методика расчета

1. Длительность аэрации рассчитывается по формуле:

$$\tau = \frac{L_0 - L_1}{a \cdot \rho}, \text{ ч} \quad (15.1)$$

где L_0 и L_1 - БПК_{полн} поступающей сточной и очищенной воды, мг/л; a – концентрация ила в аэротенке, г/л; ρ - скорость окисления загрязнения на 1 г сухой биомассы, мг (БПК)/(г·ч).

2. Удельный расход воздуха:

$$D = \frac{z(L_0 - L_1)}{100 \cdot k_1 k_2 n_1 n_2 (c - b)}, \text{ м}^3 \text{ воздуха/ м}^3 \text{ ст. воды}, \quad (15.2)$$

где $z=2\text{mg(O}_2)/\text{mg(BPK)}$ – удельный расход кислорода; k_1 – коэффициент, учитывающий тип аэратора, являющейся функцией площади, занятой аэраторами по отношению к площади зеркала воды в аэротенке; $k_2=h^{0,67}$ – коэффициент, учитывающий глубину погружения аэратора (например, $h=3$ м); n_1 - коэффициент, учета температуры (например, при $t=24^\circ\text{C}$, табл. 15.1); n_2 – коэффици-

ент качества воды; c – растворимость кислорода, мг/л; b – допустимая минимальная концентрация кислорода, которая не лимитирует скорости окисления, принимаем $b=3$ мг/л.

Таблица 15.1

Коэффициент учета температуры n_1											
$t, ^\circ\text{C}$	5	10	12	14	16	18	20	22	24	26	28
$c, \text{ мг/л}$	12,8	11,3	10,8	10,3	9,8	9,4	9,0	8,7	8,3	8,0	7,7
n_1	0,5	0,63	0,69	0,76	0,83	0,91	1,0	1,1	1,2	1,3	1,4

3. Объем аэротенка:

$$V=Q \cdot \tau, \text{ м}^3, \quad (15.3)$$

где Q – расход сточной воды, м³/ч.

4. Конструктивные размеры аэротенка можно принимать из конструкционных соображений, в зависимости от объема сооружения:

4.1. Рабочая глубина H принимается из типовых размеров (например, $H=3,2$ м).

4.2. Площадь зеркала воды в аэротенке:

$$S=V/H, \text{ м}^2. \quad (15.4)$$

4.3. Длину аэротенка определяем по формуле:

$$L=1,5\sqrt{S}, \text{ м}. \quad (15.5)$$

Полученное значение L округляем до ближайшего значения, кратного шагу длины коридора (6м).

4.4. Ширину аэротенка:

$$B=S/L, \text{ м} \quad (15.6)$$

Полученное значение B округляем до ближайшего значения, кратного типовым размерам ширины коридоров ($B_i=4, 5, 6$ или 9 м), при этом число коридоров должно получиться 2, 3 или 4:

$$N=B/B_i. \quad (15.7)$$

5. Начертить схему аэротенка (рис. 15.1) с конструкционными размерами.

Контрольные вопросы

1. Механизм биохимической очистки сточных вод.

2. Что такое БПК и ХПК?

3. Классификация биологических сооружений.

4. Что из себя представляет активный ил?

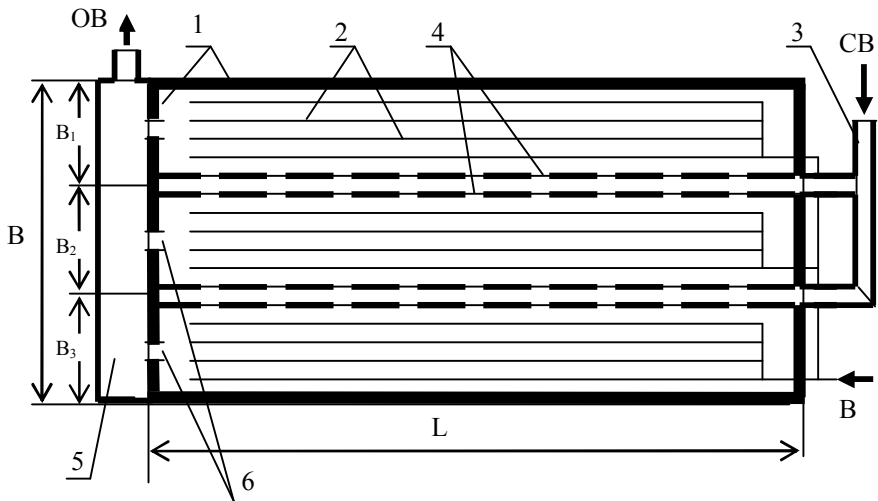


Рис. 15.1. Схема трехкоридорного аэротенка. 1 – стены; 2 – аэрационные фильтросные трубы (подача воздуха В); 3 – распределительный лоток сточной воды (СВ); 4 – водовыпускные отверстия с затворами; 5 – каналы осветленной воды (OB); 5 –водослив (сборник осветленной воды)

Исходные данные (варианты).

№ вар.	Сточные воды про- изводства	$Q,$ $\text{м}^3/\text{ч}$	$L_0,$ мг/л	$L_1,$ мг/л	$\rho,$ $\text{мг}/(\text{г}\cdot\text{ч})$	n_2	k_1	$a,$ г/л
1,10	химфармацевтиче- ских препаратов	650	150	3	10	0,25	0,25	2
2,11	нефтепродуктов	900	1000	5	15	0,3	0,5	6
3,12	переработки твер- дого топлива	800	900	5	13	0,35	0,5	6
8,13	каучука	700	800	5	14	0,4	0,45	5
5,14	поливинилацетата	500	700	5	16	0,3	0,4	5
6,15	синтетических жир- ных кислот	400	600	4	12	0,35	0,35	5
7,16	синтетического спирта	450	500	4	11	0,35	0,3	4
8,17	фенола	550	450	3	14	0,25	0,3	8
9,18	анилина	600	400	3	9	0,2	0,3	3

Работа №16. Переработка отходов. Определение класса опасности отходов

Цель работы: Приобретение навыков и знаний по переработке отходов и определение класса опасности отходов для окружающей среды.

Вводная часть

Отходами называются остатки сырья, материалов, полуфабрикатов и другие продукты и изделия, которые образовались в процессе производства и потребления, продукция, утратившая свои потребительские свойства, а также шлам, образовавшийся при очистке газов и жидкостей. Отходы являются опасными, если содержат вещества с опасными свойствами: токсичность, пожароопасность, радиоактивность, патогенные возбудители инфекционных заболеваний и др. Воздействие отходов на ОС зависит от их качественного и количественного состава. Отходы представляют смеси веществ с различными физико-химическими свойствами. Экологическая опасность отходов также зависит от их растворимости, нестабильности, летучести и пылеобразования. Обращение с отходами предполагает следующие работы: сбор, сортировка, анализ, классификация, паспортизация и сертификация, учет, хранение и транспортировка, обезвреживание, размещение, переработка, использование, захоронение, ликвидация отходов.

Классификация отходов производится по различным принципам.

1. По гигиеническому принципу (табл. 16.1).
2. По агрегатному состоянию (твердые, жидкие, газообразные).
3. По отраслевому принципу (отходы черной и цветной металлургии, химической, угольной, деревообрабатывающей, пищевой, легкой и др.).
4. По физико-химическим свойствам.

Таблица 16.1

Классификация отходов по гигиеническому принципу

Категория	Характеристика отходов	Обращение с отходом
I	инертные	для планировки
II	легкоразлагающие, органические	переработка
III	слаботоксичные, слаборастворимые	складирование
IV	нефтесмолоподобные	сжигание
V	токсичные, со слабым загр. воздуха	складир. на полигоне
VI	токсичные	обезвреживание

Паспортизация и сертификация проводится на основе анализа отходов, при котором выявляется оптимальный набор входящих в паспорт отхода параметров. Форма паспортизации должен соответствовать одному из трех видов:

Таблица 16.2

Критерии классов опасности твердых отходов на окружающую среду

№ п/п	Степень воздействия	Критерии отнесения к классу опасности	Класс опасности
1	Очень высокая	Экологическая система необратимо нарушена. Период восстановления (ПВ) отсутствует	1 класс Чрезвычайно опасные
2	Высокая	Экологическая система сильно нарушена. ПВ не менее 30 лет после полного устранения источника вредного воздействия	2 класс Высокоопасные
3	Средняя	Экологическая система нарушена. ПВ не менее 10 лет после снижения вредного воздействия	3 класс Умеренно опасные
4	Низкая	Экологическая система нарушена. Период самовосстановления не менее трех лет	4 класс Малоопасные
5	Очень низкая	Экологическая система практически не нарушена	5 класс Неопасные

Упражнение 1 Определение класса опасности отхода расчетным методом по сумме показателей опасности составных веществ [11]

Определение класса опасности отходов расчетным методом осуществляется на основании показателя (K), рассчитанного по сумме показателей опасности веществ, составляющих отход. Перечень компонентов отхода и их количественное содержание устанавливают по составу исходного сырья и технологическим процессам его переработки или по результатам количественного химического анализа (в данной работе указаны в задании).

Показатель степени опасности компонента отхода (K_i) рассчитывают как соотношение концентраций компонентов отхода (C_i) с коэффициентом его степени опасности (W_i) - $K_i = C_i/W_i$. Коэффициентом степени опасности компонента отхода (W_i) является условный показатель, численно равный количеству компонента отхода, ниже которого он не оказывает негативного воздействия на ОС. Размерность коэффициента степени опасности условно принимают в миллиграммах на килограмм (мг/кг).

1. Для определения коэффициента степени опасности компонента отхода для каждого компонента (K_n) отхода устанавливают степень опасности (в баллах от 1 до 4) в соответствии с табл. 16.1.1 (первичные показатели для конкретного компонента отхода выбираются из таблицы приложений- П6).

1) учетно-статистическая форма, которая состоит из статистического отчета сведений об отходах;

2) кадастровая форма, которая предусматривает использование отходов в качестве вторичных материальных ресурсов (BMP);

3) экологическая форма, которая проводится в соответствии с ГОСТ 17.0.0.04-90 и определяющая воздействия отхода на ОС.

Сертификация (узкая классификация) проводится по методам обработки отходов, при этом основными характеристиками являются:

1) при промежуточной обработке: pH, вязкость, сжимаемость, плотность, кривая седиментации и др.;

2) при сжигании: теплотворная способность, влажность, температура воспламенения, токсичность газов, пары металлов, остаток после сжигания;

3) при захоронении: способность к разложению, летучесть, содержание удобрений, органических, окисляемых и токсичных веществ.

Отход кодом А.2.01ж означает: отход химической промышленности (A), представляющий щелочной раствор (2) с преобладающим химическим соединением NaOH (01), в жидким состоянии (ж.).

При переработке и утилизации промышленных и бытовых отходов используются следующие процессы: измельчение, классификация, смешение, компактирование (прессование), флотация, магнитная и электрическая сепарация, грануляция, биоразложение, пиролиз, сжигание, складирование и захоронение на полигонах. Для реализации данных процессов используется разнообразные аппараты, выбор которых определяется технологией процесса физико-механическими, физико-химическими и другими свойствами перерабатываемых отходов.

Переработка отходов эффективно в мусороперерабатывающих заводах (МПЗ), технологическая схема которой может заключать следующие этапы:

1) прием и подготовка отходов, включающий приемный бункер, питатели, транспортеры, магнитные сепараторы;

2) биотермический процесс в горизонтальных вращающихся барабанах;

3) обработка отходов, включающий грохот, магнитный сепаратор, дробилки.

Класс опасности отходов устанавливают по степени возможного вредного воздействия на окружающую природную среду при непосредственном или опосредованном воздействии опасного отхода на нее в соответствии с критериями, приведенными в табл. 16.2, 16.5 и 16.6. Отнесение отходов к классу опасности может осуществляться расчетным или экспериментальным методом. В случае отнесения отхода расчетным методом к 5-му классу опасности, необходимо его подтверждение экспериментальным методом. При отсутствии подтверждения 5-го класса опасности экспериментальным методом отход может быть отнесен к четвертому классу опасности.

2. Также в перечень показателей, используемых для расчета W_i , включают показатель информационного обеспечения для учета недостатка информации по первичным показателям степени опасности компонентов отхода для ОПС.

Рассчитывают показатель информационного обеспечения путем деления числа установленных (по которым имеются данные) показателей (n) на N , т.е. n/N , где $N=12$ - количество наиболее значимых первичных показателей опасности компонентов отхода для ОПС. Баллы присваиваются следующим диапазонам изменения показателя информационного обеспечения (табл. 16.1.2).

3. По установленным степеням опасности компонентов отхода рассчитывают относительный параметр опасности компонента отхода (X_i) делением суммы баллов по всем параметрам на число этих параметров.

4. Показатель Z_i промежуточный, вычисляют по формуле $Z_i=4X_i/3-1/3$ и учитывают при выборе формулы для расчета $\lg W_i$.

5. Коэффициент W_i рассчитывают по одной из следующих трех формул: $\lg W_i=4-4/Z_i$, для $1 < Z_i < 2$; $\lg W_i=Z_i$, для $2 < Z_i < 4$; $\lg W_i=2+4/(6-Z_i)$, для $4 < Z_i < 5$.

Коэффициенты W_i для наиболее распространенных компонентов опасных отходов приведены в П5 и П6 (приложение).

6. Показатель степени опасности компонента отхода K_i рассчитывают по формуле: $K_i = C_i/W_i$, где C_i – концентрация i -го компонента в опасном отходе, мг/кг; W_i – коэффициент степени опасности i -го компонента опасного отхода, мг/кг.

Таблица 16.1.1

Степень опасности компонентов отхода (КО – класс опасности)

N п/п	Степень опасности по компонентам	Первичные показатели опасности компонента			
		1	2	3	4
1	ПДК _п (ОДК), мг/кг	<1	1-10	11-100	>100
2	КО в почве	1	2	3	-
3	ПДК _в (ОДУ, ОБУВ), мг/л	<0,01	0,01-0,1	0,11-1	>1
4	КО в хоз/питьевой воде	1	2	3	4
5	ПДК _{р.х.} (ОБУВ), мг/л	<0,001	0,001-0,01	0,011-0,1	>0,01
6	КО в рыб/хоз воде	1	2	3	4
7	ПДК _{с.с.} (ПДК _{м.р.} , ОБУВ), мг/м ³	<0,01	0,01-0,1	0,11-1	>1
8	КО в атмосфере	1	2	3	4
9	ПДК _{пп} (МДУ, МДС), мг/кг	<0,01	0,01-1	1,1-10	>10

10	$\lg(S, \text{мг/л} / \text{ПДК}_B, \text{мг/л})$	>5	5-2	1,9-1	<1
11	$\lg(C_{\text{нас}}, \text{мг/м}^3 / \text{ПДК}_{p,3}, \text{мг/л})$	>5	5-2	1,9-1	<1
12	$\lg(C_{\text{нас}}, \text{мг/м}^3 / \text{ПДК}_{c,c}, \text{ПДК}_{m,p})$	>7	7-3,9	3,8-1,6	<1,6
13	$\lg K_{ow}$ (окт/вода)	>4	4-2	1,9-0	<0
14	$LD_{50}, \text{мг/кг}$	<15	15-150	151-5000	>5000
15	$LC_{50}, \text{мг/м}^3$	<500	500-5000	5001-50000	>50000
16	$LC_{50 \text{ водн.}}, \text{мг/л}/96\text{ч}$	<1	1-5	5,1-100	>100
17	БПК ₅ /ХПК 100%	<0,1	0,01-1	1-10	>10
18	Персистентность (трансформация в ОС)	Образование более токсичных продуктов	Влияние других критериев опасности	Исходная токсичность	Менее токсичных продуктов
19	Биоаккумуляция	Накопление во всех звеньях	В нескольких звеньях	В одном из звеньев	Нет
Балл		1	2	3	4

Таблица 16.1.2
Баллы, соответствующие диапазонам изменения показателя информационного обеспечения

Диапазоны изменения показателя информационного обеспечения (n/N)	Балл
<0,5 (n<6)	1
0,5-0,7 (n=6-8)	2
0,71-0,9 (n=9-10)	3
>0,9 (n>11)	4

7. Показатель степени опасности отхода: $K = K_1 + K_2 + \dots + K_n$, где $K_1, K_2, \dots K_n$ – показатели степени опасности отдельных компонентов отхода.

8. Компоненты отходов, состоящие из таких химических элементов, как кислород, азот, углерод, фосфор, сера, кремний, алюминий, железо, натрий, калий, кальций, магний, титан, в концентрациях, не превышающих их содержание в основных типах почв, относят к практически неопасным компонентам со средним баллом (X_i), равным 4, и, следовательно, коэффициентом степени опасности (W_i), равным 1E6 (или 1000000).

Компоненты отходов природного органического происхождения – углеводы (клетчатка, крахмал и иное), белки, азотсодержащие органические соединения (аминокислоты, амиды и иное), т.е., состоящие из веществ, встре-

чающихся в живой природе, относят к классу практически неопасных компонентов со средним баллом (X_i), равным 4, и, следовательно, коэффициентом степени опасности (W_i), равным 1E6 (или 1000000).

9. Отнесение отходов к классу опасности расчетным методом по показателю степени опасности осуществляется в соответствии с табл. 16.1.3.

Таблица 16.1.3

Степень опасности отхода в зависимости от класса опасности отхода

Класс опасности	Степень опасности (K)
I	$1000000 \geq K > 10000$
II	$10000 \geq K > 1000$
III	$1000 \geq K > 100$
IV	$100 \geq K > 10$
V	≤ 10

Упражнение 2. Определение класса опасности промышленных отходов на основе расчета индекса опасности отходов производства [13]

1. Расчет индекса опасности на основе ПДК химических веществ в почве ведут по формуле:

$$K_i = \frac{ПДК_i}{S + C_B}, \quad (16.2.1)$$

где ПДК_i - предельно допустимая концентрация токсичного химического вещества в почве, содержащегося в отходе, мг/кг; S – величина которой находится в интервале от 0 до 1 - безразмерный коэффициент, равный растворимости данного химического вещества в граммах на 100 г воды при 25°C (при растворимости больше 100 г в 100 г воды S принимается равным 1); C_B - содержание данного компонента в общей массе отхода, массовая доля; i - порядковый номер данного компонента.

Величину K_i округляют до первого знака после запятой. В случае, когда опасность отхода определяется по катиону или аниону токсичного компонента отхода, используется растворимость компонента отхода в пересчете на катион (анион).

2. Расчет индекса опасности при отсутствии ПДК химических веществ в почве ведут для каждого компонента отхода, используя величину ЛД₅₀ (средняя смертельная доза при введении в желудок, мг/кг) для данного компонента (при наличии в справочнике нескольких значений ЛД₅₀ для расчета принимают минимальное значение):

$$K_i = \frac{\lg(\text{ЛД}_{50})_i}{(S + 0,1F + C_B)_i}, \quad (16.2.2)$$

где F - безразмерный коэффициент (от 0 до 1) летучести данного компонента, равный отношению давления насыщенного пара индивидуального компонента при температуре 25°C к 760 мм. рт. ст. (определяют только для веществ, имеющих температуру кипения при 760 мм рт. ст. не выше 80°C).

3. При отсутствии ПДК в почве и ЛД₅₀ для некоторых компонентов отходов, но при наличии величин классов опасности в воздухе рабочей зоны в уравнение (16.2.2) подставляют условные величины ЛД₅₀, ориентировочно определяемые по показателям класса опасности в воздухе рабочей зоны с помощью данных, представленных в табл. 16.2.1

Таблица 16.2.1

Зависимость ЛД₅₀ от класса опасности

Класс опасности	1	2	3	4
ЛД ₅₀ , мг/кг	15	150	5000	>5000

4. Рассчитав K_i, для отдельных компонентов отхода, выбирают несколько (не более трех) ведущих компонентов отхода, имеющих наименьшее значение K_i причем K₁ < K₂ < K₃. Затем ведут расчет суммарного индекса опасности отхода по трем ведущим компонентам при условии 2K₁ ≥ K₃; по двум ведущим компонентам при условии 2K₁ ≥ K₂, но 2K₁ ≤ K₃,

$$K_{\Sigma} = \frac{1}{n^2} \sum_{i=1}^n K_i, \quad (16.2.3)$$

где n - количество ведущих компонентов отхода, n ≤ 3.

После расчета K_Σ определяют класс опасности отхода по табл. 16.2.2 при расчете на основе ПДК в почве или табл. 16.2.3 при расчете на основе ЛД₅₀.

Таблица 16.2.2

Классификация опасности химических веществ на основе их ПДК в почве

Расчетная величина K _Σ	Класс опасности	Степень опасности
Менее 2	1	Чрезвычайно опасные
От 2 до 16	2	Высоко опасные
От 16,1 до 30	3	Умеренно опасные
Выше 30	4	Малоопасные

Таблица 16.2.3

Классификация опасности химических веществ по ЛД₅₀

Расчетная величина K _Σ	Класс опасности	Степень опасности
Менее 1,3	1	Чрезвычайно опасные
От 1,3 до 3,3	2	Высоко опасные

От 3,4 до 10	3	Умеренно опасные
Более 10	4	Малоопасные

Задание

1. Отход отработанного активированного угля содержит одно из органических веществ: хлороформ; четыреххлористый углерод; бензол; перхлорэтилен или толуол. Уголь подвергли обезвреживанию, при этом содержание органического загрязняющего вещества снизилось до 0,1 %. Рассчитать класс опасности отхода отработанного угля до и после обезвреживания. Справочные данные для загрязняющих веществ приведены в табл.16.2.1.

2. Шлам от мойки машин и механизмов содержит низкокипящие нефтепродукты, индустриальные масла. Класс опасности в воздухе рабочей зоны по нефти 3-й; ЛД₅₀ (летальная доза по индустриальным маслам) равна 12000 мг/кг. Определить класс опасности шлама, загрязненного нефтепродуктами, индустриальными маслами.

3. Определить класс опасности отхода производства фторсолей, если в его состав входят сера, натрия сульфат и натрия фторид. Значение ПДК в почве для серы 160 мг/кг, для сульфат-иона - ПДК в почве серной кислоты 160 мг/кг, для фторида натрия - ПДК в почве для растворимой формы фтора 10 мг/кг. Растворимость в воде сульфата натрия в пересчете на сульфат-ион - 35,8 г в 100 г воды, фторида натрия в пересчете на фторид-ион - 1,95 г в 100 г воды, сера в воде практически не растворима.

Варианты заданий приведены в табл. 16.2.4.

Таблица 16.2.4

Исходные данные (варианты).

Содержание токсичных компонентов в отходе, С_в, %

№ вар	Отработанный ак- тивированный уголь	Отходы				
		Нефтешлам		Отходы производства фторсолей		
		Нефтепро- дукты	Индустри- альные мас- ла	Сера	Сульфат- ион	Фторид -- ион
1, 10	Хлороформ 35	50		34	4,7	10,0
2, 11			48	30	6,8	9,4
3, 12	Углерод четырех- хлористый 25	46		25	3,4	8,3
4, 13			44	30	7,4	7,2
5, 14	Бензол 20	42		25	13,5	6,1
6, 15			40	30	10,1	4,5
7, 16	Перхлорэтилен 15	37		40	10,1	9,0
8, 17			35	30	13,5	4,5
9, 18	Толуол 10	33		25	16,9	6,8

Таблица 16.2.5

Физико-токсикологические параметры токсичных компонентов отходов

Загрязняющее веще- ство	ЛД ₅₀ , мг/кг	Раствори- мость, S, г/ 100 г воды	Лету- честь F	Класс опас- ности в воз- духе рабо-	ПДК в поч- ве, мг/кг
Хлороформ	100	0,82	0,21	2	-
Углерод четырех- хлористый	5760	0,08	0,16	2	-
Бензол, нефте- про- дукты и масла	4600	0,08	0,1	2	0,3
Перхлорэтилен	>5000	0,015	0,013	3	0,2
Толуол	-	0,063	0,04	3	0,3

Примечание. Цифры, помеченные звездочкой, указывают растворимость в пересчете на токсичный компонент-металл.

Упражнение 3. Отнесение отходов к классу опасности для окружающей природной среды экспериментальным методом [11]

1. Экспериментальный метод отнесения отходов к классу опасности осуществляют в специализированных аккредитованных для этих целей лабораториях.

2. Экспериментальный метод используют в следующих случаях:

- для подтверждения отнесения отходов к 5-му классу опасности, установленного расчетным методом;

- при отнесении к классу опасности отходов, у которых невозможно определить их качественный и количественный состав;

- при уточнении по желанию и за счет заинтересованной стороны класса опасности отходов, полученного в соответствии с расчетным методом.

3. Экспериментальный метод основан на биотестировании водной вытяжки отходов.

4. В случае присутствия в составе отхода органических или биогенных веществ проводится тест на устойчивость к биодеградации для решения вопроса о возможности отнесения отхода к классу меньшей опасности.

Устойчивостью отхода к биодеградации является способность отхода или отдельных его компонентов подвергаться разложению под воздействием микроорганизмов.

5. При определении класса опасности отхода с помощью метода биотестирования водной вытяжки применяют не менее двух тест-объектов из разных систематических групп (дафнии и инфузории, цериодофии и бактерии или водоросли и т.п.). За окончательный результат принимается класс опасности, выявленный на тест-объекте, проявившем более высокую чувствительность к анализируемому отходу.

6. Для подтверждения отнесения отходов к пятому классу опасности, установленного расчетным методом, определяют воздействие только водной вытяжки отхода без ее разведения. Класс опасности (КО) устанавливают по кратности разведения водной вытяжки, при которой не выявлено воздействие на гидробионтов в соответствии со следующими диапазонами кратности разведения, приведенными в табл. 16.3.1.

Таблица 16.3.1

Кратность разведения водной вытяжки в зависимости от КО отхода

Класс опасности	Кратность разведения водной вытяжки из отхода, при которой вредное воздействие на гидробионтов отсутствует
I	>10000
II	От 10000 до 1001
III	От 1000 до 101
IV	<100
V	1

Контрольные вопросы

1. Что такое отходы?
2. Классификация и паспортизация отходов.
3. Процессы переработки отходов.
4. Методы определения класса опасности отхода.

Работа №17. Физические (энергетические) загрязнения ОС. Оценка уровней шума. Расчет акустического и электромагнитного экранов

Цель работы: Расчет суммарного уровня шума двух источников. Расчет параметров акустического и электромагнитного экранов.

Вводная часть

Под физическими (энергетическими) загрязнениями окружающей среды необходимо понимать шум, вибрацию, тепловое, электромагнитное и ионизирующее излучение, и другие физические явления, вредно воздействующие на окружающую среду.

Шум - это сочетание звуков различной интенсивности и частоты; мешающий, нежелательный звук. Звук - это акустические колебания частотой 16-20000 Гц, распространяющийся в упругой среде, вызванные каким либо источником и воспринимающее слуховым аппаратом человека. Инфразвук - колебания с частотой ниже 16 Гц, ультразвук - выше 20000 Гц (выше 10^9 Гц - гиперзвук). Источником шума являются процессы механического (соударения, скольжения и трения деталей), аэродинамического (истечения газов) и гидродинамического (истечение жидкостей) происхождения. Источник аку-

стического излучения характеризуется значением излучаемой акустической мощности, т.е. ее спектром и диаграммой направленности [3,7].

Звук характеризуется звуковым давлением P , скоростью распространения v , длиной волны λ , частотой f . При $t=20^\circ\text{C}$ скорость звука в воздухе $v=344 \text{ м/с}$. Между v , λ и f существует соотношение, используемое в практике борьбы с шумом:

$$v=\lambda f, \text{ м/с.} \quad (17.1)$$

Звуковые колебания в воздухе приводят к его сжатию (возрастанию давления) и разрежению (понижению давления). Разность между давлением среды $P_{\text{ср}}$ в данный момент и атмосферным давлением $P_{\text{атм}}$, называется звуковым давлением: $P=P_{\text{ср}}-P_{\text{атм}}$. Орган слуха человека различает не разность, а кратность изменения давления, поэтому шум оценивают не абсолютной величиной - звуковым давлением, а его уровнем. Уровнем звукового давления называют двадцатикратный логарифм отношения звукового давления P к пороговому значению P_0 :

$$L=20 \lg(P/P_0), \text{ дБ,} \quad (17.2)$$

где $P_0=2 \cdot 10^{-5}$ Па - давление, соответствующее порогу чувствительности уха (порог слышимости) на частоте 1000 Гц. Для интегральной оценки шума используется уровень шума - двадцатикратный логарифм отношения среднеквадратичного звукового давления P_A , измеренное с учетом корректировки частотной характеристикой шумомера (шкала А), отражающей частотную чувствительность человеческого уха к пороговому значению P_0 :

$$L_A=20 \lg(P_A/P_0), \text{ дБА.} \quad (17.3)$$

Повышенный шум действует как на органы слуха, так и на весь организм. Степень вредности шума зависит от его интенсивности, спектрального состава, времени воздействия, местонахождения человека, работы, индивидуальных особенностей человека.

Шумомер измеряет шумовое давление в диапазоне $2 \cdot 10^{-5}$ - 200 Па, что соответствует диапазону 0-130 дБ. Шум 40 дБА в ночное время является серьезным беспокоящим фактором. Шум 60 дБА создает ощутимую нагрузку на нервную систему человека, занимающегося умственной деятельностью. Шум выше 70 дБА вызывает физиологические воздействия, а при 90 дБА может привести к ухудшению слуха. Шум 120 дБА является болевым порогом, выше которой приведет к разрушению слухового органа. Шум 180 дБ может создать трещины в металлах. На людей так же вредно действует инфразвук, который вызывает чувство страха, потерю ориентировки в пространстве, вредно воздействует на сердечно-сосудистую систему.

Основные направления шумозащиты:

- замена шумных источников и технологий на малошумные;
- изменения направленности излучения;
- применение акустических экранов;

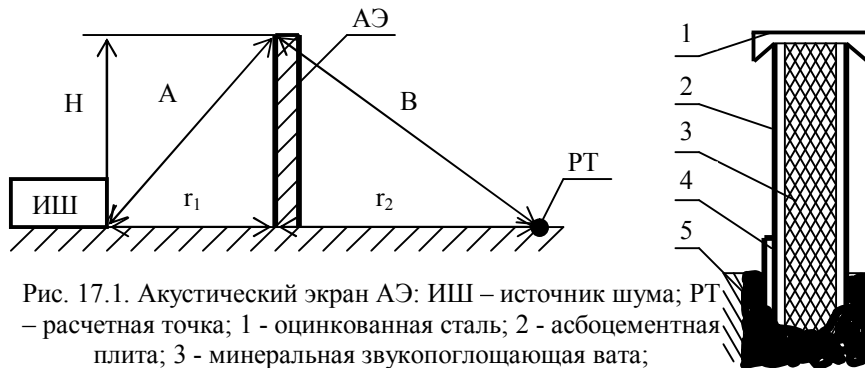


Рис. 17.1. Акустический экран АЭ: ИШ – источник шума; РТ – расчетная точка; 1 - оцинкованная сталь; 2 - асбокементная плита; 3 - минеральная звукоглощающая вата; 4 – металлическая стойка; 5 – фундамент.

- применение комплекса средств защиты в отдельных источниках;
- активная шумозащита.

Для уменьшения шума газовых потоков применяют реактивные и комбинированные глушители. Эффективность глушителя пропорциональна объему, числу камер и поворотов. Глушители устанавливаются в газоходах, воздухо-заборах, дымовых трубах, автомобилях. Для снижения шума отдельных источников применяют звукоизолирующие капоты. Наличие проемов, щелей (для теплообмена или массообмена) ухудшает эффективность капотов. В этих случаях на выходе устанавливают экраны или глушители. Акустические экраны (АЭ) представляют собой преграду между источником шума (ИШ) и расчетной точкой (РТ). За экраном создается звуковой тень (рис. 17.1).

Основными источниками шума в городах являются автомототранспорт, трамваи, поезда. В крупных городах уровни уличных шумов возрастают, в среднем, 1-2 дБ в год. Для выбора и проектирования необходимых инженерно-технических и организационно-планировочных решений необходимо провести акустические расчеты, оценить уровни шумов на территории застройки.

При распространении цилиндрической звуковой волны (от линейных источников шума) в открытом пространстве интенсивность звука изменяется обратно пропорционально расстоянию, т.е. при каждом удвоении расстояния уровень снижается на 3 дБ. К линейным источникам относятся поезда, трамваи и потоки автомототранспорта.

Упражнение 1. Расчет уровня шума и акустического экрана (см. таблицу 17.2).

1. Получаем исходные данные (два источника шума, L_{0f} при разных октавных частотах, расстояние от источника до расчетной точки r) из таблицы 17.1 и заносим в таблицу 17.2.

2. Рассчитываем фактические уровни шума (от линейных источников) в жилой застройке для каждой октавной частоты f по формуле:

$$L_f = L_{0f} - 10 \lg(r/r_0), \text{ дБ}, \quad (17.4)$$

где L_{0f} – уровни шума источников на расстоянии $r_0=7,5$ м; r – расстояния от источника до расчетной точки (рис. 17.4).

3. Определяем разности уровней шумов двух источников для каждой октавной частоты:

$$\Delta L_f = L_{f\max} - L_{f\min}, \text{ дБ}. \quad (17.5)$$

4. Определяем суммарный уровень шума от обоих источников в расчетной точке для каждой октавной частоты:

$$L_{\Sigma f} = L_{f\max} + \Pi, \text{ дБ}, \quad (17.6)$$

где $L_{f\max}$ – наибольший уровень шума из двух источников при данной октавной частоте; Π – поправка, зависящая от разности уровней шумов двух источников ΔL_f при данной октавной частоте (рис. 17.2), при $\Delta L_f \geq 10$ дБ поправка $\Pi=0$.

5. Начертить график зависимости предельно-допустимых уровней в зависимости от октавных частот (рис. 17.3), там же построить график зависимости полученных суммарных уровней шумов от двух источников $L_{\Sigma f}$ от октавных частот. Сравнить полученные значения с нормативными уровнями.

6. Рассчитать акустический экран (обычный), устанавливаемый на расстоянии $r_1=5$ м, при этом принять высоту экрана $H=5-6$ м.

$$\Delta L = 20 \lg N - 10 \lg n, \text{ дБ} \quad (17.7)$$

где $N=2\delta/\lambda$ – число Френеля; n – число свободных ребер (для обычного АЭ $n=3$; для Г – образного – 2; для П – образного – 1); $\delta=A+B-r_1-r_2$, м; r_2 – расстояние от экрана до расчетной точки $r_2=r-r_1$; $A=\sqrt{H^2+r_1^2}$; $B=\sqrt{H^2+r_2^2}$; длину волны λ можно определить по (14.1) при частоте $f=1000$ Гц.

7. Определяем уровень шума в расчетной точке после установки экрана:

$$L_{1000} = L_{\Sigma 1000} - \Delta L, \text{ дБ}. \quad (17.8)$$

Если уровень шума больше чем ПДУ (рис. 17.3), увеличиваем высоту H экрана и расчет производим повторно до получения уровня шума ниже ПДУ.

Табл.17.1.

Исходные данные. Уровни шума источников L_{0f} , дБ, на расстоянии $r_0=7,5$ м.

№вар	Источник	r, м	Октачная частота f, Гц							
			63	125	250	500	1000	2000	4000	8000
1, 10	Автодорога	75	88	86	85	83	81	80	79	75
	Трамв/пути	100	70	69	67	65	63	65	64	62
2, 11	Автодорога	50	92	91	89	86	79	77	75	73
	Ж/дорога	100	88	86	85	83	81	80	78	72
3, 12	Трамв/пути	50	65	63	60	58	57	54	52	51
	Ж/дорога	75	65	65	68	69	77	79	83	85
4, 13	Автодорога	75	83	82	81	77	76	75	74	73
	Трамв/пути	100	55	57	58	59	61	63	65	67
5, 14	Автодорога	50	83	82	81	77	76	75	74	73
	Ж/дорога	100	91	89	88	86	84	83	81	75
6, 15	Трамв/пути	50	70	69	67	65	63	65	64	62
	Ж/дорога	75	65	65	68	69	77	79	83	85
7, 16	Автодорога	75	78	75	73	69	68	67	65	64
	Трамв/пути	100	55	57	58	59	61	63	65	67
8, 17	Автодорога	50	81	79	77	75	75	74	72	70
	Ж/дорога	100	67	67	70	76	79	83	85	87
9, 18	Трамв/пути	50	53	55	56	57	59	61	63	64
	Ж/дорога	75	65	65	68	69	77	79	83	85

Таблица 17.2

Методика расчета уровней шумов двух источников при разных частотах

f, Гц	L_{0f} , дБ (табл. 17.1)		L_f , дБ (17.4)		ΔL_f , дБ (17.5)	Π (рис. 17.2)	$L_{\Sigma f}$, дБ (17.6)
	Источник 1	Источник 2	Источник 1	Источник 2			
63							
125							
250							
500							
1000							
4000							
8000							

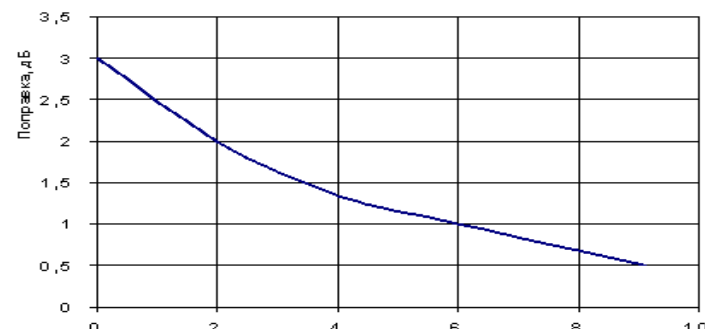


Рис. 17.2. Поправка при суммировании уровней шума (к большему) в зависимости от разности уровней

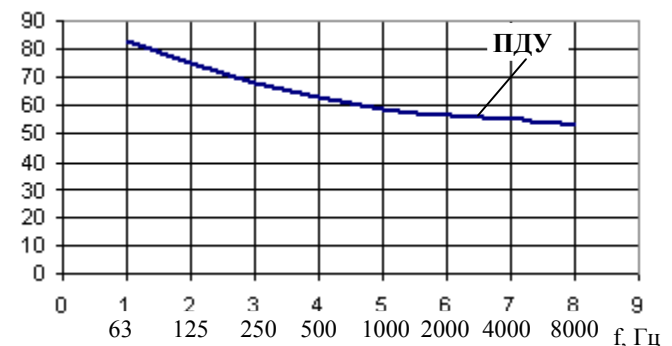


Рис. 17.3. Предельно-допустимые уровни в зависимости от октаческих частот

Упражнение 2. Расчет электромагнитного экрана для защиты от ионизирующих излучений.

Ионизирующее излучение – это физическое явление, связанное с излучением потока частиц или электромагнитной энергии, приводящее к ионизации окружающей среды (рис. 17.4):

- α - излучение – поток ядер гелия состоящих из двух протонов и двух нейтронов. Заряд +2, масса 4 а.е.м., энергия 4-9 МэВ ($1\text{эВ}=1,6 \cdot 10^{-19}\text{Дж}$), скорость 20000 м/с, пробег в воздухе 8-9 см и в биологической ткани – десятки микрон, удельная ионизация 25-60 тыс. пар ион/см;

- β - излучение – поток электронов (β^-) или позитронов (β^+). Заряд электрона -1 и заряд позитрона +1, масса $9,1 \cdot 10^{-31}$ кг, энергия – 0,15-3,6 МэВ, пробег в воздухе 22-1400 см, в биологической ткани – 0,02-1,9 см;

- γ - излучения – поток фотонов с энергией 0,01-10 МэВ, излучается при ядерных превращениях и аннигиляции «частица – античастица», заряд – 0, масса покоя – 0, скорость – 300000 км/с; рентгеновское излучение – поток фотонов с энергией 1-1000 кэВ;

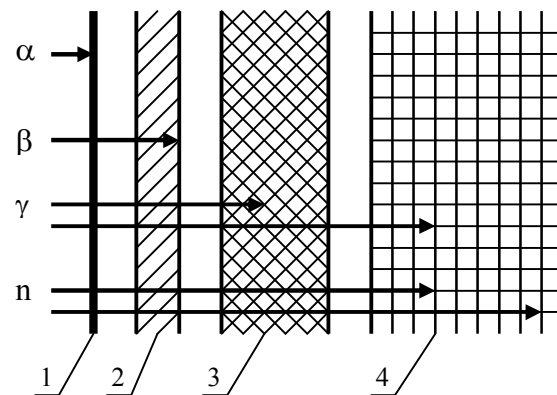


Рис. 17.4. Проникающая способность ионизирующих излучений 1 – бумага (0,2мм); 2 – оргстекло (10мм); 3 – свинец (15см); 4 – бетон (3м)

Наиболее опасными являются γ - излучения и нейтроны, так как имеют наибольшие пробеги.

Методы и средства защиты от ионизирующих излучений следующие: установление предельно допустимых доз облучения; контроль уровня радиации; изоляция излучающих объектов; применение вентиляции и вытяжных шкафов; применение защитных экранов.

Защитными экранами от ионизирующих излучений являются стенки контейнеров для перевозки изотопов, стенки сейфов для хранения изотопов, а также специальные экраны. Для защиты от α -частиц достаточно слой воздуха толщиной 5-6 см, но одновременно могут быть и другие излучения. Для защиты от β излучений применяют экраны из материалов малой атомной массы (алюминий), от γ - излучений и нейтронов – из материалов большой атомной массы и плотности (свинец, вольфрам, бетон).

Задание. Рассчитать экран для защиты от источника ионизирующих излучений в рабочем помещении. Согласно нормативу при 6-часовом рабочем дне предельно допустимая доза облучения составляет $W_d=1,4$ мР/ч.

Для расчета защитных экранов от ионизирующих излучений необходимо знать данные об источнике излучения, расстояния от источника и выбрать материал защитного экрана.

1. Рассчитывают коэффициент ослабления экрана:

$$K = \frac{8,4m_{Ra}}{R^2 W_d}, \quad (17.9)$$

где m_{Ra} , [мг-экв.Ra] - γ -эквивалент источника – условная масса ^{226}Ra , создающего на некотором расстоянии такую же мощность экспозиционной дозы, как и данный источник ($1\text{ мг-экв.Ra}=8,4\text{ Р/ч}$ на расстоянии 1 см); R – расстояние от источника, см; W_d – предельно-допустимая доза облучения, мР/ч.

2. Выбирают материал и его толщину. Для этого можно использовать график зависимости коэффициента ослабления материала от толщины (рис. 17.4).

Таблица 17.3

Исходные данные (варианты)					
№ вар	m_{Ra} , [мг-экв.Ra]	$R, \text{см}$	№ вар	m_{Ra} , [мг-экв.Ra]	$R, \text{см}$
1, 10	665000	200	6, 15	661000	190
2, 11	555000	150	7, 16	962000	250
3, 12	645000	180	8, 17	863000	230
4, 13	535000	130	9, 18	764000	220
5, 14	625000	170	19, 20	665000	180

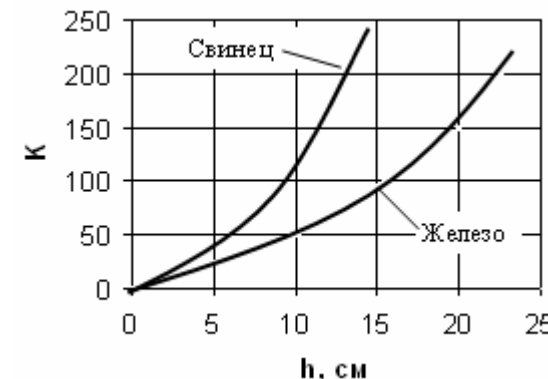


Рис. 17.4. Зависимость коэффициента ослабления экрана от толщины материала.

Контрольные вопросы

- Что такое физические (энергетические) загрязнения?
- Шум, звук, инфразвук и ультразвук. Основные параметры.
- Методы и средства защиты от шума и вибрации.
- Ионизирующие излучения и его виды.
- Методы и средства защиты от ионизирующих излучений.

ЛИТЕРАТУРА

1. Процессы и аппараты химической технологии / Под ред. А.М. Кутепова. Т.1 и 2. М.: Логос, 2002. - 600 с.
2. Общий курс процессов и аппаратов химической технологии / Под ред. В.Г. Айнштейна. Кн. 1 и 2. М.: Логос, ВШ, 2003. - 1760 с.
3. Инженерная экология / Под. ред. В.Т. Медведева. М.: Гардарики, 2002. - 688 с.
4. Инженерная экология и экологический менеджмент / Под. ред. Н.И. Иванова и И.М. Фадина. М.: Логос, 2003. - 528 с.
5. Баранов Д.А., Кутепов А.М. Процессы и аппараты. М.: «Академия», 2004. - 304 с.
6. Белов С.В. Охрана окружающей среды. М.: ВШ, 1991. - 319 с.
7. Тагиров С.А., Мингазетдинов И.Х. и др. Процессы и аппараты защиты окружающей среды / Практикум / Под ред. Глебова А.Н., Казань: Изд. «ЭкоКонцепт». 2005. - 94с.
8. Яковлев С.В. Очистка производственных сточных вод. М.: Стройиздат. 1979. - 320с.
9. Белов С.В. Средства защиты в машиностроении. М.: Машиностроение. 1989. - 368с.
10. Тимонин А.С. Инженерно-экологический справочник. Т.1-4. – Калуга: Изд-во Н. Бочкаревой, 2003.
11. Белоусова О.А., Струкова Л.В., Горшкова А.Н. Промышленная экология. Изд-во ГОУ ВПО УГТУ-УПИ – 2006.
12. Родионов, А.И. Техника защиты окружающей среды / А.И. Родионов, В.Н. Клушин, Н.С. Торочешников. М. : Химия, 1989. - 512 с.
13. Сорокин Ю.П. Природопользование. Практикум. Санкт-Петербургский технический университет. СПб, 2007. 91с.

ПРИЛОЖЕНИЕ

Таблица П1

Характеристика пылей цементного производства

Технологическое оборудование	Объем , м ³ /кг	Температура, °C	Концентрация пыли, г/м ³	УЭС (уд. эл. Сопротивление), 10 ⁸ Ом·м	Состав частиц размером до 5 мкм, %	Плотность, кг/м ³
Печи длиной: до 100 м	3,8-6,0	225-385	10-48	1- 20	17-36	2670-2820
100—127 м.	3,5-6,8	180-300	10-66	0,18-2,3	8-30	2540-2990
127—150 м	3,5-6,0	170-260	10-49	0,25-90	10-41	2630-3300
170 м	4,2-5,9	195-250	10-60	0,25-3,3	19-52	2710-2870
185 м	3,9-5,7	180-250	10-55	0,18-20	36-49	2650-2950
Печи с циклонными теплообменниками	2,5-3,3	190-380	16-60	1-1000	51-75	2640-840
Колосниковые ходильники	1,0-2,9	90-90	5-40	2,8-13	15-17	3060-300
Сыревые мельницы открытого цикла	0,2-0,7	60-00	120-410	1-600	26-65	2690-790
Сушильные барабаны	0,5-1,1	70-50	15-0	0,12-300	5-36	2630-710

Таблица П2

Характеристика газов производства глинозема

Газы	Объем, тыс. м ³ /ч	Температура, °C	Запыленность, г/м ³	Запыленность после электрофильтрации , г/м ³
Печи спекания	100-300	300	40-150	1-2
Печи кальцинации	10-70	300	200-700	0,1-1
Печи обжига	40	500	5	-
Печи цементные	400	500	30	1-1,5

Таблица П3

Характеристика газов медеплавильных заводов

Газы	Характеристика газов перед аппаратом предварительной очистки				Запыленность перед тонкой очистки, мкм
	Температура, °C	Запылённость, г/м ³	Состав, % (об)	Ср. диаметр частиц, мкм	
Обжиговых печей	500-700	35-40	SO ₂ 6-9 SO ₃ 0,1-0,2	4	12-20
Шахтных печей	350-550	10-15	SO ₂ 4-5,5	0,6	3-6
Отражательных печей	300-400	5	SO ₂ 1-1,2 CO ₂ 7	1,5-2	1-2,5
Конверторов	900-1000	5-15	SO ₂ 6-7,5	0,5	1-6
Сушилок	150-250	20-40	SO ₂ 3,1 CO 0,3	2,5	5-20

Таблица П4

Характеристика сточных вод НПЗ

Вид установки или производства	Концентрация загрязнений, мг/л				ХПК, мг O ₂ /л	БПК, мг O ₂ /л		
	нефте-продукт	Взвеш. вещества	Прочие вещества					
			Название	Значения				
1	2	3	4	5	6	7		
ЭЛОУ-АВТ, нефтесодержащие нейтральные воды	5000 350	250 120	Хлориды Фенолы ПАВ	3000 1200 8/5 15/10	600 500	300 250		
ЭЛОУ-АВТ, нефтесодержащие воды	15 000 5000	350 150	Хлориды Фенолы ПАВ	15 000 6000 5/4 120/90	2200 900	1100 500		
Каталитического или термического крекинга	300	400	Тринатрийфосфат	5000	750	400		
Каталитического риформинга	300	70	—	—	700	350		
Вторичной перегонки бензинов	250	60	—	—	450	250		
Производства серы (с регенерацией моноэтаноламина)	50	150	Моноэтаноламин	10	300	100		
Карбамидной депарифинации дизельного топлива	500 400	120 120	Карбамид Аммонийный азот Дихл-метан	1500 850 150/100 15/10	1040 950	840 550		

Битумная	1500	100	—	—	900	450
Газофракционирующая (ГФУ)	100	70	—	—	150	70
Серно-кислотного аллюминирования нефтепродуктов	150	60	—	—	350	150
Ароматических углеводородов (например, этилбензол)	200	60	Хлористый натрий Едкий натр Соляная к. pH Al(OH) ₃ Бензол, этилбензол Толуол	до 40 тыс. 30000 18000 4,1 5000 500— 800 200	500	350
Изомеризации бензиновых фракций	150	60	—	—	450	220
Селективной очистки масел фурфуро-лом	150	70	Фурфурол	5	300	140
Вакуумной разгонки и гидроочистки масел	150	40	—	—	450	200
Гидроочистки твердых парафинов	200	70	—	—	450	250
Непрерывного коксования	400	300	Сероводород	до 5	650	350
Производство водорода	—	30	—	—	50	20
Этилосмесительная	70	60	Тстрастил-свинец	До 100	130	65
Производство этилена	250 150	100 80	Ароматич. углеводороды	30	700 500	350 250
Производство пропилена	50 30	80 50	—	—	500 400	200 150
Производство бутиловых спиртов	—	60	Бутил. спирт Масл. алдег. Толуол	30 000 15 000 200	По содержанию спиртов и альдегидов	
Производство синтетических жирных кислот (СЖК)	—	400 200	Парафин Жирные кислоты Сульфаты pH ПАВ	250/150 150 100 2000 800 3/4 25/20		

Примечание: Под чертой — применительно к технологическим установкам перспективных НПЗ, над чертой — к современным действующим установкам.

Таблица П5

Коэффициенты W_i для отдельных компонентов опасных отходов [11]

Компонент	X_i	Z_i	$\lg W_i$	W_i
Медь	2,17	2,56	2,56	358,9
Ртуть	1,25	1,33	1,00	10,0

Таблица П6

Параметры компонентов отходов (КО – класс опасности) [11]

Параметр	Компонент отхода								
	FeO	Al	S	P	Fe	CaO	SiO ₂	Cl	Взв. в-ва
ПДК _п (ОДК), мг/кг	>100	-	>100	-	>100	-	>100	>100	-
КО в почве	-	-	-	-	3	-	-	4	-
ПДК _в (ОДУ, ОБУВ), мг/л	0,11-1	0,11-1	-	-	0,11-1	-	>1	-	0,11-1
КО в хоз/ питьево воде	3	2	-	-	3	-	4	-	-
ПДК _{р.х.} (ОБУВ), мг/л	0,11-1	>0,1	>0,1	0,011 -0,1	0,11-1	>0,1	-	>0,1	>0,1
КО в рыб/хоз воде	2	2	-	3	3	-	4	3	-
ПДК _{сс} (ПДК _{мр} ОБУВ), мг/м ³	0,01 -0,1	0,01 -0,1	0,11 -1	0,01 -0,1	0,01 -0,1	0,11 -1	0,11 -1	0,01 -0,1	>0,1
КО в атмосфере	2	2	-	-	3	3	3	-	3
ПДК _{пп} (МДУ, МДС), мг/кг	>10	-	-	-	>10	-	-	-	-
Lg (S, мг/л / ПДК _в , мг/л)	<1	-	<1	<1	<1	-	<1	<1	-
Lg (C _{нас} , мг/м ³ /ПДК _{р.з} , мг/л)	<1	-	-	-	<1	-	<1	-	-
Lg (C _{нас} , мг/м ³ /ПДК _{сс})	<1,6	-	-	-	<1,6	-	<1,6	-	-
LD ₅₀ , мг/кг	>5000	151- 5000	-	500- 5000	-	>5000	-	15- 150	-
LC ₅₀ , мг/м ³	5001- 50000		500	<500				<500	
Перsistентность	Близка	менее	-	-	менее	менее	менее	-	менее
Биоаккумуляция	Нет	Нет	-	-	Нет	Нет	Нет	-	Нет

МИНИСТЕРСТВО НАУКИ И ВЫСШЕГО ОБРАЗОВАНИЯ РОССИЙСКОЙ ФЕДЕРАЦИИ
Федеральное государственное автономное
образовательное учреждение высшего образования
«СЕВЕРО-КАВКАЗСКИЙ ФЕДЕРАЛЬНЫЙ УНИВЕРСИТЕТ»

Методические указания
по выполнению самостоятельной работы
по дисциплине «Оборудование для очистки сточных вод и утилизации твердых
отходов»

15.03.02 Технологические машины и оборудование
направленность (профиль) Цифровые технологии проектирования и управления
технологическим оборудованием

(ЭЛЕКТРОННЫЙ ДОКУМЕНТ)

СОДЕРЖАНИЕ

Введение.....	3
1 Общая характеристика самостоятельной работы студента при изучении дисциплины.....	5
2 План-график выполнения самостоятельной работы.....	6
3 Контрольные точки и виды отчетности по ним.....	7
4 Описание показателей и критериев оценивания компетенций на различных этапах их формирования, описание шкал оценивания.....	7
5 Тематический план дисциплины.....	8
6 Вопросы для собеседования.....	9
7 Методические рекомендации по изучению теоретического материала.....	11
8 Методические рекомендации по организации самостоятельной работы студентов	12
9 Методические рекомендации при работе над конспектом во время проведения лекции.....	12
10 Методические рекомендации по подготовке к практическим занятиям.....	13

Введение

Настоящее пособие разработано на основе:

- Федерального закона от 29 декабря 2012 г. № 273-ФЗ «Об образовании в Российской Федерации»;
- Федеральных государственных образовательных стандартов высшего образования (далее ФГОС ВО);
- нормативно-методических документов Минобрнауки России;
- Устава ФГАОУ ВО «Северо-Кавказский федеральный университет»;
- Приказом Минобрнауки России от 06.04.2021 N 245 «Об утверждении Порядка организации и осуществления образовательной деятельности по образовательным программам высшего образования - программам бакалавриата, программам специалитета, программам магистратуры» (Зарегистрировано в Минюсте России 13.08.2021 N 64644);
- локальных нормативных актов ФГАОУ ВО «Северо-Кавказский федеральный университет».

На современном рынке труда конкурентоспособным может стать только квалифицированный работник соответствующего уровня и профиля, компетентный, свободно владеющей своей профессией и ориентированный в смежных областях деятельности, способный к эффективной работе по специальности на уровне мировых стандартов и готовый к постоянному профессиональному росту.

Самостоятельная работа студента направлена на достижение целей подготовки специалистов-профессионалов, активное включение обучаемых в сознательное освоение содержания образования, обеспечение мотивации, творческое овладение основными способами будущей профессиональной деятельности. Чтобы подготовить и обучить такого профессионала, высшим учебным заведениям необходимо скорректировать свой подход к планированию и организации учебно-воспитательной работы. Это в равной степени относится к изменению содержания и характера учебного процесса. В современных реалиях задача преподавателя высшей школы заключается в организации и направлении познавательной деятельности студентов, эффективность которой во многом зависит от их самостоятельной работы. В свою очередь, самостоятельная работа студентов должна представлять собой не просто самоцель, а средство достижения прочных и глубоких знаний, инструмент формирования активности и самостоятельности студентов.

В связи с введением в образовательный процесс новых образовательных стандартов, с уменьшением количества аудиторных занятий по дисциплинам возрастает роль самостоятельной работы студентов. Возникает необходимость оптимизации самостоятельной работы студентов (далее - СРС). Появляется необходимость модернизации технологий обучения, что существенно меняет подходы к учебно-методическому и организационно-техническому обеспечению учебного процесса.

Данная методическая разработка содержит рекомендации по организации, управлению и обеспечению эффективности самостоятельной работы студентов в процессе обучения в целях формирования необходимых компетенций.

Самостоятельная работа студентов является обязательным компонентом учебного процесса для каждого студента и определяется учебным планом. Виды самостоятельной работы студентов определяются при разработке рабочих программ и учебных методических комплексов дисциплин содержанием учебной дисциплины. При определении содержания самостоятельной работы студентов следует учитывать их уровень самостоятельности и требования к уровню самостоятельности выпускников для того, чтобы за период обучения искомый уровень был достигнут. Так, удельный вес самостоятельной работы при обучении в очной форме составляет до 50% от количества аудиторных часов, отведенных на изучение дисциплины, в заочной форме - количество часов, отведенных на освоение дисциплины, увеличивается до 90%.

Самостоятельная работа определяется как индивидуальная или коллективная учебная деятельность, осуществляемая без непосредственного руководства педагога, но по его заданиям и под его контролем.

Самостоятельная работа – это познавательная учебная деятельность, когда последовательность мышления студента, его умственных и практических операций и действий зависит и определяется самим студентом. Самостоятельная работа студентов способствует развитию самостоятельности, ответственности и организованности, творческого подхода к решению проблем учебного и профессионального уровня, что в итоге приводит к развитию навыка самостоятельного планирования и реализации деятельности.

Целью самостоятельной работы студентов является овладение необходимыми компетенциями по своему направлению подготовки, опытом творческой и исследовательской деятельности.

На основании компетентностного подхода к реализации профессиональных образовательных программ, видами заданий для самостоятельной работы являются:

- *для овладения знаниями*: чтение текста (учебника, первоисточника, дополнительной литературы), составление плана текста, графическое изображение структуры текста, конспектирование текста, выписки из текста, работа со словарями и справочниками, ознакомление с нормативными документами, учебно-исследовательская работа, использование аудио- и видеозаписей, компьютерной техники и информационно-телекоммуникационной сети Интернет и др.

- *для закрепления и систематизации знаний*: работа с конспектом лекции, обработка текста (учебника, первоисточника, дополнительной литературы, аудио и видеозаписей), повторная работа над учебным материалом, составление плана, составление таблиц для систематизации учебного материала, ответ на контрольные вопросы, заполнение рабочей тетради, аналитическая обработка текста (аннотирование, рецензирование, реферирование, конспект-анализ и др.), завершение аудиторных практических работ и оформление отчётов по ним, подготовка мультимедиа сообщений/докладов к выступлению на семинаре (конференции), материалов-презентаций, подготовка реферата, составление библиографии, тематических кроссвордов, тестирование и др.

- *для формирования умений*: решение задач и упражнений по образцу, решение вариативных задач, выполнение чертежей, схем, выполнение расчетов (графических работ), решение ситуационных (профессиональных) задач, подготовка к деловым играм, проектирование и моделирование разных видов и компонентов профессиональной деятельности, рефлексивный анализ профессиональных умений с использованием аудио- и видеотехники и др.

Самостоятельная работа может осуществляться индивидуально или группами студентов в зависимости от цели, объема, конкретной тематики самостоятельной работы, уровня сложности, уровня умений студентов.

Контроль результатов самостоятельной работы студентов может осуществляться в пределах времени, отведенного на обязательные учебные занятия по дисциплине и внеаудиторную самостоятельную работу студентов по дисциплине, может проходить в письменной, устной или смешанной форме.

Самостоятельная работа проводится в виде упражнений при изучении нового материала, упражнений в процессе закрепления и повторения, упражнений проверочных и контрольных работ, а также для самоконтроля.

Для организации самостоятельной работы необходимы следующие условия:

1. готовность студентов к самостоятельному труду;
2. наличие и доступность необходимого учебно-методического и справочного материала;
3. консультационная помощь.

Самостоятельная работа может проходить в лекционном кабинете, компьютерном зале, библиотеке, дома. Самостоятельная работа способствует формированию компетенций, тренирует волю, воспитывает работоспособность, внимание, дисциплину и ответственность.

1 Общая характеристика самостоятельной работы студента при изучении дисциплины

Дисциплина «Оборудование для очистки сточных вод и утилизации твердых отходов» относится к дисциплинам части, формируемой участниками образовательных отношений. Она направлена на формирование профессиональных компетенций обучающихся в процессе выполнения работ, определенных ФГОС ВО.

Наименование компетенций:

Код, формулировка компетенции	Код, формулировка индикатора	Планируемые результаты обучения по дисциплине (модулю), характеризующие этапы формирования компетенций, индикаторов
ПК-3 Способен обеспечивать контроль технологических процессов изготовления машиностроительных изделий средней сложности и управления ими	ИД-1 ПК-3 использует данные SKADA-систем для анализа производственной ситуации и выявления причин брака для изготовления машиностроительных изделий средней сложности	<p>Пороговый уровень понимает отечественный и зарубежный опыт в области проектирования и эксплуатации инженерных сооружений для очистки сточных вод и переработки твердых отходов;</p> <p>Повышенный уровень понимает техническое оснащение рабочих мест с размещением технологического оборудования, умение осваивать вводимое оборудование;</p>
	ИД-2 ПК-3 осуществляет технологические эксперименты по заданным методикам с обработкой и анализом результатов с применением систем автоматизированного проектирования	<p>Пороговый уровень рассчитывает и проектирует оборудование сооружений для очистки городских и промышленных сточных вод;</p> <p>Повышенный уровень проектирует и осваивает сооружения для очистки сточных вод;</p>
	ИД-3 ПК-3 использует САД и САРР- системы для моделирования физических явлений, возникающих при реализации технологических процессов изготовления машиностроительных изделий средней сложности	<p>Пороговый уровень применяет методы расчета и проектирования сооружений, для утилизации коммунальных и промышленных твердых отходов;</p> <p>Повышенный уровень владеет навыками проектирования и эксплуатации сооружений для переработки твердых отходов;</p>

В рамках курса дисциплины «Оборудование для очистки сточных вод и утилизации твердых отходов» самостоятельная работа студентов находит активное применение и включает в себя различные виды деятельности:

- подготовка к практическим занятиям, в том числе работа с методическими указаниями, средствами массовой информации;
- подготовка к лекциям, в том числе самостоятельное углубленное изучение теоретического курса по рекомендованной литературе;
- подготовка к промежуточной аттестации.

Цель самостоятельной работы студента при подготовке к лекциям заключается в получении новых знаний, приобретенных при более глубоком изучении литературы по дисциплине.

Задачи:

- доработка и повторение конспектов лекции;
- осмысление содержания лекции, логической структуры, выводов.

Цель самостоятельной работы студента при подготовке к практическим занятиям заключается в углублении, расширении, детализировании знаний, полученных на лекциях в обобщенной форме.

Задачи:

- развить способность применять полученные знания на практике при решении конкретных задач;
- проверить знания студентов, полученные на лекциях и при самостоятельном изучении литературы.

2 План-график выполнения самостоятельной работы

Таблица 1 – Виды самостоятельной работы для очной и очно-заочной форм обучения

Коды реализуемы х компетенци й, индикатора(ов)	Вид деятельности студентов	Средства и технологии оценки	Объем часов, в том числе				
			СРС	Контактн ая работа с преподава телем	Всего		
Очная форма обучения							
6 семестр							
ПК-3 ИД-1 ПК-3 ИД-2 ПК-3 ИД-3	Подготовка к практическому занятию	Конспект, собеседование	4,56	0,24	4,8		
	Самостоятельное изучение литературы	Конспект, собеседование	38,19	2,01	40,2		
			Итого за 6 семестр	42,75	2,25		
Очно-заочная форма							
6 семестр							
ПК-3 ИД-1 ПК-3 ИД-2 ПК-3 ИД-3	Подготовка к практическому занятию	Конспект, собеседование	2,28	0,12	2,4		
	Самостоятельное изучение литературы	Конспект, собеседование	57,57	3,03	60,6		
			Итого за 6 семестр	59,85	3,15		
					63		

3 Контрольные точки и виды отчетности по ним

В рамках рейтинговой системы успеваемость студентов по каждой дисциплине оценивается в ходе текущего контроля и промежуточной аттестации.

4 Описание показателей и критериев оценивания компетенций на различных этапах их формирования, описание шкал оценивания

Уровни сформированности компетенци(ий), индикатора (ов)	Дескрипторы			
	Минимальный уровень не достигнут (Неудовлетворительно) 2 балла	Минимальный уровень (удовлетворительно) 3 балла	Средний уровень (хорошо) 4 балла	Высокий уровень (отлично) 5 баллов
<i>Компетенция: ПК-3 Способен обеспечивать контроль технологических процессов изготавления машиностроительных изделий средней сложности и управления ими</i>				
Результаты обучения по дисциплине (модулю): Индикатор: ИД-1 ПК-3 использует данные SKADA-систем для анализа производственной ситуации и выявления причин брака для изготовления машиностроительных изделий средней сложности	не понимает отечественный и зарубежный опыт в области проектирования и эксплуатации инженерных сооружений для очистки сточных вод и переработки твердых отходов;	не в достаточном объеме понимает отечественный и зарубежный опыт в области проектирования и эксплуатации инженерных сооружений для очистки сточных вод и переработки твердых отходов;	понимает отечественный и зарубежный опыт в области проектирования и эксплуатации инженерных сооружений для очистки сточных вод и переработки твердых отходов;	понимает техническое оснащение рабочих мест с размещением технологического оборудования, умение осваивать вводимое оборудование;
ИД-2 ПК-3 осуществляет технологические эксперименты по заданным методикам с обработкой и анализом результатов с применением систем автоматизированного проектирования	не рассчитывает и проектирует оборудование сооружений для очистки городских и промышленных сточных вод;	не в достаточном объеме рассчитывает и проектирует оборудование сооружений для очистки городских и промышленных сточных вод;	рассчитывает и проектирует оборудование сооружений для очистки городских и промышленных сточных вод;	проектирует и осваивает сооружения для очистки сточных вод;
ИД-3 ПК-3 использует CAD и САРР- системы для моделирования физических явлений, возникающих при реализации технологических процессов изготовления	не применяет методы расчета и проектирования сооружений, для утилизации коммунальных и промышленных твердых	не в достаточном объеме применяет методы расчета и проектирования сооружений, для утилизации коммунальных и промышленных твердых отходов;	применяет методы расчета и проектирования сооружений, для утилизации коммунальных и промышленных твердых	владеет навыками проектирования и эксплуатации сооружений для переработки твердых отходов;

машиностроительных изделий средней сложности	отходов;		отходов;	
--	----------	--	----------	--

5 Тематический план дисциплины

№	Раздел (тема) дисциплины	Реализуемы е компетенци и, индикаторы	Контактная работа обучающихся с преподавателем, часов				Самостоятельная работа, часов			
			Лекции	Практические занятия	Лабораторные работы	Групповые консультации				
Очная форма обучения										
6 семестр										
1	Введение.	ПК-3 ИД-1	1,5				3			
2	Оборудование для очистки отходящих газов промышленных предприятий	ПК-3 ИД-2 ПК-3 ИД-3	1,5	7,5						
3	Классификация сточных вод и сооружений для их очистки.		1,5				6			
4	Оборудование для механической очистки сточных вод от грубодисперсных примесей.		1,5	4,5			6			
5	Оборудование для физико-химической очистки сточных вод от тонкодисперсных и коллоидных примесей.		3	7,5			6			
6	Оборудование		1,5	3			6			

	для биологическо й очистки сточных вод.						
7	Оборудование для обезвреживан ия и утилизации осадков сточных вод.		1,5				3
8	Переработка твердых отходов			1,5			3
	ИТОГО за семестр		12	24			45

Заочная форма обучения

семестр

1							
2							
	ИТОГО за семестр						

Очно-заочная форма обучения

6 семестр

1	Введение.	ПК-3 ИД-1 ПК-3 ИД-2 ПК-3 ИД-3					3
2	Оборудование для очистки отходящих газов промышленн ых предприятий		1,5	3			10
3	Классификац ия сточных вод и сооружений для их очистки.						10
4	Оборудование для механической очистки сточных вод от грубодисперс ных примесей.		1,5	3			10
5	Оборудование для физико- химической очистки сточных вод		1,5	3			10

	от тонкодисперсных и коллоидных примесей.					
6	Оборудование для биологической очистки сточных вод.		1,5	1,5		10
7	Оборудование для обезвреживания и утилизации осадков сточных вод.					5
8	Переработка твердых отходов			1,5		5
	ИТОГО за семестр		6	12		63

Приступая к работе, каждый студент должен принимать во внимание следующие положения.

Дисциплина (модуль) построена по тематическому принципу, каждая тема представляет собой логически завершенный раздел.

Лекционный материал посвящен рассмотрению ключевых, базовых положений дисциплины (модуля) и разъяснению учебных заданий, выносимых на самостоятельную работу студентов.

Практические занятия проводятся с целью закрепления усвоенной информации, приобретения навыков ее применения при решении практических задач в соответствующей предметной области.

Самостоятельная работа студентов направлена на самостоятельное изучение дополнительного материала, подготовку к практическим занятиям, а также выполнения всех видов самостоятельной работы.

Для успешного освоения дисциплины, необходимо выполнить все виды самостоятельной работы, используя рекомендуемые источники информации.

6. Вопросы для собеседования

1. Роль промышленной экологии в жизни современного общества.
2. Направления и тенденции развития оборудования и сооружений для очистки сточных вод.
3. Тенденции развития оборудования и сооружений и переработки твердых коммунальных отходов. 4
- . Направления развития оборудования и сооружений для переработки твердых промышленных отходов.
5. Основные показатели загрязненности сточных вод.
6. Экспериментальные и расчетные методы определения показателей ХПК и БПК сточных вод промышленного предприятия.
7. Правила охраны поверхностных вод от загрязнения сточными водами.
8. Условия выпуска производственных сточных вод в водоемы.
9. Определение необходимой степени очистки сточных вод промышленного предприятия.
10. Основные типы систем водоснабжения промышленных предприятий.

11. Методы канализования производственных стоков.
12. Основные виды очистных сооружений (локальные, цеховые, общезаводские, городские).
13. Классификация сточных вод и методов их очистки.
14. Классификация твердых отходов.
15. Методы обработки и утилизации твердых отходов.
16. Усреднение стоков промышленных предприятий. Конструкции усреднителей и расчет их объема.
17. Очистка сточных вод от твердых грубодисперсных примесей процеживанием через решетки.
18. Способы удаления из сточных вод тяжелых крупнодисперсных примесей. Конструкции песколовок и основы их расчета.
19. Очистка сточных вод отстаиванием. Конструкции емкостных отстойников и основы их расчета.
20. Определение скорости свободного и стесненного осаждения твердой частицы в жидкости.
21. Принцип действия и конструкции тонкослойных отстойников периодического и непрерывного действия. Основы их расчета.
22. Открытые и напорные гидроциклоны. Область применения, конструкции и основы расчета.
23. Ориентировочный расчет диаметра частиц, улавливаемых гидроциклоном, и его эффективности.
24. Особенности применения центрифуг в процессах очистки сточных вод. Технологическая схема очистки стоков с использованием центрифуг.
25. Очистка сточных вод фильтрованием. Конструкции зернистых фильтров и основы их расчета.
26. Аппараты для микрофильтрации воды с применением мембранных трубчатых элементов. Конструкции и методы расчета.
27. Очистка сточных вод от тонкодисперсных и коллоидных примесей коагуляцией и флокуляцией. Физико-химические основы и аппаратурное оформление процесса.
28. Очистка сточных вод от коллоидных примесей в электрокоагуляторах.
29. Пневматические и механические способы флотационной очистки сточных вод. Конструкции флотаторов.
30. Вакуумная и напорная флотация. Область применения и типовые технологические схемы.
31. Очистка сточных вод от растворенных минеральных примесей. Метод ионного обмена. Расчет фильтра-ионообменника.
32. Очистка сточных вод от растворенных минеральных примесей в электродиализаторах и электролизерах.
33. Технологические схемы и аппараты для адсорбционной очистки сточных вод в статических условиях. Расчет конечной концентрации загрязнений и требуемого количества адсорбента.
34. Аппараты для адсорбционной очистки сточных вод в динамических условиях. Расчет времени защитного действия слоя адсорбента.
35. Очистка сточных вод окислительными методами. Аппараты для хлорирования воды.
36. Технологическая схема и аппаратурное оформление процессов озонирования воды.
37. Термоокислительные методы обезвреживания сточных вод. Технологическая схема жидкокфазного окисления загрязнений.
38. Аэробная биологическая очистка сточных вод.
39. Классификация аэротенков.
40. Ориентировочный расчет объема аэротенка-смесителя.
41. Системы аэрации в сооружениях биологической очистки сточных вод.
42. Расчет и проектирование биофильтров с иммобилизованной микрофлорой.
43. Уплотнение, кондиционирование и обезвоживание осадков сточных вод.
44. Обезвоживание, сушка и сжигание осадков сточных вод.

45. Стабилизация осадков сточных вод.
46. Анаэробное сбраживание осадков в метантенках.
47. Пиролиз осадков сточных вод в смеси с измельченными твердыми бытовыми отходами.
48. Классификация оборудования для очистки газовых выбросов.
49. Оборудование для очистки газов от аэрозолей (пыли, дымов и туманов).
50. Оборудование для очистки газовых выбросов от вредных газообразных и парообразных примесей абсорбцией, адсорбцией, каталитическими методами.

7 Методические рекомендации по изучению теоретического материала

Самостоятельная работа студента в ходе **лекционных занятий** включает изучение вопросов теории, вынесенных на самостоятельное изучение в соответствии с рабочей программой дисциплины, проработку лекционных материалов для подготовки к контролю знаний на лекционных занятиях (опрос) и подготовку вопросов для обсуждения при консультации с преподавателем.

Работа с лекционным материалом не завершается по окончании лекции. На 2 часа лекции необходимо затратить около часа на работу с конспектом. За это время необходимо перечитать записи, пополнить их данными, которые удалось запомнить из речи преподавателя, но не удалось записать. Работая с конспектом, нужно отметить непонятные вопросы для выяснения которых у преподавателя на консультации. Отдельно следует выделить связанные с темой лекции вопросы, которые преподаватель поручил проработать самостоятельно.

Активно проработанный в течение семестра конспект лекций в дальнейшем служит основой для подготовки к экзамену.

Вопросы для самостоятельного изучения представлены в п. 5.

Самостоятельная работа в ходе **практических** работ включает выполнение заданий к практическим занятиям, в частности решение задач различного уровня сложности. Задачи приведены в методических указаниях к практическим занятиям и фондах оценочных средств.

Зная тему практического занятия, необходимо готовиться к нему заблаговременно. Для эффективной подготовки к практическому занятию необходимо иметь методическое руководство к практическим работам.

Критерии оценивания практических занятий представлены в фонде оценочных средств.

При проверке практического задания, оцениваются: последовательность и рациональность изложения материала; полнота и достаточный объем ответа; научность в оперировании основными понятиями; использование и изучение дополнительных литературных источников.

8 Методические рекомендации по организации самостоятельной работы студентов

Самостоятельная работа является одним из видов учебной деятельности обучающихся, способствует развитию самостоятельности, ответственности и организованности, творческого подхода к решению проблем учебного и профессионального уровня.

Аудиторная самостоятельная работа по учебной дисциплине осуществляется на учебных занятиях под непосредственным руководством преподавателя и по его заданию.

Внеаудиторная самостоятельная работа выполняется по заданию преподавателя без его непосредственного участия.

Виды заданий для внеаудиторной самостоятельной работы, их содержание и характер могут иметь вариативный и дифференцированный характер, учитывать специфику изучаемой учебной дисциплины, индивидуальные особенности обучающегося.

Контроль самостоятельной работы и оценка ее результатов организуется как единство двух форм:

1. самоконтроль и самооценка обучающегося;
2. контроль и оценка со стороны преподавателя.

9 Методические рекомендации при работе над конспектом во время проведения лекции

В ходе лекционных занятий вести конспектирование учебного материала. Обращать внимание на категории, формулировки, раскрывающие содержание тех или иных явлений и процессов, научные выводы и практические рекомендации, положительный опыт в ораторском искусстве. Желательно оставить в рабочих конспектах поля, на которых делать пометки из рекомендованной литературы, дополняющие материал прослушанной лекции, а также подчеркивающие особую важность тех или иных теоретических положений. Задавать преподавателю уточняющие вопросы с целью уяснения теоретических положений, разрешения спорных ситуаций.

В ходе подготовки к семинарам изучить основную литературу, ознакомиться с дополнительной литературой, новыми публикациями в периодических изданиях: журналах, газетах и т.д. При этом учесть рекомендации преподавателя и требования учебной программы. Дорабатывать свой конспект лекции, делая в нем соответствующие записи из литературы, рекомендованной преподавателем и предусмотренной учебной программой. Подготовить тезисы для выступлений по всем учебным вопросам, выносимым на семинар. Готовясь к докладу или реферативному сообщению, обращаться за методической помощью к преподавателю. Составить план-конспект своего выступления. Продумать примеры с целью обеспечения тесной связи изучаемой теории с реальной жизнью. Своевременное и качественное выполнение самостоятельной работы базируется на соблюдении настоящих рекомендаций и изучении рекомендованной литературы. Студент может дополнить список использованной литературы современными источниками, не представленными в списке рекомендованной литературы, и в дальнейшем использовать собственные подготовленные учебные материалы при написании работ.

10 Методические рекомендации по подготовке к практическим занятиям

Практическое занятие – один из самых эффективных видов учебных занятий, на которых студенты учатся творчески работать, аргументировать и отстаивать свою позицию, правильно и доходчиво излагать свои мысли перед аудиторией. Основное в подготовке и проведении практических занятий – это самостоятельная работа студента над изучением темы. Студент обязан точно знать план занятия либо конкретное задание к нему. На занятии обсуждаются узловые вопросы темы, однако там могут быть и такие, которые не были предметом рассмотрения на лекции. Могут быть и специальные задания к той или иной теме.

Готовиться к практической работе следует заранее. Необходимо внимательно ознакомиться с планом и другими материалами, уяснить вопросы, выносимые на обсуждение. Затем нужно подобрать литературу и другой необходимый, в т.ч. рекомендованный, материал (через библиотеку, учебно-методический кабинет кафедры и др.). Но прежде всего, следует обратиться к своим конспектам лекций и соответствующему разделу учебника. Изучение всех источников должно идти под углом зрения поиска ответов на выносимые на практико-ориентированные занятия вопросы.

Завершающий этап подготовки к занятиям состоит в выполнении индивидуальных заданий.

В случае пропуска занятия студент обязан подготовить материал и отчитаться по нему перед преподавателем в обусловленное время. Может быть предложено отдельным бакалаврам, ввиду их слабой подготовки, более глубоко освоить материал и прийти на индивидуальное собеседование.

Студент не допускается к промежуточной аттестации, если у него есть задолженность по практическим работам.